

## پایداری سیستم قدرت

وقتی موتورهای بخار پیستونی، ژنراتورهای چرخانند یک مشکل بزرگ کار ماشین، گیجی بود: تغییرهای تناوبی گشتاور اعمال شده به ژنراتور، سبب تغییرهای تناوبی سرعت می‌شد و در نتیجه، ولتاژ فرکانس موتورهای وصل به سیستم به تناوب تغییر کرد. اگر فرکانس طبیعی نوسان موتورها با فرکانس نوسان ناشی از موتورهای پیشران ژنراتورها برابر بود، نوسان موتورها در اثر تغییر ولتاژ و فرکانس، باعث از دست رفتن همزمانی موتورها می‌شد. سیم پیچهای میراکن را برای مینیمم کردن گیجی به کار گرفتند زیرا اتفاق ناشی از جریانهای القا شده در آنها که از هر حرکت نسبی بین رotor و میدان چرخان حاصل از جریان آرمچر، ناشی می‌شد عمل میراکن را انجام می‌داد. استفاده از تسورینهای مشکل گیجی را تا حدی حل کرد ولی هر جا که نخست رانه موتور دیزل باشد این مشکل هنوز وجود دارد. هر قدر که سیستمهای قدرت و بهم پیوستگی آنها توسعه می‌یابد حفظ همزمانی بین قسمتهای مختلف سیستم دشوارتر می‌شود.

### ۱-۱۴ مسئله پایداری

پایداری سیستم قدرت، خاصیتی اذسیستم است، که به ماشینهای سنکرون سیستم، توانایی می‌دهد تا به اختلال در وضعیت کارعادی پاسخ دهنده و به وضعیت کارعادی دیگری بازگردند. بررسیهای پایداری، بسته به ماهیت و اندازه اختلال معمولاً بر سه نوع اند: بررسی پایداری

در حالت گذرا، در حالت دینامیک، و در حالت هانا.

امروزه بررسی پایداری حالت گذرا، راه تحلیلی اصلی برای بررسی رفتار پویای الکتریومکانیکی سیستم قدرت است. هدف بررسیهای پایداری حالت گذرا تعیین این است که آیا سیستم به دنبال اختلالهای بزرگی نظیر اتصالهای سیستم انتقال تغییرهای ناگهانی باشد، از کارافتادن واحدهای تولید، یا کلید زنی خط، همزمان خواهد ماند یا نه. چنین بررسیهایی از ۵۰ سال پیش آغاز شد اما به درنظر گرفتن مسائل پایداری حالت دینامیکی فقط دو ماشین، محدود ماند سیستمهای قدرت امروزی سیستمهای گسترده بسیار بهم تبند و با صدها ماشین است که می‌توانند از طریق شبکه‌های واسطه با ولتاژ بسیار بالا (EHV) و ولتاژ بسیار بسیار بالا (UHV) برکار دینامیکی یکدیگر تأثیر بگذارند. لذا، سیستم تحریک و سیستم کنترل فرمانه توربین این ماشینها باید در برخی حالتها اما نه در همه حالتها برای انعکاس درست پاسخ دینامیکی مناسب سیستم قدرت به اختلالهای معین، مدل‌سازی شود.

حوزه بررسی پایداریهای حالت دینامیک و حالت مانا تنگتر است و شامل یک یا فقط چند ماشین است که وضعیت کارشان به آدمی یا به تدبیح دستخوش تغییر می‌شود. بنابراین بررسی پایداریهای حالت دینامیک و حالت مانا به پایداری مکان نقاط کار حالت اساساً مانا می‌باشد، از تبادل می‌باشد. تمایز فاصل شده بین بررسی پایداریهای حالت مانا و حالت دینامیک واقعاً ساختگی است زیرا ماهیت مسائل پایداری در آنها یکی است و تفاوت آنها فقط در میزان تفصیلی است که در مدل سازی ماشینها به کار می‌رود. در بررسیهای پایداری حالت دینامیک، مدل ماشینهای سنکرون که تغییر شارحلقزن را در شکاف هوایی ماشین فراهم می‌کند و سیستم تحریک و سیستم فرمانه توربین نمایش داده می‌شوند. در مسائل پایداری حالت مانا ژنراتور، مدل خیلی ساده‌ای به کار می‌رود که ژنراتور را منبعی با ولتاژ ثابت در نظر می‌گیرد. شیوه حل مسائل پایداری حالت مانا و حالت دینامیک، بررسی پایداری سیستم در هنگام تغییرهای جزوی حول یک نقطه تعادل است. می‌توان به جای معادله‌های غیرخطی دیفرانسیل و جبری سیستم، یک دسته معادله‌های خطی قرارداد سپس با حل این معادله‌ها به روش تحلیل خطی، تعیین کرد که آیا ماشین یا ماشینها پس از تغییرهای کوچک حول نقطه کار، همزمان خواهد ماند یا نه.

به بررسیهای پایداری حالت گذرا عموماً بسیار پیشرمی بردازند زیرا در عمل اهمیت پیشرمی دارد. در این مسائل، اختلالها چنان بزرگ‌اند که نمی‌توان فرایند خطی‌گی را به کار برد و باید معادله‌های ناخطي دیفرانسیل و جبری را به روش مستقیم یا به روش گام-به-گام بساوردی حل کرد. می‌توان مسائل پایداری حالت گذرا را به مسائل پایداری در تابخورد اول و در چند تابخورد تقسیم کرد. پایداری تابخورد اول بر اساس یک مدل ساده و معقول ژنراتور، بدون نمایش سیستمهای کنترل است. معمولاً فاصله زمانی بررسی، نخستین ثانیه پس از اتصالی سیستم است. اگر ماشینهای سیستم در ثانیه نخست، همزمان بمانند سیستم پایدار است. مسائل پایداری در چند تابخورد، زمان بررسی درازتری می‌خواهد و بنابراین

باشد اثرهای سیستمهای کنترل ژراتور را که در این زمان طولانی بر عملکرد ماشین تأثیر می‌گذارند در نظر بگیرد. برای انعکاس درست این رفتار، باید مدل ماشین پیچیده‌تری به کار برد.

هدف همه بررسیهای پایداری تعیین این است که آیا روتور ماشینهای اختلال یافته به کار کرد سرعت ثابت بازمی گردند یا نه. مسلماً این بدان معناست که سرعت روتورها باید حداقل موقتاً از سرعت همزمان، منحرف شده باشد. برای آسانی محاسبات، درجه همه بررسیهای پایداری فرض می کنند:

۱. فرکانس جریانها و ولتاژهای سیم پیچ استاتورها و سیستم قدرت، برابر فرکانس سنکرون است. یعنی از مؤلفه  $dC$  و هارمونیکها صرف نظر می‌شود.
  ۲. در نمایش اتصالیهای نامتعادل، از مؤلفه‌های متقارن استفاده می‌شود.
  ۳. تغییر سرعت ماشین، بر ولتاژ تولیدی بی‌اثر است.

با این فرضها امکان استفاده از جبر فاز برداری در شبکه انتقال و روش‌های حل پخش بار با پارامترهای  $56$  هر تزی به دست می‌آید. همچنین می‌توان در نقطه اتصالی، شبکه‌های قریب-منفی و صفر را در شبکه ترتیب-مثبت و ارد کرد. چنانکه خواهیم دید عموماً اتصال‌های سه‌فاز متعادل در نظر گرفته می‌شوند. ولی ممکن است در برخی بررسیها عملکرد مدارشکن در حذف اتصالی، طوری باشد که در نظر گرفتن وضعیت نامتعادل اجتناب ناپذیر شود.<sup>\*</sup>

### ۳-۱۴ دینامیک رو تور و معادله تابخورد

معادله حاکم بر حرکت روتور یک ماشین سنکرون، بر پایه این اصل اساسی دینامیک است که می‌گوید: گشتاور شنا بازنده، بر ابر حاصل ضرب لنگر لختی روتور در شتاب زاویه‌ای روتور است. در سیستم واحدهای MKS می‌توان این معادله را برای ڈنراتور سنکرون به شکل زیر نوشت:

$$J \frac{d^{\gamma} \theta_m}{dt^{\gamma}} = T_a = T_m - T_e \quad \text{N-m} \quad (1-14)$$

که در آن

$J = \text{کل انگر لختی جرم‌های روتور، بر حسب kg\cdot m^2}$

$\theta_m$  = فاصله زاویه‌ای روتور از یک محور ساکن، بر حسب رادیان مکانیکی

$t$  = زمان، بر حسب ثانیه

$T_m =$  گشتاور مکانیکی یا محوری ناشی از نخست-رانه، منهاهی گشتاور مقاوم ناشی

مراجعه کنید به:

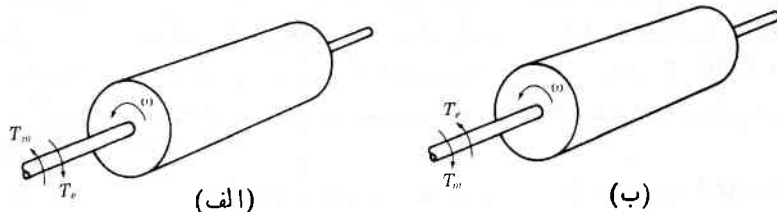
P. M. Anderson and A. A. Fouad, *Power System Control and Stability*, The Iowa State University Press, Ames, Iowa, 1977.

$$\begin{aligned} \text{از اتفاوهای چرخشی، بر حسب} & N\cdot m \\ T_e = \text{گشتاور الکتریکی با الکترومغناطیسی خالص، بر حسب} & N\cdot m \\ T_e = \text{گشتاور شتا بانده خالص، بر حسب} & N\cdot m \end{aligned}$$

در ژنراتور سنکرون، گشتاور مکانیکی،  $T_m$  و گشتاور الکتریکی،  $T_e$ ، مثبت فرض می‌شوند. این بدان معناست که  $T_m$ ، گشتاور محوری برآیندی است که مطابق شکل ۱-۱۴ (الف)، تمايل دارد روتور را درجهت مثبت چرخش  $\theta_m$  بشتاباند. در کارکرد حالت مانای ژنراتور،  $T_m$  و  $T_e$  مساوی‌اند و گشتاور شتا بانده  $T_e$  صفر است. در این حالت، جرم‌های روتور نهشتافت دارند و نهواشتافت و سرعت ثابت برآیند، سرعت همزمان است. جرم‌های چرخان شامل روتور ژنراتور و نخست رانه، با ماشینهای دیگری که در سیستم قدرت با سرعت سنکرون کار می‌کنند همزمان‌اند. نخست رانه ممکن است تورین آبی یا تورین بخار باشد که مدل‌های کم و بیش پیچیده‌ای برای نمایش اثر آنها بر  $T_m$  وجود دارد. در این متن، به ازای هر وضعیت کاری،  $T_m$  ثابت فرض می‌شود. این فرض حتی برای ژنراتورهایی که در آنها ورودی نخست رانه به ژنراتور را یک فرمانه، کنترل می‌کند، صادق است. ذیرا فرمانه تا پیش از حس کردن تغییر سرعت عمل نمی‌کند و بنابراین، در فاصله زمانی بررسی پایداری، بر دینامیک روتور بی‌تأثیر است. گشتاور الکتریکی  $T_e$ ، متناظر با توان خالص شکاف هوایی ماشین است، لذا، مساوی توان کل خروجی ژنراتور، به علاوه اتفاق سیم پیچ آرمهjer،  $|I^2|R$ ، است. جهت گذرد توان درموتور سنکرون، مخالف ژنراتور است. از این رو مطابق شکل ۱-۱۴ (ب)، برای موتور، علامت  $T_m$  و  $T_e$  در معادله (۱-۱۴) عوض می‌شود. پس  $T_e$ ، متناظر با توان شکاف هوایی ناشی از سیستم الکتریکی برای راندن روتور است. در حالی که  $T_m$ ، گشتاور مقاوم بار و اتفاوهای چرخشی کنکنده حرکت روتور است.

$\theta_m$ ، اندازه مطلق زاویه روتور است ذیرا نسبت به یک محور مرجع ساکن بر روی استاتور، اندازه گیری می‌شود. در نتیجه، حتی در سرعت ثابت سنکرون نیز مدام با زمان افزایش می‌باشد. چون سرعت روتور را نسبت به سرعت سنکرون نمی‌خواهیم بسیار بهتر است که وضع زاویه‌ای روتور را نسبت به محور مرجعی اندازه بگیریم که با سرعت همزمان می‌چرخد. بنابراین، تعریف می‌کنیم که:

$$\theta_m = \omega_{sm} t + \delta_m \quad (۱-۱۴)$$



شکل ۱-۱۴ نمایش روتور ماشین برای مقایسه جهت چرخش گشتاور مکانیکی والکتریکی (الف) در ژنراتور و (ب) درموتور.

که در آن  $\omega_m$ ، سرعت سنکرون ماشین بر حسب رادیان مکانیکی بر ثانیه و  $\delta_m$ ، فاصله زاویه‌ای روتور بر حسب رادیان مکانیکی از محور مرجعی است که با سرعت همزمان می‌چرخد. مشتقهای معادله (۲-۱۶) نسبت به زمان چنین اند

$$\frac{d\theta_m}{dt} = \omega_m + \frac{d\delta_m}{dt} \quad (3-14)$$

و

$$\frac{d^2\theta_m}{dt^2} = \frac{d^2\delta_m}{dt^2} \quad (4-14)$$

معادله (۴-۱۴) نشان می‌دهد که سرعت زاویه‌ای روتور،  $d\theta_m/dt$  تنها وقni ثابت و بر این سرعت سنکرون است که  $d\delta_m/dt$  صفر باشد. بنابراین  $d\delta_m/dt$ ، انحراف سرعت روتور از همزمانی را می‌نمایاند و واحد آن رادیان مکانیکی بر ثانیه است. معادله (۴-۱۴)، شتاب روتور را بر حسب رادیان مکانیکی بر مربع ثانیه می‌نمایاند. با گذاردن معادله (۴-۱۴) در معادله (۱-۱) به دست می‌آوریم:

$$J \frac{d^2\delta_m}{dt^2} = T_a = T_m - T_e \quad \text{N-m} \quad (5-14)$$

از نظر نمادی، بهتر است سرعت زاویه‌ای روتور چنین تعریف شود:

$$\omega_m = \frac{d\theta_m}{dt} \quad (6-14)$$

بنابر دینامیک مقدماتی (پایه) می‌دانیم که توان بر این حاصل ضرب گشتاور در سرعت زاویه‌ای است، لذا با ضرب معادله (۵-۱۴) در  $\omega_m$  به دست می‌آوریم:

$$J \omega_m \frac{d^2\delta_m}{dt^2} = P_a = P_m - P_e \quad \text{W} \quad (7-14)$$

که در آن  $P_m$ ، توان محوری و رو دوری ماشین منهای اتلافهای چرخشی است،  $P_e$ ، توان الکتریکی گذرنده از شکاف هوایی ماشین است، و  $P_a$  توان شتابانده‌ای است که نامتعادل بودن دوکمیت بالا را بیان می‌کند معمولاً اتلافهای چرخشی و اتلافهای  $|I|^2 R$  آرچر را ندیده می‌گیریم و  $P_m$  را توان ناشی از نخست‌رانه و  $P_e$  را توان الکتریکی خروجی می‌انگاریم.

ضریب  $J \omega_m$  لنگره‌زاویه‌ای روتور است که در سرعت سنکرون  $\omega_m$  با  $M$  نمایاند می‌شود و ثابت لختی ماشین نام دارد. واضح است که واحد  $M$  باید با واحدهای  $J$  و  $\omega_m$  متناظر باشد. کنترل دقیق واحد در جمله‌های معادله (۷-۱۴) نشان می‌دهد که  $M$  بر حسب

ژول-ثانیه بر رادیان مکانیکی بیان می‌شود و داریم

$$M \frac{d^2\delta_m}{dt^2} = P_a = P_m - P_e \quad W \quad (8-14)$$

ضریب  $M$  به کار رفته در این معادله، ضریب کاملاً ثابت نیست زیرا  $\omega_m$  در همه وضعیت‌های کارد، برابر سرعت همزمان نیست. اما در عمل، به هنگام پایداری ماشین،  $\omega_m$  تفاوت چندانی با سرعت سنکرون ندارد و چون محاسبه با توان، بهتر از گشتاور است معادله (8-14) ترجیح داده می‌شود. در بررسیهای پایداری، داده‌های ماشین، اغلب ثابت دیگری را نیز در بر می‌گیرد که مربوط به لختی است. این همان ثابت  $H$  است که چنین تعریف می‌شود:

$$H = \frac{\text{ازرثی جنبشی ذخیره شده در سرعت سنکرون بر حسب مگاژول}}{\text{ظرفیت ماشین بر حسب MVA}}$$

$$H = \frac{\frac{1}{2} J \omega_{sm}^2}{S_{mach}} = \frac{\frac{1}{2} M \omega_{sm}^2}{S_{mach}} \quad MJ/MVA \quad (9-14)$$

که در آن  $S_{mach}$ ، ظرفیت سه‌فاز ماشین بر حسب MVA است. از حل معادله (9-14)، چنین به دست می‌آید:

$$M = \frac{4H}{\omega_{sm}} S_{mach} \quad MJ/\text{mech rad} \quad (10-14)$$

و با گذاشتن این معادله در معادله (8-14) داریم

$$\frac{4H}{\omega_{sm}} \frac{d^2\delta_m}{dt^2} = \frac{P_a}{S_{mach}} = \frac{P_m - P_e}{S_{mach}} \quad (11-14)$$

این معادله به نتیجه بسیار ساده‌ای می‌انجامد. دقت کنید که  $\delta_m$  در صورت معادله (11-14) بر حسب رادیان مکانیکی و  $\omega_m$  در مخرج آن، بر حسب رادیان مکانیکی بر ثانیه بیان می‌شود. بنابراین اگر واحدهای  $\delta$  و  $\omega$  سازگار باشند - درجه یا رادیان مکانیکی یا الکتریکی - می‌توانیم معادله را به شکل زیر بنویسیم:

$$\frac{4H}{\omega_s} \frac{d^2\delta}{dt^2} = P_a = P_m - P_e \quad \text{در-یک} \quad (12-14)$$

واحدهای  $H$  و  $\delta$  سازگارند زیرا؛ مگاژول بر مگاوات آمپر، همان ثانیه است و مبنای در-یکی  $P_a$ ،  $P_m$  و  $P_e$  باید با مبنای  $H$  یکی باشد. زیرنویس  $m$  در  $\omega$ ،  $\omega_s$  و  $\delta$

به معنای استفاده از واحد مکانیکی است در غیر این صورت واحد الکتریکی به کار رفته است. در نتیجه  $\omega$  سرعت سنکرون بر حسب واحد الکتریکی است. در سیستمی بسا فرکانس الکتریکی  $f$  هرتز وقتی  $\delta$  بر حسب رادیان الکتریکی باشد معادله (۱۲-۱۴) چنین می شود:

$$\frac{H}{\pi f} \frac{d^2\delta}{dt^2} = P_a = P_m - P_e \quad (13-14)$$

در حالی که وقتی  $\delta$  بر حسب درجه الکتریکی باشد داریم:

$$\frac{H}{180f} \frac{d^2\delta}{dt^2} = P_a = P_m - P_e \quad (14-14)$$

معادله (۱۲-۱۴)، به نام معادله تابخود، معادله اساسی حاکم بر دینامیک چرخشی ماشین همزمان در بررسیهای پایداری است و چنانکه دیده می شود یک معادله دیفرانسیل مرتبه دوم است، که می توان آن را به شکل دومعادله دیفرانسیل مرتبه اول زیرنوشت که در آنها  $\omega$ ،  $\omega_s$  و  $\delta$  بر حسب رادیان الکتریکی یا درجه الکتریکی اند:

$$\frac{2H}{\omega_s} \frac{d\omega}{dt} = P_m - P_e \quad (15-14)$$

$$\frac{d\delta}{dt} = \omega - \omega_s \quad (16-14)$$

در این فصل برای تعیین پایداری یک ماشین در سیستم قدرت، از شکلهای مختلف معادله تابخورد استفاده می کنیم. با حل معادله تابخورد، عبارت  $\delta$  را بر حسب زمان به دست می آوریم نمودار پاسخ، منحنی تابخورد ماشین نامیده می شود و بررسی منحنی تابخورد ماشینهای سیستم نشان خواهد داد که آیا ماشینها پس از اختلال، همزمان می مانند یا نه.

### ۳-۱۴ بررسیهای بیشتر معادله تابخورد

مبنا MVA که در معادله (۱۱-۱۴) به کار بر دیم ظرفیت ماشین است که با تعریف  $H$  به میان می آید. در بررسی پایداری یک سیستم قدرت دارای تعدادی ماشین سنکرون، تنها یک مبنای مشترک MVA برای همه قسمتهای سیستم می توان انتخاب کرد. چون طرف راست معادله تابخورد هر ماشین باید بر حسب درجه الکتریکی مبنای مشترک سیستم بیان شود، روشن است که  $H$  در طرف چپ هر ماشین، که مبنایش ظرفیت آن ماشین است، به مقداری که مبنای سیستم، سیستم  $S$ ، تعیین می کند انجام می شود. با ضرب طرفین معادله (۱۱-۱۴) در نسبت سیستم  $S$ /ماشین  $S$ ، رابطه تبدیل به دست می آید:

$$H_{\text{سیستم}} = H_{\text{ماشین}} \frac{S_{\text{ماشین}}}{S_{\text{سیستم}}} \quad (17-12)$$

که زیر نویس هر جمله اش مبنای متناظر به کار رفته در آن جمله را نشان می‌دهد. در بر دستیهای صنعتی، مبنای سیستم را معمولاً  $100 \text{ MVA}$  انتخاب می‌کنند. در عمل به ندرت از تابعی  $H$  استفاده می‌شود و اغلب، صورتهای شامل  $H$  معادله تابخورد به کار می‌رود. زیرا مقدار  $M$ ، با اندازه و نوع ماشین بسیار تغییر می‌کند در حالی که مطابق جدول ۱-۱۳ پهنۀ تغییر مقادیر  $H$  تنگتر است. سازندگان ماشین عالمت  $WR^2$

جدول ۱-۱۶ ثابت‌های لختی نوعی در ماشینهای سنکرون.

ثابت لختی $H$ $\text{MJ/MVA}$	نوع ماشین
۶-۹	۱۸۰۰ $\text{r/min}$ چگالشی،
۴-۷	۴۶۰۰ $\text{r/min}$
۳-۴	۴۶۰۰ $\text{r/min}$ غیر چگالشی،
۳-۲	۲۰۰ $\text{r/min}$ سرعت پایین، $>$
۴-۲	۲۰۰ $\text{r/min}$ سرعت بالا، $<$
۱۲۵	خازن سنکرون $^{***}$
۱۵۰	بزرگ
۲۵۰	کوچک
موتور سنکرون با بارهای متغیر از $۱۰\%$ تا $۵۰\%$ و بالاتر برای چرخ طیارهای بزرگتر	

\* استخراج از:

"Electrical Transmission and Distribution Reference Book."

با اجازه، Westinghouse Electric Corporation

\* رقم اول محدوده‌ها من بوط به ماشینهای با اندازه نامی کوچکتر است.

\*\* خنک شونده با هیدروژن،  $25\%$  کمتر.

را برای مشخص کردن حاصل ضرب وزن اجزای چرخان یک واحد تولیدی (از جمله نخست رانه) – بر حسب پوند – در مربع شعاع چرخندگی – بر حسب فوت به کار می بردند. از این رو  $WR^2/32r^2$  لنگر لختی ماشین بر حسب slug-ft<sup>2</sup> است. مثال ۱-۱۶ رابطه ای برای محاسبه ثابت  $H$  از  $WR^2$  به دست آورید و  $H$  یک واحد تولید نوع هسته ای را با اندازه های نامی MVA، ۱۳۳۳ r/min و ۱۸۰۰ ft/min محاسبه کنید.

حل: انرژی جنبشی چرخش در سرعت همزمان بر حسب فوت پوند عبارت است از:

$$KE = \frac{1}{2} \frac{WR^2}{32r^2} \left[ \frac{2\pi(r/\text{min})}{60} \right]^2 \text{ ft-lb}$$

چون  $550 \text{ ft-lb/s}$  برای  $W$  ۷۴۶ است نتیجه می گیریم که هر  $550 \text{ ft-lb/s}$  ز  $746/550$  است. از این رو با تبدیل فوت پوند به مگاژول و با تقسیم بر ظرفیت ماشین بر حسب مگاوات آمپر، به دست می آوریم:

$$H = \frac{\left( \frac{746}{550} \times 10^{-6} \right) \frac{1}{2} \frac{WR^2}{32r^2} \left[ \frac{2\pi(r/\text{min})}{60} \right]^2}{\text{ماشین}}$$

و پس از ساده کردن:

$$H = \frac{2531 \times 10^{-10} WR^2 (\text{r/min})^2}{\text{ماشین}}$$

با گذاشتن داده های ماشین در این معادله، داریم

$$H = \frac{2531 \times 10^{-10} (5582 \times 10^9) (1800)^2}{1333}$$

$$= 3527 \text{ MJ/MVA}$$

با تبدیل  $H$  به مبنای سیستم، داریم:

$$\square \quad H = 3527 \times \frac{1333}{100} = 4356 \text{ MJ/MVA}$$

در بررسی پایداری یک سیستم بزرگ که ماشینها یش در ناحیه جنر افایی وسیعی پراکنده اند بهتر است که تعداد معادله های تابخوردی را که باید حل شوند مینیمم کرد. این به شرطی انجام پذیر است که عیب در خط انتقال یا هر اختلال دیگر در سیستم، طوری بر

ماشینهای نیر و گاه اثر بگذارد که روتورها یشان باهم تاب بخورند. در چنین حالتها می‌توان با ترکیب ماشینهای نیر و گاه، یک ماشین معادل ساخت چنانکه گویی روتورها یشان به طور مکانیکی جفت شده‌اند. و فقط به نوشتن یک معادله تابخورد نیاز باشد. نیر و گاهی را با دو ژنراتور متصل به شینهایی که از نظر الکتریکی از اختلالات شبکه دور است، در نظر بگیرید. معادله‌های تابخورد، بر مبنای مشترک سیستم، عبارت اند از:

$$\frac{2H_1}{\omega_s} \frac{d^2\delta_1}{dt^2} = P_{m1} - P_{e1} \quad (18-14)$$

$$\frac{2H_2}{\omega_s} \frac{d^2\delta_2}{dt^2} = P_{m2} - P_{e2} \quad (19-14)$$

با افزودن معادله‌ها به یکدیگر، و نمایش  $\delta_1$  و  $\delta_2$  با  $\delta$  چون روتورها باهم تاب می‌خورند به دست می‌آوریم:

$$\frac{2H}{\omega_s} \frac{d^2\delta}{dt^2} = P_m - P_e \quad (20-14)$$

که در آن  $(H_1 + H_2) = H$ ،  $P_m = (P_{m1} + P_{m2})$ ،  $P_e = (P_{e1} + P_{e2})$  است. حل این تک معادله، که به شکل معادله (۱۲-۱۴) است، دینامیک نیر و گاه را نمایش می‌دهد. مثال ۲-۱۴ در یک نیر و گاه دو واحد تولید  $120 \text{ Hz}$  به قوازی کار می‌کنند و دارای اندازه‌های نامی زیرند:

واحد ۱:  $3600 \text{ r/min}$ ،  $500 \text{ MVA}$ ، ضریب توان  $0.85$ ،  $20 \text{ kV}$

$$H_1 = 4.8 \text{ MJ/MVA}$$

واحد ۲:  $1800 \text{ r/min}$ ،  $1333 \text{ MVA}$ ، ضریب توان  $0.9$ ،  $22 \text{ kV}$

$$H_2 = 3.27 \text{ MJ/MVA}$$

ثابت معادل مجموعه،  $H$ ، را بر مبنای  $100 \text{ MVA}$  محاسبه کنید.

حل: انرژی جنبشی کل چرخش دو ماشین برابر است با:

$$KE = (4.8 \times 500) + (3.27 \times 1333) = 6759 \text{ MJ}$$

بنابراین ثابت  $H$  ماشین معادل، بر مبنای  $100 \text{ MVA}$  برابر است با:

$$H = 6759 \text{ MJ/MVA}$$

و اگر ماشینها طوری تاب بخورند که زاویه روتورها یشان در هر لحظه همگام باشد، می‌توان این مقدار را در یک تک معادله تابخورد به کار برد.

□

ماشینهای که باهم تاب می‌خورند، ماشینهای سازگار (همدوس) نام دارند. باید دانست که وقتی هم  $\omega$  و هم  $\delta$  بر حسب درجه یا رادیان الکتریکی بیان شوند می‌توان معادله‌های تابخورد ماشینهای سازگار را، حتی اگر سرعتهای نامیشان همانند مثل، متفاوت باشند. بایکدیگر ترکیب کرد. در بررسی پایداری چندماشین، برای کاهش تعداد معادله‌های تابخوردی که باید حل کرد اغلب از این امر استفاده می‌شود. می‌توان برای هرجفت ماشین ناسازگار سیستم، معادله‌های تابخوردی مانند معادله‌های  $(14-14)$  و  $(14-18)$  نوشت. با تقسیم هر معادله به ضرب طرف چپ خود و تغیریق معادله‌های حاصل، بدست می‌آوریم:

$$\frac{d^2\delta_1}{dt^2} - \frac{d^2\delta_2}{dt^2} = \frac{\omega_s}{2} \left( \frac{P_{m1} - P_{e1}}{H_1} - \frac{P_{m2} - P_{e2}}{H_2} \right) \quad (21-14)$$

با ضرب دو طرف در  $H_1 H_2 / (H_1 + H_2)$  و پس از مرتب کردن، داریم:

$$\frac{2}{\omega_s} \left( \frac{H_1 H_2}{H_1 + H_2} \right) \frac{d^2(\delta_1 - \delta_2)}{dt^2} = \frac{P_{m1} H_2 - P_{m2} H_1}{H_1 + H_2} - \frac{P_{e1} H_2 - P_{e2} H_1}{H_1 + H_2} \quad (22-14)$$

که می‌توان به شکل بسیار ساده‌تر معادله اساسی تابخورد  $(14-14)$  نیز نوشت:

$$\frac{2}{\omega_s} H_{12} \frac{d^2\delta_{12}}{dt^2} = P_{m12} - P_{e12} \quad (23-14)$$

در اینجا زاویه نسبی  $\delta_{12}$  برابر  $\delta_2 - \delta_1$  است. لختی و توانهای ورودی و خروجی وزن دار معادل نیز عبارت اند از:

$$H_{12} = \frac{H_1 H_2}{H_1 + H_2} \quad (24-14)$$

$$P_{m12} = \frac{P_{m1} H_2 - P_{m2} H_1}{H_1 + H_2} \quad (25-14)$$

$$P_{e12} = \frac{P_{e1} H_2 - P_{e2} H_1}{H_1 + H_2} \quad (26-14)$$

یک کاربرد قابل توجه این معادله‌ها مربوط به سیستم دو-ماشینهای دارای یک ژنراتور (ماشین یک) و یک موتور سنکرون (ماشین دو) است که با شبکه‌ای از رئکتانسهای خالص به یکدیگر وصل شده‌اند. هر تغییری که در خروجی ژنراتور رخ دهد جذب موتور می‌شود و می‌توانیم بنویسیم:

$$\begin{aligned} P_{m1} &= -P_{m2} = P_m \\ P_{e1} &= -P_{e2} = P_e \end{aligned} \quad (27-14)$$

در این صورت  $P_m = P_e$ ،  $P_{m12} = P_e$ ، و معادله (۲۲-۱۴) به شکلی از معادله (۱۲-۱۴) که برای یک تک ماشین به کار می‌رود، در می‌آید:

$$\frac{2H_{12}}{\omega_s} \frac{d^2\delta_{12}}{dt^2} = P_m - P_e$$

معادله (۲۲-۱۴) نشان می‌دهد که پایداری یک ماشین سیستم، خاصیتی نسبی است وابسته به عملکرد دینامیک آن ماشین نسبت به ماشینهای دیگر سیستم. می‌توان زاویه روتور یک ماشین را،  $\delta_1$ ، برای مقایسه با زاویه روتور هر ماشین دیگر،  $\delta_2$ ، انتخاب کرد. برای پایدار بودن، باید اختلاف زاویه بین همه ماشینها پس از کلید زنی نهایی از قبل بازگردان مدارشکن برای حذف عیب، کاهش بیا بل. با آنکه ممکن است بخواهیم زاویه بین روتور ماشین و یک محور مرجع با چرخش همزمان را رسم کنیم با این حال آنچه اهمیت دارد زاویه نسبی بین ماشینهاست. این بحث بر طبیعت نسبی خاصیت پایداری سیستم تأکید می‌کند و نشان می‌دهد که ویژگی اصلی بررسی پایداری با درنظر گرفتن مسائل جفت‌ماشین مشخص می‌شود. چنین مسائلی بر دو نوع اند: آنها بی که دارای یک ماشین بالختی محدود ند که نسبت به یک شینه بی نهایت تاب می‌خورد و آنها بی که دارای دو ماشین بالختی محدود ند که نسبت به یکدیگر تاب می‌خورند. از نظر پایداری، شینه بی نهایت، شینه ای است که ماشینی با ولتاژ داخلی ثابت، امپدانس صفر، ولختی نامحدود دارد. نقطه اتصال هر زنر اتور به یک سیستم قدرت بزرگ را می‌توان چنین شینه ای در نظر گرفت. در همه حالتها معادله تابخورد به شکل معادله (۱۲-۱۴) در می‌آید که برای حل آن باید هر جمله اش را دقیقاً بررسی کرد. معادله  $P_e$ ، که اکنون برای یک سیستم کلی دو ماشینه مشخص می‌کنیم، اساس این بررسی است.

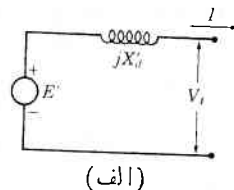
#### ۱۴-۶ معادله توان-زاویه

در معادله تابخورد ژنراتور، توان مکانیکی ورودی از نخست-رانه،  $P_m$ ، ثابت فرض خواهد شد. چنانکه گفته شد این یک فرض معقول است زیرا می‌توان انتظار داشت که شرایط شبکه الکتریکی، پیش از آنکه فرمانهای متغیر بتوانند توزیع را به واکنش و ادارد تغییر کنند. چون در معادله (۱۲-۱۴)،  $P_m$  ثابت است توان الکتریکی خروجی،  $P_e$ ، تعیین خواهد کرد که آیا روتور می‌شتابد، وامی شتابد و یا در سرعت سنکرون باقی می‌ماند. وقتی  $P_e$  برابر  $P_m$  است ماشین با سرعت سنکرون در حالت مانا کارمی کنند؛ وقتی  $P_e$  انسدازه‌ای غیر از این مقدار دارد روتور از همزمانی در می‌آید. تغییرات  $P_e$  را وضعیت شبکه‌های انتقال و نوزیع، و بارهای ژنراتور سیستم تعیین می‌کنند. اختلالات شبکه الکتریکی-ناشی از تغییرات حاد بار، عیوبهای شبکه، یا عمل مدارشکنها-ممکن است باعث تغییر سریع تسویه خروجی

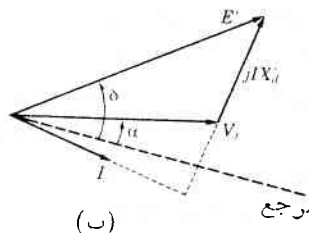
ژنراتور،  $P$ ، شوند در این صورت، حالت گذرای الکتریکی به وجود می‌آید. فرض بنیادین آن است که تأثیر تغییر سرعت ماشین برواناز تولیدی ناچیز است به طوری که معادله‌های پخش بار مربوط به حالت شبکه الکتریکی و مدل انتخاب شده برای نمایش رفتار الکتریکی ماشین، نحوه تغییرات  $P$  را تعیین می‌کنند. در بررسیهای پایداری حالت گذرا، هر ماشین را با ولتاژ داخلی گذرای،  $E'$ ، به توالی رئکتانس گذراش،  $X'_t$ ، نمایش می‌دهند، مطابق شکل ۲-۱۴ (الف) که در آن  $V_t$  ولتاژ بین سرهاست. این متناظر با نمایش حالت ماناست که در آن رئکتانس سنکرون،  $X_t$ ، با ولتاژ داخلی سنکرون یا بی-باری،  $E$ ، متوازن است. در بیشتر حالتها مقاومت آرمپر تاچیز است و بنا بر این می‌توان نمودار فاز-برداری شکل ۲-۱۴ (ب) را به کار برد. چون باشد هر ماشین را نسبت به سیستمی که جزء آن است در نظر گرفت، زاویه فاز کمیتهای ماشین نسبت به مرجع مشترک سیستم سنجدیده می‌شود.

شکل ۲-۱۴-۳ نمودار طرحواره‌ای ژنراتوری را نشان می‌دهد که از طرق يك سیستم انتقال، سیستمی را درسر دریافت در شینه ۲ تغذیه می‌کند. مستطیل، يك سیستم انتقال، نافعال خطی مانند ترانسفورماتور، خط انتقال، و خازن را می‌نمایند و رئکتانس گذرای ژنراتور را نیز شامل می‌شود. بنا بر این  $E'$ ، ولتاژ داخلی گذرای ژنراتور را در شینه ۱ نمایش می‌دهد.  $E'$  نیز درسر دریافت، ولتاژ شینه بی‌نهایت یا ولتاژ داخلی گذرای یك موتور سنکرون فرض می‌شود که رئکتانس گذراش در شبکه انتقال گنجانده شده است. بعداً حالت دو ژنراتور را در نظر خواهیم گرفت که بارهایی با امپدانس ثابت را تغذیه می‌کنند. ماتریس ادمیتانس شینه شبکه کاهش یافته بد و گره (علاوه بر گره مرجع) عبارت است از:

$$\mathbf{Y}_{\text{شینه}} = \begin{bmatrix} Y_{11} & Y_{12} \\ Y_{21} & Y_{22} \end{bmatrix} \quad (28-14)$$

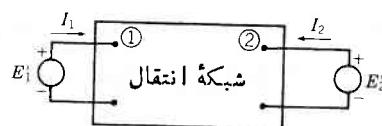


(الف)



مرجع

شکل ۲-۱۴ نمودار فاز-برداری يك ماشین سنکرون برای بررسی پایداری حالت گذرا.



شکل ۳-۱۴ نمودار طرحواره‌ای برای بررسیهای پایداری. شبکه انتقال شامل رئکتانس‌های گذرا وابسته به،  $E_1'$ ، و  $E_2'$  است.

بنابر معادله (۷-۸)

$$P_k - jQ_k = V_k^* \sum_{n=1}^N Y_{kn} V_n \quad (29-14)$$

اگر  $k$  و  $N$  را به ترتیب برای ۱ و ۲ بگیریم و  $E_2'$  را جانشین  $V$  کنیم می‌توانیم بنویسیم:

$$P_1 + jQ_1 = E_1'(Y_{11}E_1')^* + E_1'(Y_{12}E_2')^* \quad (30-14)$$

که در آن

$$E_1' = |E_1'| \angle \delta_1 \quad E_2' = |E_2'| \angle \delta_2$$

$$Y_{11} = G_{11} + jB_{11} \quad Y_{12} = |Y_{12}| \angle \theta_{12}$$

در نتیجه:

$$P_1 = |E_1'|^2 G_{11} + |E_1'| |E_2'| |Y_{11}| \cos(\delta_1 - \delta_2 - \theta_{12}) \quad (31-14)$$

$$Q_1 = -|E_1'|^2 B_{11} + |E_1'| |E_2'| |Y_{11}| \sin(\delta_1 - \delta_2 - \theta_{12}) \quad (32-14)$$

از دو معادله بالا، با تعویض زیرنویسها دو معادله مشابه، برای شینه ۲ به دست می‌آید.  
اگر فرض کنیم:

$$\delta = \delta_1 - \delta_2$$

و زاویه جدیدی،  $\gamma$ ، چنین تعریف کنیم:

$$\gamma = \theta_{12} - \frac{\pi}{2}$$

از معادله‌های (۳۱-۱۴) و (۳۲-۱۴) به دست می‌آوریم:

$$P_1 = |E_1'|^2 G_{11} + |E_1'| |E_2'| |Y_{11}| \sin(\delta - \gamma) \quad (33-14)$$

$$Q_1 = -|E_1'|^2 B_{11} - |E_1'| |E_2'| |Y_{11}| \cos(\delta - \gamma) \quad (34-14)$$

معادله (۳۳-۱۴) را می‌توان به صورت بسیار ساده‌تر ذیر نوشت:

$$P_e = P_c + P_{\max} \sin(\delta - \gamma) \quad (35-14)$$

که در آن

$$P_c = |E'_1| |G_{11}| \quad P_{\max} = |E'_1| |E'_2| |Y_{12}| \quad (36-14)$$

چون  $P_c$ ، توان الکتریکی خروجی ژنراتور را نمایش می‌دهد (از اتفاق آرمحر صرف نظر شده است) در معادله (۳۵-۱۴)،  $P_c$  را جانشین آن کرده‌ایم. این معادله اغلب، معادله توان-زاویه نامیده می‌شود و نمودار آن تابعی است از  $\delta$  که منحنی توان-زاویه نام دارد. پارامترهای  $P_c$ ،  $P_{\max}$  و  $\gamma$  برای یک آرایش معین شبکه و با اندازه ولتاژهای ثابت  $|E'_1|$  و  $|E'_2|$ ، ثابت‌اند. وقتی شبکه بدون مقاومت فرض شود همه عناصر  $\mathbf{Y}_{bus}$  سوپرتانس‌اند و بنابراین،  $G_{11}$  و  $\gamma$  صفرند. به این ترتیب، معادله توان-زاویه شبکه رئکتانسی خالص، این معادله ساده و آشناست:

$$P_e = P_{\max} \sin \delta \quad (37-14)$$

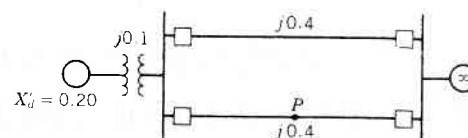
که در آن  $X = |E'_1| / X$  رئکتانس انتقالی بین  $E'_1$  و  $E'_2$  است. مثال ۳-۱۴ نمودار تک خطی شکل ۳-۱۴، ژنراتوری را نشان می‌دهد که از طریق خط‌های انتقال موازی، به سیستم شهری بزرگی که می‌تواند شینه بی‌نهایت فرض شود بسته شده است. توان تحویلی ماشین،  $p_u = ۱۵$  است و ولتاژ بین سرها و ولتاژ شینه بی‌نهایت نیز هر دو  $۲۰$  است. عدهای روی نمودار، مقدار رئکتانسها را بر مبنای مشترک سیستم نشان می‌دهند. رئکتانس گذرای ژنراتور چنان‌که دیسه می‌شود برابر  $۲۰$  است. معادله توان-زاویه سیستمی را باید که با این شرایط کار می‌کند.

حل: شکل ۳-۱۴ (الف)، نمودار رئکتانسی سیستم را نشان می‌دهد. رئکتانس متوالی بین ولتاژ دوسر و شینه بی‌نهایت یعنی:

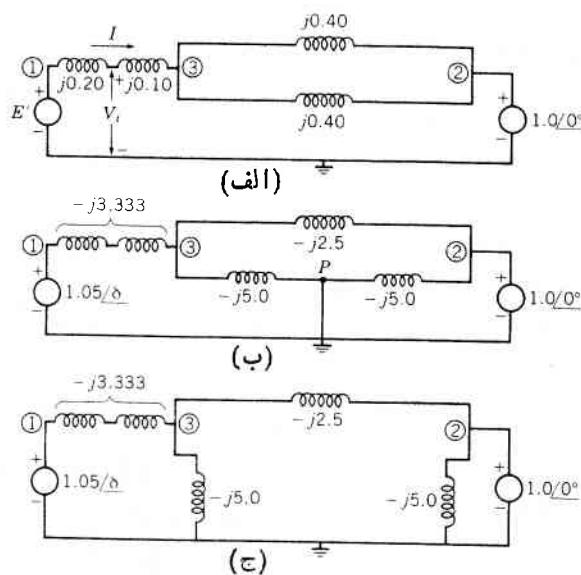
$$X = \frac{۲۰}{۱۰ + \frac{۲۰}{۲}} = ۵$$

و توان خروجی  $p_u = ۱۵$  را در معادله توان-زاویه قرار می‌دهیم:

$$\frac{|V_1| |V_2|}{X} \sin \alpha = \frac{(۱۵)(۱۵)}{۵} \sin \alpha = ۱۵$$



شکل ۳-۱۴ نمودار تک-خطی مطالعهای ۳-۱۴ و ۴-۱۴. نقطه  $P$ ، وسط خط است.



شکل ۵-۱۴ نمودار رئکتانسی، (الف) برای شبکه پیش از عیب مثال ۱۴-۳ با امپدانسهای در-یکی؛ (ب) و (ج) برای شبکه پس از عیب مثال ۱۴-۴ با همان امپدانسهای تبدیل شده به ادمیتانس در-یکی.

که در آن  $\gamma$ ، ولتاژ شینه بی نهایت و  $\alpha$ ، زاویه ولتاژ بین سرها در شینه بی نهایت است. از این معادله چنین بدست می‌آید

$$\alpha = \sin^{-1} 0.3 = 17.458^\circ$$

بنابراین ولتاژ بین سرها برابر است با

$$\text{در-یک } V_i = 150 / 17.458^\circ = 150 \angle 94.5^\circ$$

حال جریان خروجی ڈنر اتور به این صورت محاسبه می‌شود:

$$I = \frac{150 / 17.458^\circ - 150 / 0^\circ}{j 0.3}$$

$$\text{در-یک } = 150 \angle 153.5^\circ + j 150 \angle 87.729^\circ$$

پس، ولتاژ داخلی گذرا برابر است با:

$$E' = (0.954 + j 0.3) (0.2 + j 0.3) + 153.5^\circ$$

$$\text{در-یک } = 0.923 + j 0.5 = 1.050 \angle 28.43^\circ$$

رئکتانس متواالی کل برای تعیین معادله توان-زاویه مر بوط به ولتاژ داخلی گذرا، و ولتاژ شینه بی نهایت،  $V$ ، برابر است با:

$$X = \frac{2r^0 + 1r^0 + 5r^0}{2}$$

پس معادله موردنظر عبارت است از:

$$P_e = \frac{(1r^0)(1r^0)}{5r^0} \sin \delta = 2r^0 \sin \delta$$

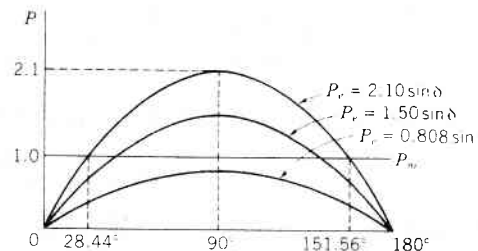
که در آن  $\delta$ ، زاویه روتور ماشین نسبت به شینه بی نهایت است.

این معادله توان-زاویه در شکل ۱۴-۶ رسم شده است. البته توان مکانیکی ورودی،  $P_m$ ، ثابت است و نقطه نظریش بر منحنی توان-زاویه سینوسی، زاویه کار  $= 28.44^\circ$  را معین می‌کند که زاویه وضع ابتدایی روتور ژنراتور، و متناظر با شرایط کار داده شده است. معادله تابخورد ماشین به صورت زیر است:

$$\frac{H}{1A^0 f} \frac{d^2 \delta}{dt^2} = 1r^0 - 2r^0 \sin \delta \quad (38-14)$$

که در آن  $H$  بر حسب مگاوارت آمپر،  $f$  فرکانس الکتریکی سیستم، و  $\delta$  بر حسب درجه الکتریکی است. می‌توانیم به سادگی نتایج را کنترل کنیم زیرا در شرایط کار،  $P_m = 1r^0 p_u = 2r^0 \sin 28.44^\circ = 2r^0 \sin 0.4933^\circ$  دقیقاً متناظر با توان مکانیکی ورودی  $P_m$  است و شتاب صفر است.  $\square$

در مثال بعد، معادله توان-زاویه را برای همان سیستم با اتصالی سه‌فازی در نقطه  $P$ ، وسط یکی از خطهای انتقال، تعیین می‌کنیم. مادامی که عیب باقی است شتاب مثبت است، مثال ۱۴-۴ وقتی سیستم مثال ۱۴-۳ در شرایط ذکر شده کار می‌کند یک اتصالی سه‌فاز در نقطه  $P$  شکل ۱۴-۴ رخ می‌دهد. معادله توان-زاویه سیستم اتصالی کرده و معادله



شکل ۱۴-۶ رسم منحنیهای توان-زاویه مثالهای ۱۴-۳-۱۴ نا-۱۴-۵.

متناظر تابخورد را تعیین کنید  $H = 5 \text{ MJ/MVA}$ .

حل: شکل ۵-۱۴ (ب)، نمودار رئکتانسی را به فرض اتصالی در نقطه  $P$  از سیستم نشان می‌دهد. اعداد روی شکل، مقدار ادمیتانسها به دریک است. رسم دوباره نمودار رئکتانسی شکل ۵-۱۴ (ج) بوضوح، تأثیر اتصال کوتاه ناشی از اتصالی را نمایش می‌دهد. مطابق محاسبات مثل ۱۴-۳، ولتاژ داخلی گذرا ای ژنراتور با فرض ثابت بودن حلقه‌زندهای شار در ماضی، برابر  $E' = ۱۰۵ / ۲۸ر۴۴^\circ$  باقی می‌ماند. پایه ادمیتانس انتقالی خالص وصل کننده منابع ولتاژ را تعیین کرد، شینه‌ها چنانکه دیدیم شماره گذاری شده‌اند و  $\mathbf{Y}_{\text{bus}}$  با ملاحظه شکل ۵-۱۴ (ج) چنین نوشته می‌شود:

$$\mathbf{Y}_{\text{bus}} = j \begin{bmatrix} -۳ر۳۳۳ & ۰ & ۳ر۳۳۳ \\ ۰ & -۷ر۵۰ & ۲ر۵۰ \\ ۳ر۳۳۳ & ۲ر۵۰ & -۱۰ر۸۳۳ \end{bmatrix}$$

شینه ۳ به هیچ منبع خارجی وصل نیست و می‌توان آن را به روش حذف گره بخش ۴-۷ حذف کرد و ماتریس ادمیتانس شینه کاوش یافته را چنین بدست آورد:

$$\begin{bmatrix} Y_{11} & Y_{12} \\ Y_{21} & Y_{22} \end{bmatrix} = j \begin{bmatrix} -۲ر۳۰۸ & ۰ر۷۶۹ \\ ۰ر۷۶۹ & -۶ر۹۲۳ \end{bmatrix}$$

اندازه ادمیتانس انتقالی برابر ۷۶۹ است و بنا بر این:

$$P_{\max} = |E'_1| |E'_2| |Y_{12}| = (۱۰۵) (۱۰۰) (۷۶۹)$$

پس معادله توان در-یک زاویه، با فرض اتصالی در سیستم، عبارت است از:

$$\text{در-یک } P_e = ۰ر۸۰۸ \sin \delta$$

ومعادله تابخورد متناظر عبارت است از:

$$\frac{۵}{۱۸۰f} \frac{d^2\delta}{dt^2} = \text{در-یک } ۰ر۸۰۸ \sin \delta \quad (۳۹-۱۴)$$

دقت کنید که روتور به عمل لختی خود نمی‌تواند در هنگام وقوع اتصالی آن تغییر وضع بدهد. بنا بر این زاویه ابتدایی روتور  $\delta$  مطابق مثال ۱۴-۳ برابر  $۲۸ر۴۴^\circ$  است. توان الکتریکی خروجی و توان شتابانده ابتدایی نیز به ترتیب عبارت اند از:

$$\text{در-یک } P_e = ۰ر۸۰۸ \sin ۲۸ر۴۴^\circ$$

$$\text{در-یک } P_a = ۱۰۰ - ۰ر۳۸۵$$

شتاب ابتدایی، مشت ات و اندازه اش برابر است با:

$$\frac{d^2\delta}{dt^2} = \frac{180f}{5} = 22r14f \quad \text{elec deg/s}^2$$

که در آن  $f$ ، فرکانس سیستم است.

سیستم رله گذاری خط، اتصالی خط را حس می کند و با باز کردن همزمان مدارشکنها سرخط، اتصالی را حذف می کند. با این رویداد، معادله توان زاویه دیگری حاکم می شود زیرا شبکه تغییر یافته است.  
□

مثال ۵-۱۴ بازشدن همزمان مدارشکنها دوسر خط اتصالی کرده، اتصالی سیستم مثال ۴-۱۴ را حذف می کند. معادله توان زاویه و معادله تابخورد پس از عیب را تعیین کنید.

حل: ملاحظه شکل ۵-۱۴ (الف)، نشان می دهد که پس از حذف خط اتصالی کرده، ادミتانس انتقالی خالص سراسری سیستم برابر است با:

$$y_{12} = \frac{1}{j(0r2 + 0r1 + 0r4)} = 0r429 - j0r429$$

یا در ماتریس ادミتانس شینه:

$$Y_{12} = j0r429$$

بنابراین، معادله توان زاویه پس از عیب عبارت است از:

$$P_e = (1r05)(1r429) \sin \delta = 1r500 \sin \delta$$

و معادله تابخورد عبارت است از:

$$\frac{5}{180f} \frac{d^2\delta}{dt^2} = 1r0 - 1r500 \sin \delta$$

شتاب در لحظه حذف اتصالی، به وضع زاویه ای روتور در آن لحظه بستگی دارد. شکل ۳-۱۴، منحنيهای توان زاویه مثالهای ۳-۱۴ تا ۵-۱۴ را مقایسه می کند.  
□

### ۵-۱۵ همگر<sup>۱</sup> توانهای همزمان ساز

در مثال ۳-۱۴، نقطه کاربردی منحنی سینوسی  $P_e$  در شکل ۵-۱۴ به ازای  $\delta = 28r44^\circ$  بود. بدست آمد که در آن توان مکانیکی ورودی  $P_m$ ، برابر توان الکتریکی خروجی  $P_e$  است.

1. Coefficient

در همان شکل دیده می‌شود که در  $56^\circ$  را  $P_e = \delta_0 + \delta_\Delta$  برابر است و این نیز ممکن است نقطه کار قابل قبول دیگری باشد. اما اکنون نشان می‌دهیم که چنین نیست. شرط بدینه قابل قبول بودن نقطه کار آن است که وقته توان الکترومکنی خروجی ماشین موقتاً تغییر می‌کند ژنراتور همزمانیش را از دست ندهد. برای بررسی این شرط به فرض توان ورودی مکانیکی ثابت، تغییر جزئی زیر را در پارامترهای نقطه کار در نظر بگیرید

$$\delta = \delta_0 + \delta_\Delta \quad P_e = P_{e0} + P_{e\Delta} \quad (40-14)$$

که در آنها زیرنویس صفر، مقادیر نقطه کار حالت مانا را نشان می‌دهد و زیرنویس دلتا تغییر جزئی نسبت به این مقادیر را مشخص می‌کند. با گذاشتن معادله‌های (۴۰-۱۴) در معادله (۳۷-۱۴)، معادله توان زاویه سیستم کلی دوماشینه به دست می‌آید:

$$\begin{aligned} P_{e0} + P_{e\Delta} &= P_{\max} \sin(\delta_0 + \delta_\Delta) \\ &= P_{\max} (\sin \delta_0 \cos \delta_\Delta + \cos \delta_0 \sin \delta_\Delta) \end{aligned}$$

چون انحراف  $\delta_\Delta$  از  $\delta_0$ ، جزئی است؛

$$\sin \delta_\Delta \cong \delta_\Delta \quad \cos \delta_\Delta \cong 1 \quad (41-14)$$

و معادله قبل چنین می‌شود:

$$P_{e0} + P_{e\Delta} = P_{\max} \sin \delta_0 + (P_{\max} \cos \delta_0) \delta_\Delta \quad (42-14)$$

که در آن بازهم از علامت تساوی استفاده شده است. در نقطه کار ابتدایی  $\delta$  داریم؛

$$P_m = P_{e0} = P_{\max} \sin \delta_0 \quad (43-14)$$

و بنابراین از دومعادله اخیر می‌توان نوشت

$$P_m - (P_{e0} + P_{e\Delta}) = -(P_{\max} \cos \delta_0) \delta_\Delta \quad (44-14)$$

با گذاشتن متغیرهای جزئی معادله (۴۰-۱۴) در معادله (۱۲-۱۴) تابخورد، به دست می‌آوریم:

$$\frac{2H}{\omega_s} \frac{d^2(\delta_0 + \delta_\Delta)}{dt^2} = P_m - (P_{e0} + P_{e\Delta}) \quad (45-14)$$

چون  $\delta$  مقدار ثابتی است، با گذاشتن معادله (۴۰-۱۴) به جای طرف راست این معادله و سپس جایه‌جایی جمله‌ها، داریم:

$$\frac{2H}{\omega_s} \frac{d^2 \delta_\Delta}{dt^2} + (P_{\max} \cos \delta_0) \delta_\Delta = 0 \quad (46-14)$$

اما  $S_p \cos \delta_0$ ، شیب منحنی توان-زاویه به ازای زاویه  $\delta_0$  است، این شیب را با  $S_p$  تعریف می‌کنیم:

$$S_p = \frac{dP_e}{d\delta} \Big|_{\delta=\delta_0} = P_{\max} \cos \delta_0 \quad (47-14)$$

$S_p$  را همگر توان همزمان ساز می‌نامیم. اگر در معادله (۴۶-۱۴) از  $S$  استفاده کنیم می‌توانیم معادله تابخورد حاکم بر تغییرات جزئی زاویه روتور را چنین بنویسیم:

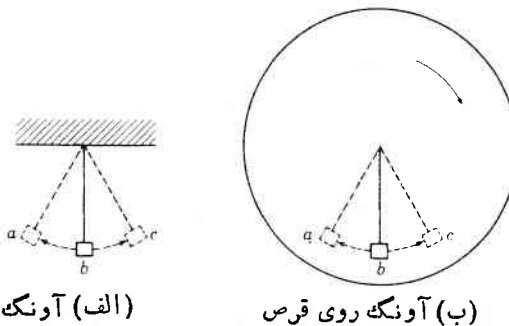
$$\frac{dx\delta_A}{dt^2} + \frac{\omega_n S_p}{2H} \delta_A = 0 \quad (48-14)$$

که یک معادله دیفرانسیل مرتبه دوم خطی است و پاسخش به علامت جبری  $S_p$  بستگی دارد. وقتی  $S_p$  ثابت است پاسخ  $(t)\delta_A$  باحر کت نوسانی ساده منتظر است، نوسانهای نامیرای یک آونگ، چنین حرکتی را نمایش می‌دهد. وقتی  $S_p$  منفی است پاسخ  $(t)\delta_A$  بدون حد به طور نمایی افزایش می‌باشد. بنابراین در شکل ۱-۶، نقطه کار  $= 28.44^\circ$ ، نقطه  $\delta = 28.44^\circ$  تعادلی پایدار است زیرا تابخورد روتور در حد یک اختلال کوچک است. از نظر فیزیکی، پس از اختلال وقت الکتریکی، میرایی، زاویه روتور را به  $28.44^\circ$  باز می‌گرداند. از طرف دیگر، نقطه  $15.15^\circ$  تعادلی ناپایدار است زیرا در آن جا  $S_p$  منفی است. لذا این نقطه، نقطه کار معتبری نیست.

ممکن است وضعیت متغیر روتور  $\dot{\theta}$  را که نسبت به شینه بی نهایت تاب می‌خورد، بامثالی مجسم کرد. مطابق شکل ۷-۱۴ (الف)، آونگ را که نسبت به محوری از یک قاب ساکن تاب می‌خورد در نظر بگیرید. نقاط  $a$  و  $c$ ، نقاط نهایی نوسان آونگ حول نقطه تعادل  $b$  اند. میرایی، سرانجام، آونگ را در  $b$  متوقف می‌کند. حال قرصی را که درجهت عقربه‌های ساعت حول محور آونگ می‌چرخد همانند شکل ۷-۱۴ (ب)، در نظر بگیرید و حرکت آونگ را به حرکت قرص ضمیمه کنید. وقتی آونگ از  $a$  به  $c$  حرکت می‌کند سرعت زاویه‌ای کل کمتر از سرعت قرص است. وقتی آونگ از  $c$  به  $a$  حرکت می‌کند سرعت زاویه‌ای کل بیشتر از سرعت قرص است. در نقاط  $a$  و  $c$  سرعت زاویه‌ای آونگ، صفر است و سرعت زاویه‌ای کل، برای سرعت زاویه‌ای قرص است. اگر سرعت زاویه‌ای قرص، برای سرعت هزمان روتور باشد و اگر حرکت آونگ، به تهایی، تابخورد روتور را نسبت به شینه بی نهایت نمایش بدهد برهمنهی حرکت آونگ و قرص، حرکت واقعی روتور را می‌نمایاند.

---

\* معادله حرکت نوسانی ساده عبارت است  $d^2x/dt^2 + \omega_n^2 x = 0$  که دارای پاسخ عمومی  $A \cos \omega_n t + B \sin \omega_n t$  است. ثابتی‌های  $A$  و  $B$  را شرایط ابتدایی تعیین می‌کنند. پاسخ، یک همنجی سینوسی ناهیان با فرکانس زاویه‌ای  $\omega_n$  است.



شکل ۴-۷ آونک و قرص چرخان برای نمایش تابخورد روتور نسبت به شینه بی‌نهایت.

از بحث بالا نتیجه می‌گیریم، که اگر همگر توان همزمان ساز،  $S_p$ ، مثبت باشد پاسخ معادله (۴-۱۴) نوسانهای سینوسی خواهد بود. فرکانس زاویه‌ای نوسانهای نامیرا عبارت است از:

$$\omega_n = \sqrt{\frac{\omega_s S_p}{2H}} \quad \text{elec rad/s} \quad (49-14)$$

که متناظر با فرکانس نوسان زیر است:

$$f_n = \frac{1}{2\pi} \sqrt{\frac{\omega_s S_p}{2H}} \quad \text{Hz} \quad (50-14)$$

مثال ۴-۶ وقتی ماشین مثال ۳-۱۴ در  $28.544^\circ = 8^\circ$  کارمی کند در معرض اختلال وقت و کوچک سیستم الکتریکی واقع می‌شود. اگرپیش از آنکه نخست‌رانه پاسخ دهد اختلال برداشته شود، فرکانس دوره نوسان روتور ماشین را تعیین کنید.  $H = 5 \text{ MJ/MVA}$

حل: معادله تابخورد قابل اجرا، معادله (۴-۱۴) است و همگر توان همزمان ساز در نقطه کار، برابر است با:

$$S_p = 210 \cos 28.544^\circ = 184.66$$

بنابراین، فرکانس زاویه‌ای نوسان برابر است با:

$$\omega_n = \sqrt{\frac{\omega_s S_p}{2H}} = \sqrt{\frac{377 \times 184.66}{2 \times 5}} = 8.343 \text{ elec rad/s}$$

فرکانس متناظر نوسان برابر است با:

$$f_n = \frac{87343}{2\pi} = 133 \text{ Hz}$$

و دوره نوسان برابر است با:

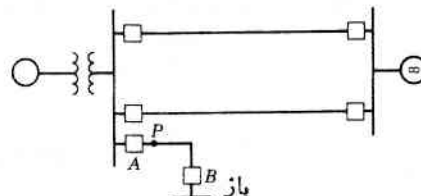
$$\square \quad T = \frac{1}{f_n} = 753 \text{ s}$$

این مثال از دیدگاه عملی بسیار مهم است زیرا حدود اندازه فرکانسها بیی را نشان می‌دهد که در یک سیستم قدرت بزرگ دارای چند ماشین بهم پیوسته، به فرکانس نامی  $133 \text{ Hz}$  اضافه می‌شود. چون در طی روز، بار سیستم به تصادف تغییر می‌کند ماشینها بین خود با فرکانسی در حدود  $1 \text{ Hz}$  نوسان می‌کنند اما اثر میراکننده‌های مختلف ناشی از تختسته رانه، بارهای سیستم و خود ماشینها، این نوسانها را به سرعت میرا می‌کنند. بایل دانست که حتی اگر سیستم انتقال دارای مقاومت باشد باز هم حرکت روتور، نوسانی ساده و نامیراست. مسئله ۱۴-۸، تأثیر مقاومت را بر همگر توان همزمان ساز و فرکانس نوسان بررسی می‌کند در یکی از بخش‌های بعدی باز هم از مفهوم همگر توان همزمان ساز بحث خواهد شد. در بخش بعد، روش تعیین پایداری در حالت گذرا ای ناشی از اختلال بزرگ را بررسی می‌کنیم.

#### ۶-۱۴ معیار مساحت‌های برابر برای پایداری

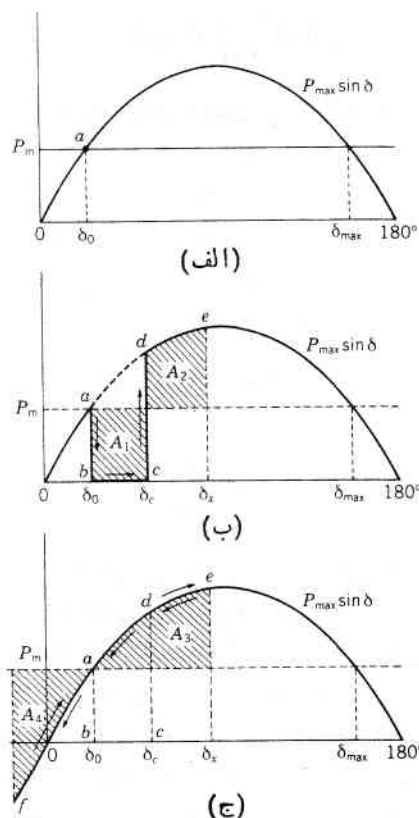
در بخش ۱۴-۴، معادله‌های تابخورد را که ذاتاً ناخطی اند به دست آورده‌یم. با سinx واقعی چنین معادله‌هایی را نمی‌توان به صراحت پیدا کرد. حتی در حالتی که یک تک ماشین نسبت به شینه بی‌نهاست تاب می‌خورد بسیار مشکل است که شکل درست پاسخها را به دست آورده. از این راست که معمولاً روش‌های کامپیوتری به کار می‌رود. برای بررسی پایداری یک سیستم دو ماشینه، بدون حل معادله تابخورد، روش مستقیم وجود دارد که اکنون از آن بحث خواهیم کرد.

سیستم نمایانده شده در شکل ۱۴-۸، صرف نظر از اضافه شدن یک خط انتقال کوتاه همان سیستم مفروض قبلی است. ابتدا مدارشکن  $A$ ، بسته است اما مدارشکن  $B$ ، در سر



شکل ۱۴-۸ نمودار نک-خطی سیستم شکل ۱۴-۴ با اضافه شدن یک خط انتقال کوتاه.

دیگر خط کوتاه، باز است. بنا بر این، شرایط ابتدایی کار مثال ۳-۱۶ بی هیچ تغییری معتبر می‌ماند. مدارشکن  $A$ ، غیب سه فازی را که در نقطه  $P$ ، تزدیک شینه، رخ می‌دهد پس از زمان کوتاهی حذف می‌کند. بنا بر این به استثنای زمانی که اتصالی وجود دارد سیستم انتقال تغییری نمی‌کند. اتصال کوتاه ناشی از اتصالی واقعًا روی شینه است ولذا، توان الکتریکی خروجی ژنراتور تا زمان حذف اتصالی صفر است. با تحلیل منحنیهای توان-زاویه شکل ۹-۱۴ می‌توانیم شرایط واقعی را پیش از اتصالی، در زمان اتصالی و پس از آن دریابیم. نخست، ژنراتور در سرعت همزمان با زاویه روتور  $\delta$  کارمی کند و مطابق نقطه  $a$  در شکل ۹-۱۴ (الف)، توان مکانیکی ورودی  $P_m$  برابر توان الکتریکی خروجی  $P_e$  است. وقتی در  $\delta = \delta_0$  اتصالی رخ می‌دهد توان الکتریکی خروجی، ناگهان صفر می‌شود در حالی که توان مکانیکی ورودی، مطابق شکل ۹-۱۴ (ب)، تغییر نمی‌کند. اختلاف توان را باید با آهنگ تغییر انرژی جنبشی ذخیره شده در جرمها روتور توضیح داد. لذا، سرعت در



شکل ۹-۱۴ منحنیهای توان-زاویه ژنراتور شکل ۸-۱۴. مساحت‌های  $A_1$  و  $A_2$  همانند مساحت‌های  $A_3$  و  $A_4$  با یکدیگر مساوی‌اند.

اثر توان شتابانندۀ ثابت،  $P_m$ ، افزایش می‌یابد. اگر زمان حذف اتصالی را با  $\delta$  نشان دهیم، در زمان  $t$  کوچکتر از  $\delta$ ، شتاب ثابت است و داریم:

$$\frac{d^2\delta}{dt^2} = \frac{\omega_s}{2H} P_m \quad (51-12)$$

اما می‌که اتصالی وجود دارد افزایش سرعت، بالای سرعت همزمان را با انتگرال‌گیری از معادله بالا پیدامی کنیم:

$$\frac{d\delta}{dt} = \int_0^t \frac{\omega_s}{2H} P_m dt = \frac{\omega_s}{2H} P_m t \quad (52-14)$$

یک انتگرال‌گیری نسبت به زمان، وضع زاویه‌ای روتور را مشخص می‌کند:

$$\delta = \frac{\omega_s P_m}{4H} t^2 + \delta_0 \quad (53-14)$$

معادله‌های (52-14) و (53-14) نشان می‌دهند که وقتی زاویه روتور از مقدار  $\delta$  به سوی مقدار هنگام حذف اتصالی،  $\delta$ ، پیش می‌رود یعنی در شکل ۹-۱۴، زاویه  $\delta$  از  $b$  به  $c$  می‌رود، سرعت روتور نسبت به سرعت سنکرون به طور خطی با زمان، افزایش می‌یابد. در لحظه حذف اتصالی، افزایش سرعت روتور و زاویه بین ژنراتور و شینه بی‌نهایت عبارت‌اند از:

$$\left. \frac{d\delta}{dt} \right|_{t=t_c} = \frac{\omega_s P_m}{2H} t_c \quad (54-14)$$

و

$$\left. \delta(t) \right|_{t=t_c} = \frac{\omega_s P_m}{4H} t_c^2 + \delta_0 \quad (55-14)$$

وقتی در زاویه  $\delta$ ، اتصالی حذف می‌شود توان الکتریکی خروجی دفعتاً زیاد می‌شود و به مقدار متناظر با نقطه  $d$  از منحنی توان-زاویه می‌رسد. در  $d$ ، توان الکتریکی خروجی از توان مکانیکی ورودی تجاوز می‌کند ولذا توان شتابانندۀ منفی است. در نتیجه وقتی که در شکل ۹-۱۴ (ج)، از  $d$  به  $e$  می‌رود، روتور وامی شتابد. در  $e$ ، سرعت روتور دوباره برابر سرعت همزمان است هرچند زاویه روتور تا  $\delta$  پیش رفته است. چنان‌که خواهیم دید تساوی مساحت‌های  $A_1$  و  $A_2$ ، زاویه  $\delta$  را معین می‌کند. توان شتابانده در  $e$ ، هوزمنفی (کندکننده) است و بنابراین روتور نمی‌تواند در سرعت همزمان بماند و باید به واشتایدن ادامه دهد. سرعت نسبی منفی است و زاویه روتور از  $\delta$  در  $e$  روی منحنی توان-زاویه شکل ۹-۱۴ (ج)، تا نقطه  $a$  که در آن سرعت روتور از سرعت سنکرون کمتر است

برمی گردد. از  $\alpha$  تا  $\beta$  توان مکانیکی از توان الکتریسکی تجاوز می کند و سرعت روتور دوباره زیاد می شود تا اینکه در  $\beta$  به سرعت همزمان می رسد. نقطه  $\beta$  در جایی است که مساحتها  $A_3$  و  $A_4$  برابرند. اگر میرایی نباشد روتور در چرخه  $f-a-e$  و  $e-a-f$  وغیره نوسان می کند و در  $\gamma$  و  $\delta$  به سرعت همزمان می رسد.

چنانکه خواهیم دید مساحتها سایه خورده  $A_1$  و  $A_2$  در شکل ۹-۱۴ (ب)، و همچنین مساحتها  $A_3$  و  $A_4$  در شکل ۹-۱۴ (ج)، پایداری باشند. در سیستمی که یک ماشین نسبت به شینه بی نهایت تاب می خورد برای تعیین پایداری حالت گذاری سیستم، بدون حل معادله تابخورد، می توان اصل تساوی مساحتها را به نام معیاد مساحتها مساوی به کار برد. هر چند این روش برای سیستمهای چند ماشینه عملی نیست اما به فهم چگونگی اثر بعضی عوامل بر پایداری حالت گذاری سیستم کمک می کند.

معیار مساحتها مساوی که برای یک ماشین و یک شینه بی نهایت به دست آمده است بنابر ملاحظات بخش ۳-۱۴ می تواند به آسانی به سیستمهای دو ماشینه کلی انطباق داده شود. معادله تابخورد برای ماشین متصل به شینه عبارت است از:

$$\frac{2H d\delta}{\omega_s dt} = P_m - P_e \quad (56-14)$$

سرعت زاویه ای روتور را نسبت به سرعت سنکرون به این صورت تعریف می کنیم:

$$\omega_r = \frac{d\delta}{dt} = \omega - \omega_s \quad (57-14)$$

با مشق کثیری از این معادله نسبت به  $\omega$  و گذاشتن در معادله (۵۶-۱۴) داریم:

$$\frac{2H d\omega_r}{\omega_s dt} = P_m - P_e \quad (58-14)$$

واضح است که در سرعت سنکرون،  $\omega$  برابر  $\omega_s$  است و  $\omega$  صفر است. با ضرب طرفین معادله (۵۸-۱۴) در  $\omega_r = d\delta/dt$  داریم:

$$\frac{H}{\omega_s} 2\omega_r \frac{d\omega_r}{dt} = (P_m - P_e) \frac{d\delta}{dt} \quad (59-14)$$

با

$$\frac{H}{\omega_s} \frac{d(\omega_r)}{dt} = (P_m - P_e) \frac{d\delta}{dt} \quad (60-14)$$

با ضرب در  $dt$  و انتگرالگیری داریم:

$$\frac{H}{\omega_s} (\omega_{r2} - \omega_{r1}) = \int_{\delta_1}^{\delta_2} (P_m - P_e) d\delta \quad (61-14)$$

زیر نویس جمله‌های  $\omega_1$  و  $\omega_2$  با زاویه  $\delta_1$  و سرعت  $\omega_1$  را با زاویه  $\delta_2$  و سرعت  $\omega_2$  با زاویه  $\delta_2$  متناظر است. چون  $\omega_1$ ، انحراف سرعت روتور از سرعت همزمان را می‌نمایاند، واضح است که اگر روتور در  $\delta_1$  و  $\delta_2$  دارای سرعت سنکرون باشد متناظر  $\omega_1 = \omega_2 = \omega_{\text{max}}$  در این صورت، معادله (۶۱-۱۴) به شکل زیر در می‌آید:

$$\int_{\delta_1}^{\delta_2} (P_m - P_e) d\delta = 0 \quad (62-14)$$

این معادله برای هر دو نقطه  $\delta_1$  و  $\delta_2$ ، ازنمودار توان-زاویه، به شرطی صادق است که روتور در آن نقاط دارای سرعت سنکرون باشد. چنین دو نقطه‌ای در شکل ۹-۱۴ (ب) عبارت انداز  $a$  و  $e$  که با  $\delta_1$  و  $\delta_2$  متناظرند. اگر انگرال‌گیری را در دو مرحله انجام دهیم، می‌توانیم بنویسیم:

$$\int_{\delta_0}^{\delta_c} (P_m - P_e) d\delta + \int_{\delta_c}^{\delta_x} (P_m - P_e) d\delta = 0 \quad (63-14)$$

یا

$$\int_{\delta_0}^{\delta_c} (P_m - P_e) d\delta = \int_{\delta_c}^{\delta_x} (P_e - P_m) d\delta \quad (64-14)$$

انگرال طرف چپ در زمان عیب صادق است در حالی که انگرال طرف راست متناظر با مدت زمان بلا فاصله پس از اتصالی تا نقطه نهایی تابخورد  $\delta$  است. در شکل ۹-۱۴ (ب)،  $P_e$  در زمان اتصالی صفر است. طرفهای چپ و راست معادله (۶۴-۱۴) به ترتیب با مساحت‌های سایه خورده  $A_1$  و  $A_2$  برابرند. پس، دو مساحت  $A_1$  و  $A_2$  مساوی‌اند.

چون در شکل ۹-۱۴ (ج)، روتور در  $\delta$  و همچنین در  $\delta$  دارای سرعت سنکرون است، مطابق استدلال بالا  $A_1$  برابر  $A_2$  است. مساحت‌های  $A_1$  و  $A_2$  مدامی که روتور بر می‌شتابد مستقیماً با افزایش انرژی جنبشی روتور متناسب‌اند در حالی که مساحت‌های  $A_1$  و  $A_2$  مدامی که روتور وامی شتابد با کاهش انرژی جنبشی روتور متناسب‌اند. می‌توان از ملاحظه معادله (۶۱-۱۴) نیز به این نکته بی‌برده. بنا بر این، معیار مساحت‌های مساوی صرفاً بیان می‌کند که برای بازگشت روتور به سرعت سنکرون باید انرژی جنبشی را که عیب به روتور می‌دهد پس از اتصالی از آن پس گرفت.

مساحت سایه خورده  $A_1$  به زمان لازم برای حذف عیب بستگی دارد. اگر حذف، با تأخیر باشد زاویه  $\delta$  افزایش می‌یابد در نتیجه، مساحت  $A_1$  زیاد می‌شود و معیار مساحت‌های مساوی ایجاب می‌کند که مساحت  $A_2$  نیز زیاد شود تا روتور را با زاویه ماکزیمم تابخورد بزرگتری،  $\delta_{\text{max}}$ ، به سرعت همزمان بازگرداند. اگر زمان حذف اتصالی طولانی شود به نحوی که در شکل ۹-۱۴، زاویه روتور  $\delta$  تا محدودی  $\delta_{\text{max}}$  تابخورد، آن‌گاه در

آن نقطه از منحنی توان - زاویه، اگر توان شتابانده مثبت باشد روتور از سرعت منکرون بیشتر است. این توان شتابانده مثبت، زاویه  $\delta$  را بدون حد افزایش خواهد داد و ناپایداری به وجود می آید. بنابراین به منظور اینکه شرط معیار مساحت‌های مساوی برای پایداری صادق باشد زاویه حذف اتصالی باید مقداری بحرانی داشته باشد. شکل ۱۰-۱۴، این زاویه را که زاویه بحرانی حذف  $\delta_{cr}$  نامیده می شود، نشان می دهد. زمان بحرانی متناظر با حذف اتصالی را ذهان بحرانی حذف  $t_{cr}$  می نامند.

در حالت خاص شکل ۱۰-۱۴، می توان هم زاویه بحرانی حذف و هم زمان بحرانی حذف را به صورت زیر محاسبه کرد. مساحت مستطیل  $A_1$  برابر است با:

$$A_1 = \int_{\delta_0}^{\delta_{cr}} P_m d\delta = P_m (\delta_{cr} - \delta_0) \quad (65-14)$$

در حالی که مساحت  $A_2$  برابر است با:

$$\begin{aligned} A_2 &= \int_{\delta_{cr}}^{\delta_{max}} (P_{max} \sin \delta - P_m) d\delta \\ &= P_{max} (\cos \delta_{cr} - \cos \delta_{max}) - P_m (\delta_{max} - \delta_{cr}) \end{aligned} \quad (66-14)$$

با مساوی قراردادن عبارات  $A_1$  و  $A_2$  و جایه جایی جمله ها، داریم:

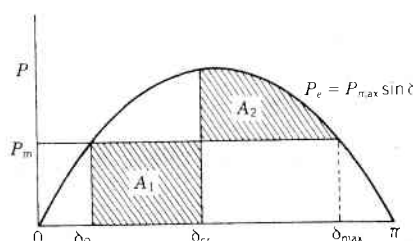
$$\cos \delta_{cr} = (P_m / P_{max})(\delta_{max} - \delta_0) + \cos \delta_{max} \quad (67-14)$$

در منحنی سینوسی توان - زاویه می بینیم که :

$$\delta_{max} = \pi - \delta_0 \text{ elec rad} \quad (68-14)$$

و

$$P_m = P_{max} \sin \delta_0 \quad (69-14)$$



شکل ۱۰-۱۴ منحنی توان - زاویه نشان دهنده زاویه بحرانی حذف  $\delta_{cr}$ . مساحت‌های  $A_2$  و  $A_1$  مساوی‌اند.

با گذاشتن  $\delta_{\max}$  و  $P_m$  در معادله (۶۷-۱۴) و ساده کردن نتیجه، زاویه بحرانی حذف،  $\delta_{cr}$ ، چنین به دست می‌آید:

$$\delta_{cr} = \cos^{-1}[(\pi - 2\delta_0) \sin \delta_0 - \cos \delta_0] \quad (70-14)$$

با گذاشتن مقدار محاسبه شده بالا در طرف چپ معادله (۵۵-۱۴)، داریم:

$$\delta_{cr} = \frac{\omega_s P_m}{4H} t_{cr} + \delta_0 \quad (71-14)$$

که از روی آن زمان بحرانی حذف پیدا می‌شود:

$$t_{cr} = \sqrt{\frac{4H(\delta_{cr} - \delta_0)}{\omega_s P_m}} \quad (72-14)$$

مثال ۲-۱۴ وقتی یک اتصالی سه فاز در نقطه  $P$  از خط انتقال کوتاه سیستم شکل ۸-۱۴ رخ می‌دهد، زاویه و زمان بحرانی حذف را حساب کنید. شرایط ابتدایی همانند مثال ۳-۱۴ است و  $H = 5 \text{ MJ/MVA}$ . حل: از مثال ۳-۱۴ معادله توان-زاویه عبارت است از:

$$P_e = P_{\max} \sin \delta = 210 \sin \delta$$

زاویه ابتدایی روتور برابر است با:

$$\delta_0 = 28.44^\circ = 0.496 \text{ elec rad}$$

و توان مکانیکی ورودی  $P_m = 150 \text{ pu}$ . بنابراین زاویه بحرانی حذف را از معادله (۷۰-۱۴) به دست می‌آوریم:

$$\begin{aligned} \delta_{cr} &= \cos^{-1}[(\pi - 2 \times 0.496) \sin 28.44^\circ - \cos 28.44^\circ] \\ &= 81.697^\circ = 1.426 \text{ elec rad} \end{aligned}$$

با گذاشتن این مقدار و کمیتهای معلوم دیگر در معادله (۷۲-۱۴) داریم:

$$\begin{aligned} t_{cr} &= \sqrt{\frac{4 \times 5(1.426 - 0.496)}{377 \times 1}} \\ &= 0.222 \text{ s} \end{aligned}$$

این مقدار برمبنای فرکانس ۵۰ هرتز، معادل زمان بحرانی حذف ۱۳۵۰ سیکل است. □

این مثال، مفهوم زمان بحرانی حذف را، که در طراحی مدارهای مناسب رله گذاری برای حذف اتصالی ضروری است، مطرح می‌کند. در حل‌های کلی‌تر، نمی‌توان بدون حل معادله‌های تابخورد با شبیه سازی کامپیوتری زمان بحرانی حذف را پیدا کرد.

## ۷-۱۴ کاربردهای دیگر معیار مساحتها مساوی

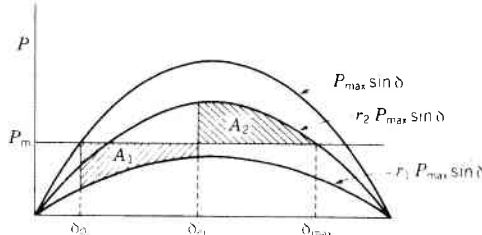
هر چند معیار مساحتها مساوی را فقط می‌توان در حالت دو ماشین، با یک ماشین و یک شینه بی‌نها بیت، به کار برد این روش برای فهم آنچه هنگام وقوع اتصالی روی می‌دهد مفید است. کامپیوتر رقیقی تنها وسیله عملی تعیین پایداری یک سیستم بزرگ است. به هر حال چون معیار مساحتها مساوی، برای فهم پایداری حالت گذرا بسیار مفید است، پیش از بحث تعیین منحنیهای تابخورد و روش کامپیوتری، بررسی آن را دنبال می‌کنیم.

وقتی یک ژنراتور از طریق دو خط انتقال موازی به یک شینه بی‌نها بیت، توان می‌دهد قطع یکی از خطوط-حتی اگر خط دیگر بتواند باز را در وضعیت حالت سانان تغذیه کند-ممکن است باعث از دست رفتن همزمانی ژنراتور شود. اگر در شینه‌ای که دو خط موازی به آن بسته شده است یک اتصال-کوتاه سه‌فاز رخ دهد هیچ یک از خطها نمی‌تواند توانی را انتقال دهد. این در اصل همان حالت مثال ۷-۱۴ است. اما اگر عیب در سر یکی از خطها باشد باز کردن مدارشکنها دو سر آن خط، اتصالی را از سیستم جدا خواهد کرد و امکان انتقال توان از خط دیگر را خواهد داد. وقتی یک اتصالی سه‌فاز در نقطه‌ای از یک خط دومداره، جز در شینه‌های موازی کننده یا سرهای خط، رخ می‌دهد بین شینه‌های موازی کننده و اتصالی، امیدانس وجود دارد. بنابراین مادامی که عیب در سیستم باقی است، مقداری توان انتقال می‌یابد. معادله توان-زاویه مثال ۱۴-۳ این واقعیت را نشان می‌دهد.

وقتی در زمان اتصالی، توان منتقل می‌شود، معیار مساحتها مساوی مطابق شکل ۱۱-۱۴، که شبیه نمودار توان-زاویه شکل ۱۱-۶ است اجرا می‌شود.  $P_{\max} \sin \delta$ ,  $r_2 P_{\max} \sin \delta$  و  $r_1 P_{\max} \sin \delta$  زمان اتصالی و پس از حذف اتصالی با کلیدزنی در لحظه  $\delta_{cr} = \delta_{cr}$ ، انتقال داد. بررسی شکل ۱۱-۱۴ نشان می‌دهد که در این حالت،  $\delta_{cr}$  زاویه بحرانی حذف است. با محاسبه مساحتها  $A_1$  و  $A_2$  از طریق روش مرحله‌ای بخش پیش داریم:

$$\cos \delta_{cr} = \frac{(P_m / P_{\max})(\delta_{\max} - \delta_0) + r_2 \cos \delta_{\max} - r_1 \cos \delta_0}{r_2 - r_1} \quad (73-14)$$

در این حالت برای زمان بحرانی حذف،  $\delta_{cr}$ ، پاسخ دقیق وجود ندارد. برای سیستم و محل



شکل ۱۱-۱۴ معیار مساحتها مساوی به کار رفته برای حذف اتصالی وقتی در زمان عیوب، توان منتقل می‌شود. مساحتها  $A_1$  و  $A_2$  مساوی‌اند.

اتصالی نشان داده شده در شکل ۸-۱۴، دارایم  $r_1 = ۲۰۰$  و  $r_2 = ۱۰۰$  پس معادله بالا به شکل معادله (۶۷-۱۴) در می‌آید.

اتصال-کوتاههای غیرسه فاز، صرف نظر از محلشان، اجازه انتقال مقداری توان را می‌دهند زیرا در نمودار امپدانس ترتیب-مشیت به جای اتصال کوتاه کردن نقطه اتصالی و شینه می‌گذرد. لذا، هر قدر امپدانس موازی دو سرشکن ترتیب-مشیت، مرجع، با یک امپدانس نمایانده می‌شوند. هر قدر امپدانس نمایانده می‌شوند. هر قدر امپدانس موازی دو سرشکن ترتیب-مشیت، که اتصالی را می‌نمایاند، بزرگتر باشد توان انتقال یافته در زمان اتصالی بیشتر است. به ازای هر زاویه حذف معین، میزان توان منتقل شده در زمان اتصالی براندازه  $A_1$  اثر می‌گذارد. لذا، هر چه مقدار  $r_2$  کوچکتر باشد اختلال سیستم بزرگتر است زیرا کوچک بودن  $r_2$  به معنای کم بودن توان منتقل شده در زمان اتصالی و بزرگ بودن  $A_1$  است. اتصالیها به ترتیب و خامت صعودی (کاوش  $P_{\max}$  عبارت اند از: ۱) اتصال تک خط-به-زمین، ۲) اتصالی خط-به-خط، ۳) اتصالی دو خط-به-زمین، ۴) اتصالی سه فاز. اتصالی یک خط-به-زمین بیشتر از همه و اتصالی سه فاز کمتر از همه روی می‌دهد برای اینکه یک سیستم کاملاً قابل اطمینان باشد باید برای پایداری در برابر اتصالیها سه فاز در بدترین محلها طراحی شود و این روش عملاً در همه جا متدائل است.

**مثال ۸-۱۴** آرایش ابتدایی سیستم و شرایط کار پیش از اتصالی، مطابق مثال ۱۴-۳، است. زاویه بحرانی حذف را در اتصالی سه فاز مثالهای ۴-۱۴ و ۵-۱۴ تعیین کنید.

حل: معادله‌های توان زاویه بر مثالهای پیش عبارت اند از:

$$P_{\max} \sin \delta = ۲۰۰ \sin \delta \quad \text{پیش از اتصالی}$$

$$r_1 P_{\max} \sin \delta = ۰۸۰۸ \sin \delta \quad \text{در زمان اتصالی}$$

$$r_2 P_{\max} \sin \delta = ۱۵۵۰ \sin \delta \quad \text{پس از اتصالی}$$

لذا

$$r_1 = \frac{۰۸۰۸}{۲۰۰} = ۰۴۰۸ \quad r_2 = \frac{۱۵۵}{۲۰۰} = ۰۷۷۵$$

از مثال ۱۴-۳ داریم:

$$\delta = ۴۹.۶^\circ = ۰.۶۷۷ \text{ rad}$$

و بنابر شکل ۱۱-۱۴ می‌توان نوشت

$$\delta_{\max} = ۱۸۰^\circ - \sin^{-1} \frac{۱۵۵}{۲۰۰} = ۱۳۸.۱۹^\circ = ۰.۲۳۴ \text{ rad}$$

بنابراین با گذاشتن مقادیر عددی در معادله (۱۴-۷۳) به دست می‌آوریم:

$$\cos \delta_{cr} =$$

$$\frac{(138r19^{\circ} - 0r496)(2r412 + 0r714\cos(28r44^{\circ}) + 0r385\cos(2r10/2r15))}{0r714 - 0r385} = 0r127$$

لذا

$$\delta_{cr} = 82r726^{\circ}$$

برای تعیین زمان بحرانی حذف پایه منحنی تابخورد  $\delta$  در برای  $\omega$  را برای این مثال به دست آوریم. در بخش ۹-۱۴ بکی از روش‌های تعیین چنین منحنی تابخوردی را بررسی خواهیم کرد.

□

#### ۱۴-۸ بررسی پایداری سیستم چند ماشینه: نمایش سنتی

در سیستمهای سه یا چند ماشینه نمی‌توان مستقیماً معیار مساحت‌های مساوی را به کار برد، هر چند اساس پدیده فیزیکی مشاهده شده در مسائل دو ماشینه باحالت چند ماشینه یکی است، در بررسی پایداری حالت گذرا با افزایش تعداد ماشینها محاسبات تیز پیچیده‌تر می‌شوند. وقتی یک سیستم چند ماشینه در شرایط گذرای الکترومکانیکی کار می‌کند ماشینها، از طریق سیستم انتقال واسطه‌ای که آنها را به هم وصل می‌کند، بین خودشان نوسان می‌کنند. اگر فرض کنیم که هر ماشین به عنوان یک منبع نوسان منفرد کار می‌کند، این ماشین، یک نوسان الکترومکانیکی به سیستم به هم پیوسته ارسال می‌دارد. لختی و تسوان همزمان ساز ماشین، این نوسان را مشخص می‌کند. فرکانس نوعی چنین نوسانی حدود ۱ تا  $2 \text{ Hz}$  است که به فرکانس نامی سیستم،  $Hz_0$  اضافه می‌شود. وقتی روتور چند ماشین به طور همزمان متholm نوسان گذرا می‌شوند منحنیهای تابخورد، حضور ترکیبی از این نوع نوسانها را نشان خواهد داد. بنابراین مسلماً فرکانس سیستم انتقال نسبت به فرکانس نامی تغییرمی‌کند ولی فرض می‌کنیم که پارامترهای شبکه  $Hz_0$  هنوز برقرار ند. به علاوه، در بررسیهای پایداری حالت گذرا برای کاستن پیچیدگی مدل سازی سیستم و بنا بر این کاهش بار محاسبات، معمولاً فرض می‌کنند:

الف) در سراسر زمان محاسبه منحنی تابخورد، توان مکانیکی و رودی هر ماشین ثابت می‌ماند.

ب) توان میراکننده ناچیز است.

ج) می‌توان هر ماشین را با یک رئکتانس گذرای ثابت به توالی یک ولتاژ داخلی گذرای ثابت نمایاند.

د) زاویه مکانیکی روتور هر ماشین برابر زاویه فاز الکتریکی ولتاژ داخلی گذرا،  $\delta$  است.

ح) همه بارها امپدانسهای موازی و نسبت به زمین اندازه مقدار آنها از شرایط بلا فاصله پیش از شرایط گذرا، تعیین می شود.

مدل پایداری براساس این فرضها را مدل کلاسیک پایداری سیستم می گویند و بر دستهایی که این مدل را به کار می بردند بروزیهای کلاسیک پایداری نام دارند. این فرضها، که آنها را می پذیریم، به فرضهای بنیادینی که پیشتر در بخش ۱-۱ برای همه بروزیهای پایداری در نظر گرفتیم، افزوده می شوند. البته می توان برای تغییر یک یا چند تا از فرضهای (الف) تا (ح)، از برنامه های مفصل کامپیوتری و مدل های پیچیده تر بار و ماشین استفاده کرد. اما در این فصل برای بررسی اختلالهای سیستم، ناشی از اتصالیهای سه فاز، مدل کلاسیک را به کار خواهیم برد.

چنانکه دیدیم، در هر بررسی پایداری حالت گذرا باید وضعیت پیش از اتصالی سیستم و آرایش شبکه را در زمان اتصالی و پس از آن بدانیم. در نتیجه، در سیستم چندماشینه، دو مرحله مقدماتی ضرورت دارد:

۱. با استفاده از یک برنامه پخش بار تولید نوعی، وضعیت پیش از اتصالی حالت مانای سیستم را محاسبه می کنند.

۲. نمایش پیش از اتصالی شبکه را تعیین می کنند و سپس برای منظور کردن اتصالی و وضعیت پس از اتصالی آن را تغییر می دهند.

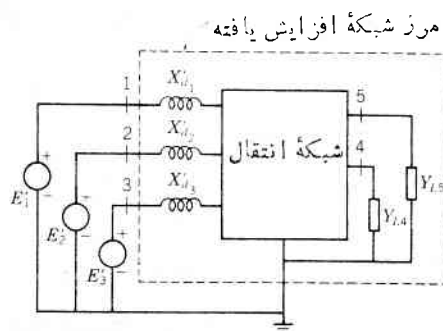
از اولین مرحله مقدماتی، مقادیر توان، توان واکنشی، ولتاژ بین سرهای هر ژنراتور و شینه بار را می یابیم. همه زاویه ها را نسبت به شینه تابخور اندازه می گیریم. سپس ولتاژ داخلی گذرا هر ژنراتور را از معادله زیر محاسبه می کنیم.

$$(74-14) \quad E' = V_L + jX'_L I$$

که در آن  $V_L$ ، ولتاژ متناظر بین سرهای  $I$ ، جریان خروجی است. با استفاده از معادله زیر هر یک از بارها را در شینه اش به یک ادمیتانس ثابت نسبت به زمین، تبدیل می کنیم:

$$(75-14) \quad Y_L = \frac{P_L - jQ_L}{|V_L|^2}$$

که در آن  $P_L + jQ_L$ ، بار است و  $|V_L|$ ، اندازه ولتاژ شینه متناظر آن است. رئکتانس گذرا هر ژنراتور و ادمیتانس بارهای موازی را مطابق شکل ۱۲-۱۴، به ماتریس ادمیتانس شینه ای که در محاسبه پخش بار پیش از اتصالی کار رفت اضافه می کنیم. البته جریان تحریقی همه شینه های داخلی سه ژنراتور صفر است. مرحله مقدماتی دوم، ماتریسهای تغییر یافته ادمیتانس شینه متناظر با وضعیت اتصالی و پس از اتصالی را تعیین می کند. چون فقط شینه داخلی ژنراتورها تحریق دارند می توان با حذف همه



شکل ۱۲-۱۴ شبکه افزایش یافته یک سیستم قدرت.

شینه‌های دیگر، ابعاد متریسها تغییر یافته را تا حد تعداد ژنراتورها کاهش داد. توان تحويلی هر ژنراتور به شبکه را، در زمان عیب و پس از آن، با استفاده از معادله‌های توان-زاویه متناظر محاسبه می‌کنند. برای مثال در شکل ۱۲-۱۴، توان خروجی ژنراتور ۱ عبارت است از:

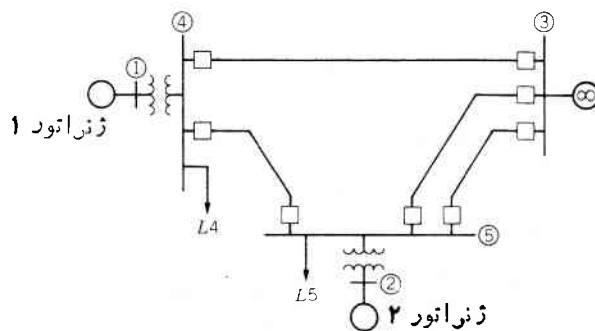
$$P_{e_1} = |E'_1| G_{11} + |E'_1| |E'_1| |Y_{11}| \cos(\delta_{12} - \theta_{12}) + |E'_1| |E'_2| |Y_{12}| \cos(\delta_{12} - \theta_{12}) \quad (76-14)$$

که در آن  $\delta_{12}$  برابر است با  $\delta_2 - \delta_1$ . با انتخاب مقادیر  $Y_{ij}$  از متریس  $Y$   $3 \times 3$  ادمیتانس شینه مربوط به وضعیت زمان اتصالی یا پس از عیب، معادله‌های مشابهی برای  $P_{e_2}$  و  $P_{e_3}$  می‌نویсим. معادله‌های توان-زاویه، برای نمایش حرکت هر روتور در زمان اتصالی و پس از اتصالی، بخشی از معادله‌های تابخورد را تشکیل می‌دهند:

$$\frac{2H_i d\delta_i}{\omega_s dt} = P_{mi} - P_{ei} \quad i = 1, 2, 3 \quad (77-14)$$

پاسخها به محل و زمان عیب و به شینه  $Y_{bus}$  حاصل پس از حذف خط اتصالی کرده، بستگی دارند. در مثال‌های زیر روش‌های اصلی به کار رفته در برنامه‌های کامپیوتری بررسیهای کلاسیک پایداری، نشان داده می‌شوند.

مثال ۹-۱۴ یک خط انتقال  $230 \text{ kV}, 60 \text{ Hz}$  مطابق شکل ۱۳-۱۴ دارای دو ژنراتور و یک شینه بی‌تهاست است. پارامترهای ترانسفورماتور و خط در جدول ۲-۱۴ داده شده‌اند. یک اتصالی سه‌فاز در خط ۵-۴ نزدیک شینه ۴ رخ می‌دهد. با استفاده از پاسخ پخش بار پیش از اتصالی نشان داده شده در جدول ۳-۱۴، معادله تابخورد هر ماشین را در زمان اتصالی تعیین کنید. ژنراتورها که مبنای رئکتانسها و مقادیر  $H$  آنها  $100 \text{ MVA}$  است به شرح زیر توصیف می‌شوند:



شکل ۱۳-۱۴ نمودار تک-خطی مثال ۹-۱۴.

جدول ۹-۱۴ پارامترهای خط و ترانسفورماتور مثال ۹-۱۴ به در. یک با مبنای  $230 \text{ kV}$  و  $100 \text{ MVA}$

موازی $B$	هزای متواالی $Z$		شینه به شینه
	$X$	$R$	
	۰۰۰۲۲	.....	۴-۱ ترانسفورماتور ۱
	۰۰۰۴۰	.....	۵-۲ ترانسفورماتور ۲
۰۰۰۸۲	۰۰۰۴۰	۰۰۰۰۷	۴-۳ خط
۰۰۰۹۸	۰۰۰۴۷	۰۰۰۰۸	(۱)۵-۳ خط
۰۰۰۹۸	۰۰۰۴۷	۰۰۰۰۸	(۲)۵-۳ خط
۰۰۲۲۶	۰۰۱۱۰	۰۰۰۱۸	۵-۴ خط

$H = 112 \text{ MJ/MVA}$ ,  $X_d' = 0.067 \text{ pu}$ ,  $20 \text{ kV}$ ,  $300 \text{ MVA}$  : ڈنر اتو ۱

$H = 80 \text{ MJ/MVA}$ ,  $X_d' = 0.10 \text{ pu}$ ,  $18 \text{ kV}$ ,  $250 \text{ MVA}$  : ڈنر اتو ۲

حل: برای تعیین معادلهای تابخورد باید ولتاژهای داخلی گذرا را بیابیم. جریان ورودی شبکه از شینه ۱ بر اساس داده‌های جدول ۹-۱۴ برابر است با:

$$I_1 = \frac{(P_1 + jQ_1)^*}{V_1^*} = \frac{3050 - j0.712}{1030 \angle -88.8^\circ} = 30.468 \angle -26.19^\circ$$

و همچنین:

جدول ۳-۱۶ مشخصات شینه و مقادیر پیش از اتصالی پخش بار به دریک بر مبنای  $230\text{kV}$  و  $100\text{MVA}$

بار		تولید		ولتاژ	شینه
$Q$	$P$	$Q$	$P$		
۰ر۴۴	۱۰۰۰	۰ر۷۱۲	۳ر۵۰۰	۱۰۰۳۰ / <u>۸۰۸۸°</u>	۱
		۰ر۲۹۸	۱۰۸۵۰	۱۰۰۲۰ / <u>۶۰۳۸°</u>	۲
		.....	.....	۱۰۰۰۰ / <u>۰°</u>	۳
		.....	.....	۱۰۰۱۸ / <u>۴۰۶۸°</u>	۴
		۰ر۱۶	۰ر۵۰	۱۰۰۱۱ / <u>۲۰۲۷°</u>	۵

$$I_2 = \frac{10850 - j0r298}{10020 / -6038} = 10837 / -20771$$

پس:

$$E'_1 = 10030 / ۸۰۸۸° + j0r067 \times 3r468 / -2r619 = 10100 / ۲۰۰۸۲°$$

$$E'_2 = 10020 / ۶۰۳۸° + j0r010 \times 10837 / -2r771 = 10065 / ۱۶۰۱۹°$$

در شینه بی نهایت:

$$E'_3 = E'_4 = 10000 / ۰۰۰°$$

و بنابراین:

$$\delta_{12} = \delta_1 \text{ و } \delta_{23} = \delta_2$$

ادمیتانسهای محاسبه شده از معادله (۱۴-۷۵)، بارهای شینه‌های ۴ و ۵ را چنین نمایانند:

$$Y_{L4} = \frac{1000 - j0r44}{(10018)^2} = 0r9649 - j0r4246$$

$$Y_{L5} = \frac{0r50 - j0r16}{(10011)^2} = 0r4892 - j0r1565$$

این ادمیتانسهای به همراه رئکتانسهای گذرا و بارامترهای خط و ترانسفورماتور، ماتریس افزایش باقی ادمیتانسهای شینه سیستم را پیش از عیب - شامل رئکتانس گذرای ماشینها -

تشکیل می‌دهند. بنابراین اکنون گرههای داخلی مجازی بین ولتاژهای داخلی و رتکتانسهای گذراشی ماشینها را شینه‌های ۱ و ۲ می‌گیریم. به این ترتیب درماتریس، برای مثال، داریم:

$$Y_{11} = \frac{1}{j_0 r_0 + j_0 v_0} = -j_{11 r 226}$$

$$Y_{24} = -\frac{1}{j_0 r_0 + j_0 v_0} = -j_{24 r 2571} + j_{24 r 2571}$$

مجموع ادمیتانسهای متصل به گرههای ۳، ۴، ۵ باید ظرفیت موازی خطوط انتقال را شامل بشوند. بنابراین:

$$Y_{44} = -j_{11 r 236} + \frac{j_0 r_0 + j_0 v_0}{2} + j_{24 r 2450}$$

$$-j_{24 r 2571} + \frac{1}{j_0 r_0 + j_0 v_0} + j_{24 r 2571} - j_{24 r 2450} - j_{24 r 2450}$$

$$= 6r6587 - j44r6175$$

جدول ۴-۱۴، کل ماتریس افزایش یافته را به نمایش می‌گذارد.

جدول ۴-۱۴ عنصرهای ماتریس ادمیتانس شینه پیش از عیب در مثال ۴-۹، ادمیتانسهای بر حسب دریاچه اند.

نیمیه	۱	۲	۳	۴	۵
	$-j_{11 r 2360}$	$j_{11 r 2360}$	$j_{11 r 2360}$	$j_{11 r 2360}$	$j_{11 r 2360}$
۱	$0$	$0$	$0$	$0$	$0$
۲	$0$	$-j_{75 r 1429}$	$0$	$0$	$j_{75 r 1429}$
۳	$0$	$0$	$11 r 2841$	$-4 r 2450$	$-750392$
۴	$0$	$0$	$-4 r 2450$	$-750392$	$-11 r 2488$
۵	$0$	$0$	$-j_{24 r 2571}$	$-j_{24 r 2571}$	$+j_{41 r 3550}$
	$0$	$0$	$-j_{65 r 4731}$	$-j_{24 r 2571}$	$+j_{41 r 3550}$
۱	$0$	$0$	$-4 r 2450$	$-4 r 2450$	$-11 r 2488$
۲	$0$	$0$	$-j_{24 r 2571}$	$-j_{24 r 2571}$	$+j_{808538}$
۳	$0$	$0$	$-750392$	$-750392$	$-11 r 2488$
۴	$0$	$0$	$j_{75 r 1429}$	$j_{75 r 1429}$	$-809772$
۵	$0$	$0$	$-j_{24 r 2571}$	$-j_{24 r 2571}$	$+j_{808538}$
	$0$	$0$	$+j_{21 r 3550}$	$+j_{21 r 3550}$	$-j_{57 r 2972}$

در زمان عیب باید شینه ۴ را به زمین اتصال کوتاه کرد. پس سطروستون ۴ جدول ۴-۱۴، حذف می‌شوند زیرا گره ۴ و گره مرجع یکی است. معادله (۳۵-۷)، سطروستون جدید ۴ را (گره ۵) حذف می‌کند تا ماتریس ادمیتانس شبکه اتصالی کرده را به صورت نیمة بالای جدول ۴-۵ کاوش دهد.  $\mathbf{Y}_{bus}$  سیستم معیوب نشان می‌دهد که در زمان عیب، شبکه ۱ از شبکه‌های دیگر جدا می‌شود و شبکه ۲ مستقیماً به شبکه ۳ وصل می‌شود. این امر حاکی از آن است که اتصال کوتاه در شبکه ۴، توان تزریقی ژنراتور ۱ به سیستم را به صفر می‌رساند و سبب می‌شود که ژنراتور ۲ توانش را به طور شعاعی به شبکه ۳ تحويل دهد. با کمک مقادیر جدول ۴-۵، معادله‌های

جدول ۴-۵ عنصرهای ماتریس‌های ادمیتانس شبکه در زمان اتصالی و پس از آن در مثال ۹-۱۴ (ادمیتانسها به دریلک اند).

شبکه اتصالی کرده			
۳	۲	۱	شبکه
$0 + j0$	$0 + j0$	$0 - j1102360$	۱
$-j50681 + j1661$	$-j622737$	$+j0 + j0$	۲
$(501665 / 9057552)$	$(602752 / -8807563^\circ)$		
$-j3506299$	$-j50681 + j0 + j0$	$-j0 + j0$	۳
$(3600987 / -8057564)$	$(501665 / 9057552^\circ)$		

شبکه پس از عیب			
۱	۲	۳	
$-j707897$	$-j8058 / -8603237^\circ$	$-j2216 + j706291$	۱
$(706323 / 9106638^\circ)$		$-j62216 + j706291$	
$-j60901 + j60975$	$-j1189 / -8805101^\circ$	$-j0 + j0$	۲
$(60982 / 9058466^\circ)$		$-j0 + j0$	
$-j1308728$	$-j60975$	$-j706291$	۳
$(1309426 / -8402672)$	$(60982 / 9058466^\circ)$	$(706323 / 9106638^\circ)$	

توان-زاویه به در-یک چنین به دست می‌آیند.

$$P_{e1} = 0$$

$$\begin{aligned} P_{e2} &= |E_2'|^2 G_{22} + |E_2'| |E_2| |Y_{22}| \cos(\delta_{22} - \theta_{22}) \\ &= (11065)^2 + (11065)(110) \cos(11362^\circ - 11665^\circ) \\ &= 11545 + 55023 \sin(11545^\circ - 11755^\circ) \end{aligned}$$

بنا بر این مادامی که عیب در سیستم باقی است معادله‌های تابخورد مورد نظر (مقادیر  $P_{m1}$  و  $P_{m2}$  از جدول ۳-۱۴ گرفته می‌شوند) عبارت اند از:

$$\frac{d\delta_1}{dt} = \frac{180f}{H_1}(P_{m1} - P_{e1}) = \frac{180f}{H_1} P_{e1}$$

$$= \frac{180f}{1102} (325) \text{ elec deg/s}$$

$$\frac{d\delta_2}{dt} = \frac{180f}{H_2}(P_{m2} - P_{e2}) = \frac{180f}{H_2} P_{e2}$$

$$= \frac{180f}{1100} \left\{ \underbrace{1185}_{P_m} - \underbrace{[11545 + 55023 \sin(11545^\circ - 11755^\circ)]}_{P_c} \right\}$$

$$\square = \frac{180f}{1100} \left[ \underbrace{116955}_{P_m - P_c} - \underbrace{55023 \sin(11545^\circ - 11755^\circ)}_{\gamma} \right] \text{ elec deg/s}$$

مثال ۱۵-۱۴ در مثال ۱۴-۹، باز شدن همزمان مدار شبکهای سرخط اتصالی کرده، اتصالی سه‌فاز را حذف می‌کند. معادله‌های تابخورد را در زمان پس از عیب تعیین کنید.  
 حل: وقتی با قطع خط ۴-۵، اتصالی حذف می‌شود، باید  $\mathbf{Y}_{bus}$  پیش از اتصالی در جدول ۱۴-۴ دوباره تغییر کند. این عمل با صفر کردن  $Y_{45}$  و  $Y_{54}$  و تغییر ادمیتانسهای متواالی خط ۴-۵ و سوسپتانسهای خازنی نصف خط از عصرهای  $Y_{44}$  و  $Y_{55}$  جدول ۱۴-۱۴ انجام می‌شود. نیمة پایینی جدول ۱۴-۵، ماتریس کاهش یافته ادمیتانسهای شینه مر بوط به شبکه پس از اتصالی را نشان می‌دهد. اینه یک عنصر صفر در سطرهای اول و دوم ظاهر می‌شود و حاکی از آن است که با قطع خط ۴-۵، ژنراتورها از هم جدا می‌شوند. در نتیجه، هر ژنراتور به طور شعاعی به شینه پی نهایت وصل می‌شود. بنا بر این معادله‌های در-یکی توان-زاویه وضعیت پس از اتصالی عبارت اند از:

$$\begin{aligned}
 P_{e1} &= |E'_1|^2 G_{11} + |E'_1| |E_2| |Y_{12}| \cos(\delta_{13} - \theta_{12}) \\
 &= (1100)^2 (0.5005) + (1100)(110) (776323) \cos(\delta_1 - 91.664^\circ) \\
 &= 0.6056 + 8.3955 \sin(\delta_1 - 116.64^\circ)
 \end{aligned}$$

$$\begin{aligned}
 P_{e2} &= |E'_2|^2 G_{22} + |E'_2| |E_1| |Y_{21}| \cos(\delta_{23} - \theta_{21}) \\
 &= (1065)^2 (0.1591) + (1065)(110) (6.0982) \cos(\delta_2 - 90.847^\circ) \\
 &= 0.1804 + 6.4934 \sin(\delta_2 - 90.847^\circ)
 \end{aligned}$$

معادله‌های تابخورد در زمان پس از اتصالی نیز عبارت‌اند از:

$$\begin{aligned}
 \frac{d\delta_1}{dt} &= \frac{180f}{1102} \{ 3.5 - [0.6056 + 8.3955 \sin(\delta_1 - 116.64^\circ)] \} \\
 &= \frac{180f}{1102} [2.8924 - 8.3955 \sin(\delta_1 - 116.64^\circ)] \text{ elec deg/s}
 \end{aligned}$$

$$\begin{aligned}
 \frac{d\delta_2}{dt} &= \frac{180f}{8.0} \{ 1.85 - [0.1804 + 6.4934 \sin(\delta_2 - 90.847^\circ)] \} \\
 &= \frac{180f}{8.0} [1.6696 - 6.4934 \sin(\delta_2 - 90.847^\circ)] \text{ elec deg/s}
 \end{aligned}$$

هر کدام از معادله‌های توان-زاویه به دست آمده در این مثال و مثال ۱۴ با معالله (۳۵-۱۲) هم‌شکل است. معادله تابخورد حاصل در هر حالت به شکل زیر است:

$$\frac{d\delta}{dt} = \frac{180f}{H} [P_m - P_c - P_{\max} \sin(\delta - \gamma)] \quad (78-14)$$

که در آن کوشش طرف راست، توان شنا بانده دوتور را نمایش می‌دهد. در نتیجه ممکن است معادله را به صورت زیر بنویسیم:

$$\frac{d\delta}{dt} = \frac{180f}{H} P_a \text{ elec deg/s} \quad (79-14)$$

که در آن

$$P_a = P_m - P_c - P_{\max} \sin(\delta - \gamma) \quad (80-14)$$

در بخش بعد، نحوه حل معادلهایی به شکل معادله (۱۴-۷۹) را بررسی می‌کنیم و به ازای زمانهای حذف اتصالی مشخص،  $\delta$  را بر حسب زمان به دست می‌آوریم.

### ۹-۱۴ حل گام به گام منحنی تابخورد

در سیستمهای بزرگ، از کامپیوترها یی که  $\delta$  همه ماشینهای مورد نظر را بر حسب  $\theta$  تعیین کنند بهره می‌گیریم زیرا برای به دست آوردن منحنی تابخورد هر ماشین باید  $\delta$  بر حسب  $\theta$  رسم شود. زاویه  $\delta$  را به عنوان تابع زمان در زمانی نسبتاً طولانی محاسبه می‌کنیم تا تعیین کنیم که آیا  $\delta$  بی حد زیاد می‌شود یا آنکه پس از رسیدن به یک ماکزیمم شروع به کاهش می‌کند. هر چند نتیجه اخیر معمولاً نشانه پایداری است، در یک سیستم واقعی که چندین متغیر در آن دخالت دارند برای اطمینان از زیاد نشدن دوباره  $\delta$ ، بدون رسیدن به یک مقدار پایین، ممکن است لازم باشد  $\delta$  را در یک زمان نسبتاً طولانی بر حسب زمان رسم کنیم.

با تعیین منحنیهای تابخورد به ازای زمانهای مختلف حذف اتصالی می‌توان انداره زمان مجاز پیش از حذف اتصالی را تعیین کرد. زمانهای استاندارد قطع مدارشکنها و رلهای هر بوت. به آنها معمولاً  $3, 5, 8$  یا  $2$  سیکل پس از وقوع اتصالی است و بدینسان، سرعت مدارشکنها تعیین می‌شود. محاسبات را باید در دو حالت زیر انجام داد:

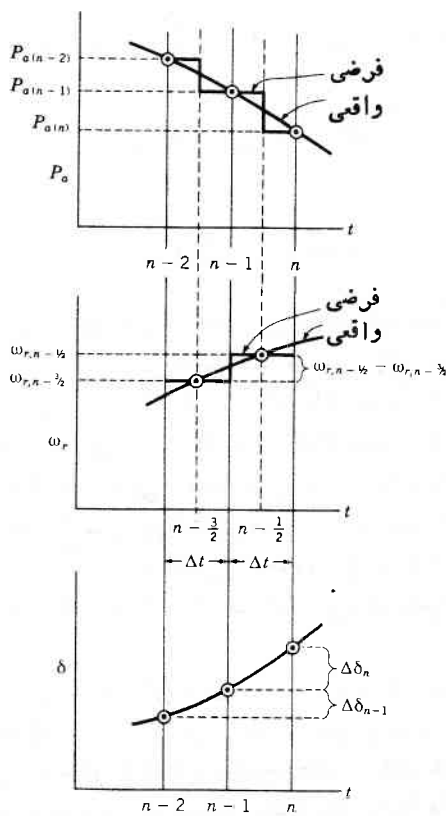
(۱) برای موقعیت اتصالی که حداقل توان ماشین را انتقال می‌دهد؛ (۲) برای حادترین اتصالی که در مقابل از دست رفتن پایداری از آن حفاظت می‌شود.

در محاسبات گام به گام نوچری متغیرهای مستقل، برای حل عددی معادلهای دیفرانسیل مرتبه دوم، چندروش مختلف وجود دارد. روشهای پرتوح محاسبه، تنها به کملک کامپیوتر می‌تواند اجرا شود. روش گام به گام که در محاسبات دستی به کار می‌رود ضرورتاً از روشهای کامپیوتری ساده‌تر است. در روش محاسبه دستی تغییر وضع زاویه‌ای روتور در یک فاصله زمانی کوتاه به کملک فرضهای زیر حساب می‌شود.

۱. توان شتابانندۀ محاسبه شده در ابتدای فاصله زمانی  $P_0$ ، از نیمة فاصله قبلی تا نیمة فاصله فعلی، ثابت است.

۲. سرعت زاویه‌ای در سراسر هر فاصله زمانی، ثابت و بر این مقدار محاسبه شده در نیمة فاصله است. البته هیچ یک از این فرضها درست نیست زیرا  $\delta$  پیوسته تغییر می‌کند و  $P_0$  هردو تابع  $\delta$  هستند. هر قدر فاصله زمانی کوچکتر شود منحنی تابخورد محاسبه شده به منحنی واقعی نزدیکتر می‌شود.

شکل ۱۴-۱۴ به تصور این فرضها کملک خواهد کرد. توان شتابانده را به ازای نقطه‌های داخل دایره‌های واقع در انتهای فاصله‌های  $n-1, n, n+1$  و  $n+2$  که ابتدای فاصله‌های  $1-n, n, n+1$  و  $n+2$  هر دو محسوبه می‌کنیم. در شکل ۱۴-۱۴، منحنی پله‌ای  $P_0$  از فرض ثابت بودن  $P_0$  بین نقطه‌های میانی فاصله‌ها، به دست می‌آید. همچنین  $\delta$  را که تجاوز سرعت زاویه‌ای  $\omega$  از سرعت زاویه‌ای سنکرون  $\omega_0$  است به صورت یک منحنی



شکل ۱۴-۱۴ تغییرات مقدارهای واقعی و فرضی  $P_a$ ,  $\omega_r$ ، و  $\delta$  در برابر زمان.

پله‌ای، که در سراسر فاصله ثابت و بر ابر مقدار محاسبه شده در نیمه فاصله است، نشان می‌دهیم. توان شتابانده ثابت، سرعت روتور را بین عرضهای  $n - \frac{3}{2}$  و  $n - \frac{1}{2}$  تغییر می‌دهد. تغییر سرعت بر اثر حاصل ضرب شتاب در فاصله زمانی است و بنابراین:

$$\omega_{r, n - 1/2} - \omega_{r, n - 3/2} = \frac{d^2\delta}{dt^2} \Delta t = \frac{180f}{H} P_{a, n - 1} \Delta t \quad (81-14)$$

تغییر  $\delta$  در هر فاصله بر اثر حاصل ضرب  $\omega_r$  مربوط به فاصله در زمان فاصله است. به این ترتیب تغییر  $\delta$  طی فاصله  $1 - n$  عبارت است از:

$$\Delta\delta_{n-1} = \delta_{n-1} - \delta_{n-2} = \Delta t \omega_{r, n - 3/2} \quad (82-14)$$

و طی فاصله  $n$  ام:

$$\Delta\delta_n = \delta_n - \delta_{n-1} = \Delta t \omega_{r, n - 1/2} \quad (83-14)$$

با تغییر معادله (۸۴-۱۴) از (۸۳-۱۴) و گذاشتن معادله (۸۱-۱۴) در معادله حاصل و حذف همه مقدارهای  $\omega$ ، داریم:

$$\Delta\delta_n = \Delta\delta_{n-1} + k P_{a,n-1} \quad (84-14)$$

که در آن

$$k = \frac{180f}{H} (\Delta t)^2 \quad (85-14)$$

معادله (۸۴-۱۴) در حل معادله تابخورد به روش گام-به-گام همراه با فرضهای ضروری قبلی مهم است. زیرا نحوه محاسبه تغییر  $\delta$  را در یک فاصله، در صورت مشخص بودن تغییر  $\delta$  در فاصله قبلی و مشخص بودن توان شتابانده در فاصله فعلی، نشان می‌دهد. معادله (۸۴-۱۴) براساس فرضهای قبل بیان می‌کند که تغییر زاویه گشتاور طی یک فاصله معین، برابر تغییر زاویه گشتاور طی فاصله پیشین به اضافه توان شتابانده در ابتدای فاصله ضر بدر  $k$  است. توان شتابانده را در ابتدای هر فاصله جدید محاسبه می‌کنند. برای بدست آوردن نقاط لازم برای رسم منحنی تابخورد، حل را تا تعداد کافی فاصله‌ها ادامه می‌دهیم. با کاهش مدت فاصله‌ها، دقت افزایش می‌یابد. معمولاً فاصله ۵۰ ره ثانیه‌ای مناسب است.

وقوع اتصالی باعث ناپیوستگی توان شتابانده می‌شود زیرا  $P$  پیش از اتصالی صفر است و بلا فاصله پس از اتصالی برابر مقدار معینی می‌شود. ناپیوستگی در ابتدای فاصله،  $\delta = 0$ ، رخ می‌دهد. شکل ۱۴-۱۲ نشان می‌دهد که روش محاسبه بر مبنای این فرض است که توان شتابانده می‌حاصله شده در ابتدای یک فاصله از نیمه فاصله پیشین تانیمة فاصله مورد نظر، ثابت است. در هنگام وقوع اتصالی،  $P$  در ابتدای فاصله دارای دو مقدار است و میانگین این دو مقدار را به عنوان توان شتابانده ثابت در نظر می‌گیریم. مثال زیر این روند را نمایش می‌دهد.

مثال ۱۴-۱۱ جدولی را برای نمایش مرحله لازم برای رسم منحنی تابخورد ماشین ۲، به ازای اتصالی در سیستم  $60 \text{ MVA}$  در  $f = 50 \text{ Hz}$  می‌نماییم. مدار شکنها واقع در سرها خط اتصالی کرده، اتصالی را ظرف  $225 \text{ ره}$  ثانیه به طور همزمان حذف می‌کنند.

حل: بدون از دست دادن عمومیت، محاسبات تفصیلی را برای ماشین ۲ می‌آوریم. محاسبات رسم منحنی تابخورد ماشین ۱ را به عهده خواهند می‌گذاریم. درنتیجه زیرنویس ۲ را که معرف شماره ماشین است از همه نمادهای زیر حذف می‌کنیم. همه محاسبات بر حسب دریک و مبنای  $MVA = 100$  انجام شده است. به ازای فاصله زمانی  $5 \text{ ره} = \Delta t$  ثانیه، پارامتر  $k$  برای ماشین ۲ برابر است با:

$$k = \frac{180f}{H} (\Delta t)^2 = \frac{180 \times 60}{800} \times 25 \times 10^{-4} = 35375 \text{ elec deg}$$

وقتی در  $\delta = 0^\circ$ ، اتصالی رخ می‌دهد زاویه روتور ماشین ۲ نمی‌تواند فوراً تغییر کند. از این رو، از مثال ۹-۱۴ داریم:

$$\delta_0 = 16^{\circ} 19'$$

و در زمان اتصالی

$$P_e = 0.1545 + 5.5023 \sin(\delta - 0^\circ 755^\circ)$$

بنابراین، چنانکه پیشتر در مثال ۹-۱۴ دیدیم:

$$P_a = P_m - P_e = 1.6955 - 5.5023 \sin(\delta - 0^\circ 755^\circ)$$

در ابتدای فاصله اول، توان شتابانندۀ هرماشین، نسبیوسته است: درست پیش از وقوع اتصالی،  $P_a$  صفر است و درست پس از وقوع اتصالی:

$$P_a = 0.231 = 0.755^\circ (16^{\circ} 19' - 0^\circ 755^\circ)$$

مقدار میانگین  $P_a$  در  $t = 0$  برابر  $P_{av} = 0.1155 \text{ pu}$  است. پس داریم:

$$kP_a = 3.375 \times 0.1155 = 0.3898^\circ$$

و در نتیجه، در زمان فاصله اول یعنی از  $0^\circ$  تا  $\Delta\delta_1$ ، تغییر زاویه روتور ماشین ۲ برابر است با:

$$\Delta\delta_1 = 0.3898^\circ$$

که در آن زیرنویس عددی، فاصله را مشخص می‌کند. بنابراین در انتهای فاصله زمانی اول:

$$\delta_1 = \delta_0 + \Delta\delta_1 = 16^{\circ} 19' + 0.3898^\circ = 16^{\circ} 57.98^\circ$$

و

$$\delta_1 - \gamma = 16^{\circ} 57.98^\circ - 0^\circ 755^\circ = 15^{\circ} 82.48^\circ$$

پس، در  $0.5 \text{ s}$  ثانیه داریم:

$$kP_{a,1} = 3.375 [(P_m - P_e) - P_{max} \sin(\delta_1 - \gamma)]$$

$$= 3.375 [1.6955 - 5.5023 \sin(15^{\circ} 82.48^\circ)] = 0.6583^\circ$$

در نتیجه، افزایش زاویه روتور در فاصله زمانی دوم برابر است با:

$$\Delta\delta_2 = \Delta\delta_1 + kP_{a,1} = 0.3898^\circ + 0.6583^\circ = 1.0481^\circ$$

لذا در انتهای فاصله زمانی دوم:

$$\delta_2 = \delta_1 + \Delta\delta_2 = 16^{\circ} 57.98^\circ + 1.0481^\circ = 17^{\circ} 62.79^\circ$$

جدول ۱۳-۶، مراحل بعدی محاسبات را نشان می‌دهد. یادآور می‌شود که به معادله پس از اتصالی که در مثال ۱۵-۱۴ به دست آوردیم نیاز داریم: در جدول ۱۴-۶، مقدار جمله‌های  $(\delta - \gamma) P_n P_{n+1} \sin(\delta_n - \gamma)$  در زمان ذکر شده درستون اول،  $\Delta \delta_n$  محسوبه شده‌اند اما  $\Delta \delta_n$  تغییر زاویه رotor طی فاصله‌ای است که زمان

جدول ۱۴-۶ محاسبه منحنی تابخورد ماشین ۲ مثال ۱۱-۱ به ازای زمان حذف ۲۲۵ ره ثانیه.  $P_n - P_{n+1} = ۱۶۹۵۵ \text{ pu}$  قبیل از حذف  $k = (180f/H)(\Delta t)^3 = ۳۷۵ \text{ elec deg}$ . این مقادیر به ترتیب برابر  $\gamma = ۵۷۵۵^\circ$ ,  $P_{max} = ۵۵۰۲۳ \text{ pu}$ ,  $\Delta \delta_n = ۰.۸۴۷$ ,  $\delta_n = ۱۶۶۹۶$  می‌شوند.

$t, \text{s}$	$\delta_n - \gamma$ elec deg	$P_{max} \sin(\delta_n - \gamma)$ per unit	$P_n$ , per unit	$kP_{n,n-1}$ , elec deg	$\Delta \delta_n$ elec deg	$\delta_n$ , elec deg
0-	.....	.....	0.00	.....	.....	16.19
0+	15.435	1.4644	0.2310	.....	.....	16.19
0 av	.....	.....	0.1155	0.3898	.....	16.19
0.05	15.8248	1.5005	0.1950	0.6583	0.3898	16.5798
0.10	16.8729	1.5970	0.0985	0.3323	1.0481	17.6279
0.15	18.2533	1.7234	-0.0279	-0.0942	1.3804	19.0083
0.20	19.5395	1.8403	-0.1448	-0.4886	1.2862	20.2945
0.25	20.2451	2.2470	-0.5774	-1.9487	0.7976	21.0921
0.30	19.0940	2.1241	-0.4545	-1.534	-1.1511	19.9410
0.35	16.4088	1.8343	-0.1647	-0.5559	-2.6852	17.2558
0.40	13.1678	1.4792	0.1904	0.6425	-3.2410	14.0148
0.45	10.5693	1.1911	0.4785	1.6151	-2.5985	11.4163
0.50	9.5860	1.0813	0.5883	1.9854	-0.9833	10.4330
0.55	10.5880	1.1931	0.4765	1.6081	1.0020	11.4350
0.60	13.1981	1.4826	0.1870	0.6312	2.6101	14.0451
0.65	16.4395	1.8376	-0.1680	-0.5672	3.2414	17.2865
0.70	19.1137	2.1262	-0.4566	-1.5411	2.6742	19.9607
0.75	20.2468	2.2471	-0.5775	-1.9492	1.1331	21.0938
0.80	19.4307	2.1601	-0.4905	-1.6556	-0.8161	20.2777
0.85	.....	.....	.....	.....	-2.4716	17.8061

شروعش ذکر شده است. برای مثال، درستون  $t = 0$  ثانیه، اولین زاویه  $176^\circ$  را با افروزدن تغییر زاویه در فاصله زمانی قبلی ( $t = 0$  تا  $t = 0.05$  ثانیه) به مقدار زاویه در  $\theta = 0$  ثانیه، محاسبه کردایم. پس از آن،  $P_{\max} \sin(\delta - \gamma)$  را برابر بازای  $176^\circ$  حساب کردایم. سپس،  $(P_m - P_c) - P_{\max} \sin(\delta - \gamma)$  و  $kP_c$  را به دست آورده‌ایم. تغییر زاویه‌ای  $1^\circ$  در ابتدای فاصله با  $t = 0$  ثانیه برابر مجموع مقدارهای  $kP_c$  ( $0.05^\circ$ ) و تغییر زاویه‌ای در فاصله قبلی یعنی  $1^\circ$  است. این مقدار به اضافه  $176^\circ$ ، مقدار  $190^\circ$  را در  $t = 0.05$  ثانیه می‌دهد. دیده می‌شود که با حذف اتصالی در  $P_m - P_c$  در لحظه  $t = 0.05$  مقدار  $P_c$  در ابتدای  $t = 0$  تغییر کرده است. زاویه  $\gamma$  نیز از  $75.5^\circ$  تا  $84.7^\circ$  تغییر کرده است.  $\square$

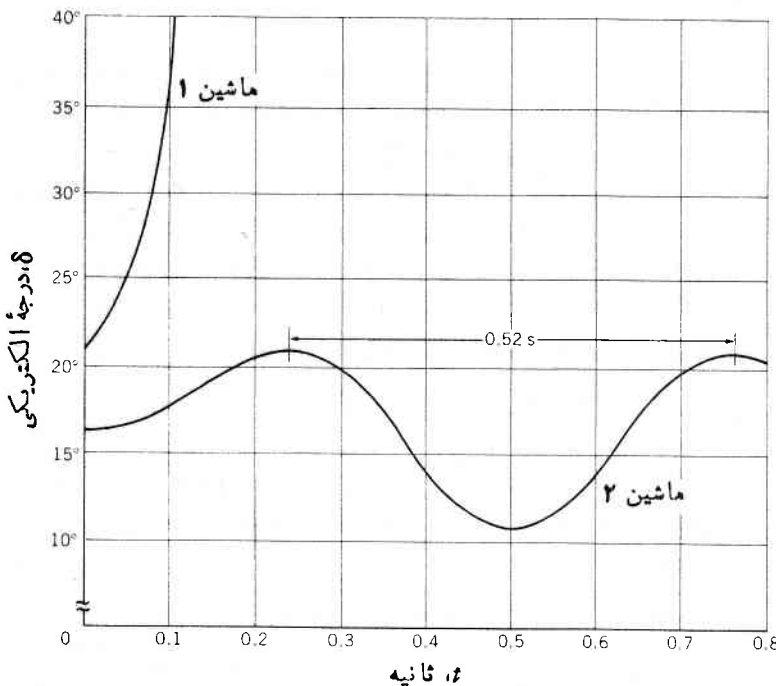
هرگاه که یک اتصالی حذف می‌شود یک ناپیوستگی در توان شنا بازنده رخ می‌دهد. اگر زمان حذف، مانند حالت محاسبات جدول ۱۴-۶، برای  $t = 0.05$  باشد به هیچ شیوه‌خاصی تیاز نیست زیرا در این روش، فرض می‌شود که ناپیوستگی در نیمه فاصله است. مقدار ثابت مفروض  $P$  در ابتدای فاصله پس از حذف، برای مقدار تعیین شده برای  $0.05$  در ابتدای فاصله پس از حذف است.

وقتی حذف در ابتدای یک فاصله مثلا در سیکل سوم ( $0.05$  ثانیه) است دو عبارت توان خروجی ژنراتور در ابتدای فاصله، (یکی در زمان اتصالی و دیگری پس از اتصالی) دو مقدار توان شنا بازنده را ایجاد می‌کنند. اگر در سیستم مثال ۱۴-۶، ناپیوستگی لحظه  $t = 0.05$  رخ دهد میانگین این دو مقدار، مساوی مقدار ثابت  $P$ ، از  $0.05$  تا  $0.05$  ره، فرض می‌شود و این همان روش به کار رفته در جدول ۱۴-۶ به ازای رویداد اتصالی در  $t = 0$  است.

به همان روشی که در جدول ۱۴-۶ به کار بردهم می‌توانیم  $0.05$  در برای  $t = 0$  برای ماشین ۱ به ازای زمان حذف  $0.05$  و برای هر دو ماشین به ازای زمان حذف  $0.05$  تعیین کنیم. در بخش بعد، برونو-نوشنه کامپیوترا  $0.05$  در برای  $t = 0$  برای هر دو ماشین که به ازای زمان حذفهای  $0.05$  و  $0.05$  ثانیه محاسبه شده‌اند، خواهیم دید. شکل ۱۴-۱۵، منحنیهای تابخورد دو ماشین را به ازای زمان حذف  $0.05$  ثانیه نشان می‌دهد. بدیهی است که در این حالت، ماشین ۱ ناپایدار است.

منحنیهای تابخورد به ازای زمان حذف  $0.05$  ثانیه نشان دهنده پایداری سیستم خواهند بود. از آنجا که خروجی ماشین ناپایدار، در زمان اتصالی، صفر است می‌توان با حل مسئله ۱۴-۱۶، به روش معیار مساحتی مساوی، زمان بحرانی حذف واقعی را که بین  $0.05$  و  $0.05$  ثانیه است پیدا کرد.

منحنیهای تابخورد شکل ۱۴-۱۵ نشان می‌دهند که حتی اگر حذف تا  $0.05$  سیکل پس از آغاز اتصالی، صورت نگیرد تغییر زاویه رونور ماشین ۲ بسیار کوچک است. در نتیجه، محاسبه فرکانس تقریبی نوسان روتور، برپایه روش خطی سازی شرح داده شده در



شکل ۱۵-۱۶ منحنیهای تابخورد ماشینهای ۱ و ۲ در مثالهای ۹-۱۴ تا ۱۱-۱۶ به ازای زمان حذف ۰.۲۵ ر د ثانیه.

بخش ۱۴-۵، جالب خواهد بود. همگر توان همزمان ساز ماشین ۲ که از معادله توان-زاویه پس از عیب محاسبه شده است برابر است با:

$$\begin{aligned} S_P &= \frac{dP_e}{d\delta} = \frac{d}{d\delta} [0.1804 + 6.4934 \sin(\delta - 0.0847^\circ)] \\ &= 6.4934 \cos(\delta - 0.0847^\circ) \end{aligned}$$

دیده می‌شود که برای ماشین ۲، زاویه  $\delta$  به ازای نقطه‌های محاسبه شده در جدول ۱۴-۶، بین  $105.43^\circ$  و  $215.09^\circ$  تغییر می‌کند. استفاده از این یا آن زاویه، نفاوت جزئی در مقدار  $S_P$  ایجاد می‌کند. اگر از مقدار میانگین  $157.6^\circ$  استفاده کنیم، داریم:

$$S_P = 6.4934 \text{ elec rad/توان در-یکی}$$

و به کمل معادله (۱۴-۵۰)، فرکانس نوسان برابر است با:

$$f_s = \frac{1}{2\pi} \sqrt{\frac{377 \times 6.4934}{2 \times 8}} = 1.935 \text{ Hz}$$

و دوره نوسان برابر است با:

$$T = \frac{1}{1.935} = 0.517\text{ s}$$

بررسی شکل ۱۴-۱۵ یا جدول ۱۴-۶ درستی محاسبات مربوط به ماشین ۲ را، وقتی زمان اتصالی ۲۲۵ ره ثانیه است، تأیید می‌کند. برای زمانهای کمتر اتصالی می‌توان نتایج مشابهی انتظار داشت زیرا متناظرآزاویه تابخورد روتور کوچکتر است. در مثالهای بالا، به علت محل در نظر گرفته عیب، امکان محاسبه جداگانه منحنیهای تابخورد هر ماشین وجود دارد. وقتی برای عیب، محلهای دیگر انتخاب شود دو ژنراتور نسبت به هم نوسان می‌کنند زیرا دو ماشین به هم وصل آند. محاسبات منحنی تابخورد پیچیده‌تر می‌شود. در چنین حالتها باید باید از محاسبات وقت گیرdestی پرهیز کرد. عموماً باید از برنامه‌های کامپیوترویی که انعطاف زیادی دارند بهره جست.

### ۱۰-۱۴ برنامه‌های کامپیوترویی برای بررسیهای پایداری حالت گذرا

برنامه‌های امروزی کامپیوترویی برای بررسیهای پایداری حالت گذرا ناشی از دو نیاز اساسی‌اند: (الف) ضرورت بررسی سیستمهای بسیار بزرگ بهم پیوسته دارای ماشینهای زیاد و (ب) نیاز به مدل‌های مفصل تر برای نمایش ماشینهای سیستمهای کنترل اشان. در سیاری از بررسیها نمایش کلاسیک ماشین مناسب است. اما ممکن است برای نمایش آلترا تورهای توربینی امروزی، که مشخصه‌های دینامیکی آنها را پیش‌رفتهای طراحی فنی ماشین و سیستمهای کنترل تعیین می‌کند به مدل‌های مفصل تری نیاز باشد. مدل استفاده شده در بررسیهای کلاسیک پایداری، ساده‌ترین مدل ممکن ماشین همزمان است. در مدل‌های دو محوری بسیار پیچیده‌تر پس از اختلال در سیستم، در زمان زیر گذرا و گذرا از شارمحور طولی و عرضی استفاده می‌شود. برای مثال اگر مدل ماشین، تغییر حلقه زنندهای شار سیم پیچ تحریک را در محور طولی دقیقاً تعیین نکند امکان نمایش عملکرد تنظیم کننده خودکار ولتاژ و سیستم تحریک که دائم در مدارند و همه ماشینهای امروزی به آنها مجهز ند، وجود ندارد. مشخصه‌های پاسخ دینامیک سیستمهای کنترل توربین که تو ان مکانیکی ورودی واحد تولیدی را به طور خودکار فرمان می‌دهند نیز بر پویایی روتور اثر می‌گذارند. اگر بخواهیم این طرحواره‌های کنترل را نیز نمایش دهیم باید به مدل واحد تولیدی بیشتر تفصیل بدهیم. هرچه مدل زنر اتور به مدل تعداد معادله‌های دیفرانسیل و جبری هر ماشین بیشتر می‌شود. در بررسی سیستمهای بزرگ، تعداد بسیار زیادی معادله جبری نیز عملکرد سیستم انتقال گسترده‌ای را نمایش می‌دهند که ژنراتورهای زیاد به هم پیوسته، و مراکز بسیار پراکنده بار را به هم پیوند می‌دهند. بنابراین برای هر فاصله زمانی پس از وقوع اختلال در سیستم، باید دو دسته معادله را به طور همزمان حل کرد. دسته اول، شامل معادله‌های جبری رفتار حالت مسائی شبکه و بارهایش و معادله‌های جبری ربط دهنده،

و  $E'$  ماشینهای سنکرون است. دسته دیگر، شامل معادله‌های دیفرانسیلی است که عملکرد دینامیک ماشینها و سیستمهای کنترل مربوط به آنها را توصیف می‌کنند.

روش پخش بار نیوتون-رافسون<sup>\*</sup> توصیف شده در فصل ۸، احتمالاً معمول‌ترین شیوه حل معادله‌های شبکه است. برای انتگرالگیری عددی معادله‌های دیفرانسیل ممکن است هر یک از چند روش مشهور گام-به-گام را انتخاب کنیم. در برنامه‌های پایداری حالت گذراي تولید نوعی، اغلب از روش مرتبه چهارم رانگ-کوتا<sup>\*\*</sup> استفاده می‌کنیم. روش‌های دیگر، عبارت‌اند از: روش اولر<sup>\*\*\*</sup>، روش اولر اصلاح شده، روش ذوزنقه‌ای، روش‌های پیش‌بینی کننده - تصحیح کننده نظر روش گام-به-گام ارائه شده در بخش ۹-۱۴ هر کدام از این روش‌ها از لحظه پایداری عددی، اندازه گام زمانی، مقدار محاسبات در هر مرحله انتگرالگیری و دقت پاسخهای به دست آمده مزایا و معایب دارند.

جدول ۷-۱۴، برون-نوشتہ کامپیوتر را برای رسم منحنیهای تابخورد ماشینهای ۱ و ۲ مثال ۱۱-۱۴ نشان می‌دهد. زمانهای حذف با استفاده از برنامه پایداری تولید نوعی، که برنامه پخش بار نیوتون-رافسون را با روش مرتبه چهارم رانگ-کوتا تلفیق می‌کند، عبارت انداز ۲۲۵ ره و ۵۵ ره ثانیه. جالب است که تزدیکی مقدارهای محاسبه دستی جدول ۱۴-۶ را با مقدارهای که در جدول ۷-۱۴ به ازای زمان حذف ۲۲۵ ره ثانیه برای ماشین ۲ به دست آمده‌اند، مقایسه کنیم.

فرض ثابت یودن ادمیتانس بارها به ما اجازه داد این ادمیتانسها را در  $\dot{Y}_{bus}$  بگذاریم و این امر وقتی پاسخهای دقیقتری با استفاده از محاسبه‌های رانگ-کوتا مطلوب‌اند، از محاسبه‌های پخش بار موردنیاز جلوگیری می‌کند زیرا مرتبه چهارم بودن روش رانگ-کوتا در هر گام زمانی، چهارم محاسبه بساوردی پخش بار را ایجاد می‌کند.

### ۱۱-۱۴ عاملهای مؤثر بر پایداری حالت گذرا

دو عاملی که می‌توانند معیار راهنمای پایداری نسیی یک واحد تولیدی در سیستم قدرت باشند عبارت‌اند از: تابخورد زاویه‌ای ماشین در زمان اتصالی و پس از آن، و زمان پھرانی حذف. از معادله‌هایی که در این فصل آورده‌یم آشکار است که ثابت  $H$  و رئکتانس گذراي واحد تولیدی  $'P$ ، براین دو معیار اثر مستقیم دارند.

بررسی معادله (۸۴-۱۴) و (۸۵-۱۴) نشان می‌دهد که در هر فاصله زمانی، هر قدر ثابت  $H$  کوچکتر باشد تابخورد زاویه‌ای بزرگتر می‌شود. از طرف دیگر، معادله (۳۶-۱۴) نشان می‌دهد که با افزایش رئکتانس گذراي ماشین،  $P_{max}$  کاهش می‌یابد زیرا رئکتانس

\* Newton-Raphson

\*\* Runge-Kutta

\*\*\* Euler

\*\*\*\* رجوع کنید به:

G. W. Stagg and A. H. El-Abiad, *Computer Methods in Power System Analysis* chaps. 9 and 10, McGraw - Hill Book Company, New York, 1968.

جدول ۷-۱۶ برونو-نوشتہ کامپیوتری منحنیهای تابخورد ماشینهای ۱ و ۲ در مثالهای ۹-۱۴ تا ۱۱-۱۴ به ازای حذف در ۰۲۲۵ و ۰۵۰ ده ثانیه.

حذف در ۰۲۲۵ ده ثانیه				حذف در ۰۵۰ ده ثانیه			
ماشین ۱	ماشین ۲	ماشین ۱	ماشین ۲	ماشین ۱	ماشین ۲	ماشین ۱	ماشین ۲
زمان	زاویه	زمان	زاویه	زمان	زاویه	زمان	زاویه
۰.۰۰	۲۰.۸	۱۶.۲	۰.۰۰	۲۰.۸	۱۶.۲	۰.۰۰	۲۰.۸
۰.۰۵	۲۵.۱	۱۶.۶	۰.۰۵	۲۵.۱	۱۶.۶	۰.۰۵	۲۵.۰
۰.۱۰	۳۷.۷	۱۷.۶	۰.۱۰	۳۲.۹	۱۷.۲	۰.۱۰	۳۷.۷
۰.۱۵	۵۸.۷	۱۹.۰	۰.۱۵	۳۷.۳	۱۷.۲	۰.۱۵	۵۸.۷
۰.۲۰	۸۸.۱	۲۰.۳	۰.۲۰	۳۶.۸	۱۶.۷	۰.۲۰	۸۸.۱
۰.۲۵	۱۲۳.۱	۲۰.۹	۰.۲۵	۳۱.۷	۱۵.۹	۰.۲۵	۱۲۳.۱
۰.۳۰	۱۵۱.۱	۱۹.۹	۰.۳۰	۲۳.۴	۱۵.۰	۰.۳۰	۱۵۱.۱
۰.۳۵	۱۷۵.۵	۱۷.۴	۰.۳۵	۱۴.۶	۱۴.۴	۰.۳۵	۱۷۵.۵
۰.۴۰	۲۰۵.۱	۱۴.۳	۰.۴۰	۸.۶	۱۴.۳	۰.۴۰	۲۰۵.۱
۰.۴۵	۲۴۹.۹	۱۱.۸	۰.۴۵	۶.۵	۱۴.۷	۰.۴۵	۲۴۹.۹
۰.۵۰	۳۱۹.۳	۱۰.۷	۰.۵۰	۱۰.۱	۱۵.۶	۰.۵۰	۳۱۹.۳
۰.۵۵	۴۰۷.۰	۱۱.۴	۰.۵۵	۱۷.۷	۱۶.۴	۰.۵۵	۴۰۷.۰
۰.۶۰	۴۸۹.۹	۱۳.۷	۰.۶۰	۲۶.۶	۱۷.۱	۰.۶۰	۴۸۹.۹
۰.۶۵	۵۶۶.۰	۱۶.۸	۰.۶۵	۳۴.۰	۱۷.۲	۰.۶۵	۵۶۶.۰
۰.۷۰	۶۵۶.۴	۱۹.۴	۰.۷۰	۳۷.۶	۱۶.۸	۰.۷۰	۶۵۶.۴
۰.۷۵	۷۶۷.۷	۲۰.۸	۰.۷۵	۳۶.۲	۱۶.۰	۰.۷۵	۷۶۷.۷

گذرا قسمتی از کل رئکتانس متواالی سیستم را تشکیل می‌دهد که برای عکس ادبیاتس انتقالی است. بررسی شکل ۱۱-۱۴ نشان می‌دهد که با کاهش  $P_{max}$ ، هر سه منحنی قدرت، پایین تر می‌آیند. در نتیجه به ازای توان محور معین  $P_m$ ؛ زاویه ابتدایی روتور،  $\delta$ ؛ افزایش  $\delta_{max}$  کاهش می‌یابد و به ازای  $P_{max}$  کوچکتر؛ اختلاف  $\delta$  و  $\delta_{max}$  کمتر می‌شود. نتیجه نهایی آن است که کاهش  $P_{max}$ ، ماشین را مقید می‌کند که پیش از رسیدن به زاویه بحرانی حذف در زاویه کوچکتری، نسبت به وضعیت اولیه اش، تاب بخورد. لذا هر رویدادی که ثابت  $H$  را کاهش دهد و رئکتانس گذرای ماشین را زیاد کند زمان بحرانی حذف را کاهش می‌دهد و احتمال حفظ پایداری حالت گذرا را کم می‌کند. با افزایش مستمر ابعاد سیستمهای قدرت، متناظرًا به واحدهای تو لیدی پر ظرفیت تری نیاز داریم. این واحدهای بزرگتر باعث پشرفت سیستمهای خنک کنی شده‌اند که، بدون افزایش متناسب اندازه روتور، ظرفیتهای نامی را بیشتر می‌کنند در نتیجه، با کاهش ثابت‌های پایداری  $H$ ، پایداری واحد تو لیدی روبه کم شدن می‌گذارد در همان حال افزایش اندازه نامی، رئکتانسهای گذرا و سنکرون را افزایش می‌دهد و این امر کار طراحی سیستمهای پایدار و قابل اطمینان را بیشتر مطرح می‌کند.

خوبشخناه روشهای کنترل پایداری و طراحی سیستمهای انتقال نیز درجهت افزایش پایداری کل سیستم اند. طرحواره‌های کنترل، در برگیرنده اینهاست:

سیستمهای تحریک  
کنترل شیربخار توربین  
عملکرد تک‌قطیع مدارشکنها  
زمان حذف کوتاهتر اتصالی  
روشهای طراحی کاهش رئکتانس سیستم عبارت اند از:  
مینیمم کردن رئکتانس ترانسفورماتور  
جبران رئکتانس خطها با خازنهای متواالی  
افزودن خطها ای انتقال

وقتی یک اتصالی درسیستم رخ می‌دهد ولتاژ همه شینه‌ها کاهش می‌باشد. تنظیم کننده‌های خودکار ولتاژ، کاهش ولتاژ بین سرهای ژنراتورها را حس می‌کنند و با تغییر تحریک، ولتاژ را به حالت اول بازمی‌گردانند. تأثیر کلی سیستم تحریک، کاهش زاویهٔ تابخورد ابتدایی روتور دراثر اتصالی است. این کار را تقویت کننده‌های درجهت مستقیم تنظیم کننده‌های ولتاژ، با افزایش ولتاژ اعمال شده به سیم پیچ تحریک ژنراتور، انجام می‌دهند شار افزایش یافته شکاف هوایی، گشتاوری بازدارنده به روتور اعمال می‌کنند که حرکت روتور را کند می‌سازد. سیستمهای تحریک امروزی با استفاده از کنترل‌لهای تیریستوری، سریعاً به کاهش ولتاژ شینه پاسخ می‌دهند و می‌توانند زمان بحرانی حذف اتصالیهای سه‌فاز در طرف شینه فشار قوی ترانسفورماتور فزاینده ولتاژ ژنراتور را از نیم تا یک و نیم سیکل افزایش دهند.

سیستمهای امروزی فرماندهی الکتروهیدرولیکی توربین قادرند با بستن شیر بخار توربین، شتاب آن واحد را در زمان اتصالیهای حاد تزدیک آن واحد، کاهش دهند. عملکرد کنترل به محض مشاهده اختلاف بین توان مکانیکی ورودی و توان الکتریکی اخراجی، شروع به بستن شیر بخار می‌کند تا توان ورودی کاهش یابد. این می‌تواند زمان بحرانی حذف را یک تا دوسیکل افزایش دهد.

کاهش رئکتانس سیستم در زمان اتصالی،  $P_{max}$  را افزایش و مساحت بر شافت را در شکل ۱۱-۱۲ کاهش می‌دهد و بنابراین، امکان حفظ پایداری را بیشتر می‌کند. چون اتصالیهای تکفاز نسبت به اتصالیهای سه‌فاز، بسیار بیشتر رخ می‌دهند می‌توان برای حذف فاز اتصالی کرده و در مدار نگهداشتن فازهای سالم از طرحوارة رله گذاری ای که امکان عملکرد مستقل یا انتخابی هر قطب مدارشکن را می‌دهد استفاده کرد. می‌توان سیستم رله‌ها، پیچکهای قطع، و مکانیزم عمل جداگانه‌ای در هر قطب قرار داد تا در عیبهای سه‌فاز، احتمال عمل نکردن مدارشکنها کاهش یابد. عملکرد مستقل هر قطب مدارشکنها می‌باشد به اینکه ۱ یا ۲ قطب نتواند در شرایط اتصالی بازکند-می‌تواند زمان بحرانی حذف را از ۲ تا ۵ سیکل افزایش دهد. این افزایش به ویژه هنگامی اهمیت دارد که زمانهای حذف پشتیبان،

مشکل پایداری سیستم باشند.

کاهش رئکنانس خط انتقال، روش دیگر افزایش  $P_{max}$  است. جبران رئکنانس خط با خازنهای متواالی، برای افزایش پایداری، اغلب به صرفه است. از دیاد خطهای موازی بین دونقطه، روش متدال کاهش رئکنانس است. وقتی به جای یک خط، از خطهای انتقال موازی استفاده می‌شود حتی وقتی روی یکی از خطها اتصالی سه‌فاز رخ می‌دهد خط باقیمانده، مقداری توان را منتقل می‌کند. مگر اینکه اتصالی در شینه موافی کننده روی دهد. در انواع دیگر اتصالیهای یک خط اگر دو خط موازی وجود داشته باشد در زمان اتصالی توان بیشتری نسبت به حالتی که یک خط اتصالی کرده داریم منتقل می‌شود، اگر تعداد خطهای موازی، بیش از دو تا باشد توان منتقل شده در زمان عیب، باز هم بیشتر است. برای بدست آوردن توان شتاباننده، توان انتقال یافته را از توان ورودی کم می‌کنیم. لذا، هر چه توان انتقال یافته در زمان اتصالی بیشتر باشد توان شتاباننده ماشین کمتر، و شانس پایداری بیشتر است.

### مسائل

**۱-۱۴** یک ژنراتور توربینی  $60\text{ Hz}$ ، چهار‌قطب،  $500\text{ MVA}$  و  $22\text{ kV}$ ، دارای ثابت لختی  $H = 7.5\text{ MJ/MVA}$  است. پیدا کنید: (الف) انحرافی جنبشی ذخیره شده در روتور را در سرعت سنکرون و (ب) شتاب زاویه‌ای اگر وقوعی توان ورودی منهای اتفاقهای چرخشی برابر  $745000\text{ hp}$  است، توان الکتریکی تو لید شده برابر  $400\text{ MW}$  باشد.

**۲-۱۴** اگر شتاب محاسبه شده برای ژنراتور مسئله ۱-۱۴ در زمان  $15\text{ سیکل}$ ، ثابت باشد تغییر  $8$  را در این زمان، بر حسب درجه الکتریکی، و سرعت را در پایان  $15\text{ سیکل}$ ، بر حسب دور بر دقيقه، بیابید. فرض کنید ژنراتور بایک سیستم بزرگ همزمان است و پیش از شروع زمان  $15\text{ سیکل}$ ، گشاور شتاباننده ندارد.

**۳-۱۴** در حالی که ژنراتور مسئله ۱-۱۴ مگاوات-آمپر نامی را در ضرب توان  $8\text{ kW}$  پس افتی تحویل می‌دهد یک اتصالی، توان الکتریکی خروجی را  $40\%$  کاهش می‌دهد. در زمان وقوع اتصالی، گشاور شتاباننده را بر حسب نیوتون-متر بیابید. از اتفاقها صرف نظر کنید و توان ورودی به محور را ثابت در نظر بگیرید.

**۴-۱۴**  $WR^2$  ژنراتور مسئله ۱-۱ را تعیین کنید.

**۵-۱۴** یک شبکه رئکنانسی، ژنراتوری با  $H = 6\text{ MJ/MVA}$  را به یک موتور همزمان با  $H = 4\text{ MJ/MVA}$  وصل می‌کند. در حالی که ژنراتور توان  $11\text{ p.u}$  را به موتور تحویل می‌دهد، اتصالی رخ می‌دهد که توان تحویلی را کاهش می‌دهد. موقعی که توان تحویلی کاهش یافته برابر  $6\text{ p.u}$  است، شتاب زاویه‌ای ژنراتور را نسبت به موتور تعیین کنید.

۱۴-۶ در سیستم قدرت سیستم مثال ۳-۱۴، امپدانس هر کدام از خطهای انتقال مساوی برابر ۵ درجه، توان تحویلی برابر  $U_p = ۸$  و ولتاژ بین سرهای ماشین و ولتاژ شینه بی نهایت برابر  $U_p = ۱۰$  است. معادله توان-زاویه سیستم را در زمان شرایط کار مشخص شده تعیین کنید.

۱۴-۷ اگر در سیستم قدرت مسئله ۱۴-۶، یک اتصالی سه فاز در نقطه‌ای روی یکی از خطهای انتقال به فاصله ۳۵٪ طول خط، از سر ارسال خط، رخ دهد تعیین کنید: (الف) معادله توان-زاویه را در زمان اتصالی و (ب) معادله تابخورد را در موضع قوع اتصالی، سیستم در شرایط مشخص شده در مسئله ۱۴-۶ کار می‌کند. همانند مثال ۴-۱۴  $H = ۵۰ \text{ MJ/MVA}$

۱۴-۸ مقاومتهای متواالی شبکه انتقال، باعث مقادیر مثبت  $P$  و  $\gamma$  در معادله (۸۰-۱۴) می‌شوند. به ازای یک توان الکتریکی خروجی معین، اثر مقاومت را برهمگر همزمان‌ساز  $S_p$ ، فرکانس نوسانهای روتور، و میرایی این نوسانها بیان کنید.

۱۴-۹ در حالی که یک ژنراتور با  $H = ۵ \text{ MJ/MVA}$ ، توان  $U_p = ۱۰$  را از طریق یک شبکه رئکتانسی خالص به یک شینه بی نهایت تحویل می‌دهد و قوع یک اتصالی، توان خروجی ژنراتور را به صفر می‌رساند ماکزیمم توانی که می‌توانست انتقال یابد  $U_p = ۲۵$  است. وقتی اتصالی حذف می‌شود شرایط ابتدایی شبکه دوباره برقرار می‌شود. زاویه و زمان بحرانی حذف را تعیین کنید.

۱۴-۱۰ یک ژنراتور  $H = ۶ \text{ HZ}$ ،  $P_{\max} = ۶۰$  درصد یک شبکه واکنشی به یک شینه بی نهایت می‌دهد. اتصالی رخ می‌دهد که رئکتانس شبکه بین ولتاژ داخلی ژنراتور و شینه بی نهایت را  $400\%$  افزایش می‌دهد. وقتی اتصالی حذف می‌شود، ماکزیمم توانی که می‌توان انتقال داد  $80\%$  مقدار ماکزیمم ابتدایی است. زاویه بحرانی حذف را در وضع توصیف شده تعیین کنید.

۱۴-۱۱ اگر در ژنراتور مسئله ۱۵-۱۴،  $P_{\max} = ۱۵$  برابر توان  $U_p = ۱۰$  باشد، زمان بحرانی حذف را در حالت مسئله ۱۵-۱۴ بیابید. برای رسم منحنی تابخورد لازم،  $\Delta t$  را برابر  $0.05 \text{ s}$  بگیرید.

۱۴-۱۲ اگر در سیستم و شرایط اتصالی توصیف شده در مسائل ۱۴-۶ و ۱۴-۷، بازگردن همزمان مدار شکنها دوسر خط اتصالی کرده در  $5 \text{ R} + j5 \text{ S} \Omega$  پس از قوع اتصالی، اتصالی را حذف کند معادله توان-زاویه را تعیین کنید. سپس منحنی تابخورد ژنراتور را در مدت  $t = 0.25 \text{ s}$  ثانیه رسم کنید.

۱۴-۱۳ جدول ۱۴-۶ را توسعه دهید تا  $\delta$  را در  $0.05 \text{ s} = \tau$  ثانیه بیابید.

۱۴-۱۶ برای ماشین ۲ مثا لهای ۹-۱۴ تا ۱۱-۱۳، منحنی تابخورد را، به ازای حذف عیب در ۵۵۰ ثانیه، به روش توصیف شده در بخش ۹-۱۴ محاسبه کنید. نتایج را با مقادیر به دست آمده از برنامه تولید نوعی و فهرست شده در جدول ۷-۱۴ مقایسه کنید.

۱۵-۱۴ اگر اتصالی سه فازی روی شینه ۵ خط ۴-۵ از سیستم مثال ۹-۱۴ رخ دهد و باز کردن همزمان مدار شکنها دو سر خط در ۵۰۰ سیکل پس از وقوع اتصالی، اتصالی را حذف کند برای رسم منحنی تابخورد ماشین ۲ در مدت ۵۰۰=۰، جدولی مشابه جدول ۱۴-۶ تهیه کنید.

۱۶-۱۴ با اعمال معیار مساحه های مساوی به منحنی تابخورد به دست آمده در مثا لهای ۹-۱۴ و ۱۰-۱۴ برای ماشین ۱، (الف) معادله ای برای زاویه بحرانی حذف به دست آورید، (ب) با حل معادله به روش تقریب پیاپی، ۸۰<sup>۰</sup> را محاسبه کنید، و (ج) به یاری معادله (۷۲-۱۴) زمان بحرانی حذف را پیدا کنید.

پیوست

جدول ب-۱ مشخصات الکتریکی هایدیکت آرمیتیج با فولاد مسلح (ACSR)

نام	مدادست	مدادست		A.c. 60 Hz		D.c. 20°C, 0.1,000 ft		A.c. 60 Hz		Rکانس بر ماده ناصله گذاری ۴۰ Hz, ۱-ft	
		آلمونیم الیمنیم Al/St	آلمونیم الیمنیم Al/Sc	Deg. 20°C, 0.1,000 ft	20°C, 0/ft	50°C, 0/ft	G.M.R. D <sub>r</sub> , ft	X <sub>o</sub> , G/mi	آلفا X <sub>o</sub> , G/mi	طریقی X <sub>o</sub> , MG/mi	
Waxwing	206,800	18/1	2	0.609	0.0646	0.3488	0.3831	0.0198	0.476	0.1090	
Partridge	206,800	26/7	2	0.642	0.0840	0.3452	0.3782	0.0217	0.465	0.1074	
Ostrich	300,000	26/7	2	0.680	0.0569	0.3070	0.3372	0.0227	0.458	0.1057	
Martin	336,400	18/1	2	0.684	0.0512	0.2767	0.3037	0.0222	0.462	0.1055	
Linenet	336,400	26/7	2	0.721	0.0507	0.2737	0.3006	0.0243	0.451	0.1040	
Oriole	338,400	30/7	2	0.741	0.0504	0.2719	0.2887	0.0255	0.445	0.1032	
Chickadee	397,500	18/1	2	0.743	0.0433	0.2342	0.2572	0.0241	0.452	0.1031	
Ibis	397,500	26/7	2	0.783	0.0430	0.2323	0.2551	0.0264	0.441	0.1015	
Pelican	477,000	18/1	2	0.814	0.0361	0.1937	0.2148	0.0264	0.441	0.1004	
Flicker	477,000	24/7	2	0.846	0.0359	0.1943	0.2134	0.0254	0.432	0.0992	
Hawk	477,000	26/7	2	0.858	0.0357	0.1931	0.2120	0.0259	0.430	0.0988	
Hen	477,000	30/7	2	0.883	0.0355	0.1919	0.2107	0.0304	0.424	0.0980	
Oprey	556,500	18/1	2	0.879	0.0309	0.1679	0.1843	0.0284	0.432	0.0981	
Parakeet	556,500	24/7	2	0.914	0.0308	0.1669	0.1832	0.0306	0.423	0.0969	
Dove	558,500	26/7	2	0.927	0.0307	0.1663	0.1826	0.0314	0.420	0.0965	
Rook	638,000	24/7	2	0.977	0.0269	0.1461	0.1603	0.0327	0.415	0.0950	
Grobbank	638,000	26/7	2	0.990	0.0268	0.1454	0.1590	0.0335	0.412	0.0946	
Drake	795,000	28/7	2	1.108	0.0215	0.1172	0.1284	0.0373	0.399	0.0912	
Tern	795,000	45/7	3	1.063	0.0217	0.1188	0.1302	0.0352	0.406	0.0925	
Rail	954,000	45/7	3	1.165	0.0181	0.0997	0.1092	0.0386	0.395	0.0897	
Cardinal	954,000	54/7	3	1.196	0.0180	0.0988	0.1082	0.0402	0.390	0.0890	
Ortolan	1,033,500	45/7	3	1.213	0.0167	0.0924	0.1101	0.0402	0.390	0.0885	
Bluejay	1,113,500	45/7	3	1.259	0.0155	0.0861	0.0941	0.0415	0.386	0.0874	
Finch	1,113,500	54/19	3	1.263	0.0155	0.0856	0.0937	0.0436	0.386	0.0866	
Bittern	1,272,000	45/7	3	1.345	0.0136	0.0762	0.0832	0.0446	0.378	0.0855	
Pheasant	1,272,000	54/19	3	1.382	0.0135	0.0751	0.0821	0.0466	0.372	0.0847	
Bobolink	1,431,000	45/7	3	1.427	0.0121	0.0684	0.0746	0.0466	0.371	0.0837	
Plover	1,431,000	54/19	3	1.465	0.0120	0.0673	0.0735	0.0494	0.365	0.0829	
Lapwing	1,590,000	45/7	3	1.502	0.0109	0.0623	0.0678	0.0498	0.364	0.0822	
Falcon	1,590,000	54/19	3	1.545	0.0108	0.0612	0.0667	0.0523	0.358	0.0814	
Bluebird	2,156,000	84/19	4	1.762	0.0080	0.0476	0.0515	0.0586	0.344	0.0776	

\* اعماق اندامهای جنبد لایهای اسفلات می‌شود.

**جدول ب-۲ ضریب فاصله‌گذاری دنکانس افقی  $X_d$  در  $60\text{ Hz}$  (ام بر مایل بر هادی)**

فاصله

دست	ج	ز	۰	۱	۲	۳	۴	۵	۶	۷	۸	۹	۱۰	۱۱
۰	۰***	-0.3015	-0.2774	-0.1682	-0.1333	-0.1062	-0.0841	-0.0654	-0.0492	-0.0349	-0.0221	-0.0106		
۱	0.0097	0.0187	0.0271	0.0349	0.0423	0.0492	0.0558	0.0630	0.0679	0.0735	0.0789			
۲	0.0891	0.0938	0.0984	0.1028	0.1112	0.1152	0.1190	0.1227	0.1264	0.1299				
۳	0.1366	0.1399	0.1430	0.1461	0.1491	0.1520	0.1549	0.1577	0.1604	0.1631	0.1657			
۴	0.1682	0.1732	0.1756	0.1779	0.1802	0.1825	0.1847	0.1869	0.1891	0.1912	0.1933			
۵	0.1953	0.1993	0.2012	0.2031	0.2050	0.2069	0.2087	0.2105	0.2123	0.2140	0.2157			
۶	0.2191	0.2207	0.2224	0.2240	0.2256	0.2271	0.2287	0.2302	0.2317	0.2332	0.2347			
۷	0.2376	0.2390	0.2404	0.2418	0.2431	0.2445	0.2458	0.2472	0.2485	0.2498	0.2511			
۸	0.2361	0.2383	0.2399	0.2414	0.2427	0.2440	0.2453	0.2466	0.2479	0.2492	0.2505			
۹	0.2666	0.2733	0.2794	0.2854	0.2910	0.2964	0.3015	0.3064	0.3112	0.3159	0.3202			
۱۰	0.2794	0.2866	0.2930	0.2991	0.3050	0.3105	0.3164	0.3212	0.3260	0.3307	0.3353			
۱۱	0.2910	0.2980	0.3045	0.3107	0.3167	0.3227	0.3284	0.3339	0.3393	0.3448	0.3497			
۱۲	0.3015	0.3080	0.3145	0.3207	0.3267	0.3327	0.3384	0.3440	0.3495	0.3550	0.3605			
۱۳	0.3112	0.3175	0.3238	0.3297	0.3357	0.3417	0.3474	0.3531	0.3588	0.3644	0.3700			
۱۴	0.3202	0.3265	0.3328	0.3387	0.3447	0.3507	0.3564	0.3621	0.3678	0.3734	0.3790			
۱۵	0.3286	0.3348	0.3409	0.3469	0.3529	0.3589	0.3646	0.3703	0.3760	0.3816	0.3872			
۱۶	0.3364	0.3428	0.3489	0.3549	0.3609	0.3669	0.3726	0.3783	0.3840	0.3896	0.3952			
۱۷	0.3438	0.3497	0.3557	0.3616	0.3676	0.3735	0.3792	0.3850	0.3908	0.3965	0.4022			
۱۸	0.3507	0.3566	0.3625	0.3684	0.3743	0.3802	0.3859	0.3917	0.3975	0.4032	0.4089			
۱۹	0.3573	0.3632	0.3691	0.3750	0.3809	0.3868	0.3926	0.3984	0.4042	0.4099	0.4157			
۲۰	0.3635	0.3694	0.3753	0.3812	0.3871	0.3930	0.3988	0.4046	0.4104	0.4162	0.4220			
۲۱	0.3694	0.3751	0.3809	0.3868	0.3927	0.3986	0.4044	0.4102	0.4160	0.4218	0.4276			
۲۲	0.3751	0.3805	0.3863	0.3922	0.3980	0.4038	0.4096	0.4154	0.4212	0.4270	0.4328			
۲۳	0.3805	0.3856	0.3914	0.3972	0.4030	0.4088	0.4146	0.4204	0.4262	0.4320	0.4378			
۲۴	0.3856	0.3906	0.3964	0.4022	0.4080	0.4138	0.4196	0.4254	0.4312	0.4370	0.4428			
۲۵	0.3906	0.3953	0.4011	0.4069	0.4127	0.4185	0.4243	0.4291	0.4349	0.4407	0.4465			
۲۶	0.3953	0.3999	0.4057	0.4115	0.4173	0.4231	0.4289	0.4347	0.4405	0.4463	0.4521			
۲۷	0.3999	0.4043	0.4091	0.4149	0.4197	0.4255	0.4313	0.4371	0.4429	0.4487	0.4545			
۲۸	0.4043	0.4086	0.4134	0.4182	0.4230	0.4288	0.4346	0.4394	0.4452	0.4510	0.4568			
۲۹	0.4086	0.4127	0.4175	0.4223	0.4271	0.4329	0.4387	0.4445	0.4493	0.4551	0.4609			
۳۰	0.4127	0.4167	0.4215	0.4263	0.4311	0.4369	0.4427	0.4485	0.4543	0.4591	0.4649			
۳۱	0.4167	0.4205	0.4253	0.4291	0.4339	0.4387	0.4445	0.4493	0.4541	0.4599	0.4657			
۳۲	0.4205	0.4243	0.4291	0.4339	0.4377	0.4425	0.4483	0.4531	0.4579	0.4637	0.4695			
۳۳	0.4243	0.4281	0.4329	0.4367	0.4405	0.4453	0.4501	0.4549	0.4597	0.4655	0.4713			
۳۴	0.4281	0.4314	0.4352	0.4389	0.4427	0.4475	0.4523	0.4569	0.4607	0.4665	0.4723			
۳۵	0.4314	0.4348	0.4386	0.4423	0.4461	0.4509	0.4557	0.4595	0.4633	0.4691	0.4749			
۳۶	0.4348	0.4382	0.4419	0.4456	0.4494	0.4532	0.4579	0.4617	0.4655	0.4713	0.4771			
۳۷	0.4382	0.4414	0.4449	0.4486	0.4524	0.4562	0.4609	0.4647	0.4685	0.4743	0.4791			
۳۸	0.4414	0.4445	0.4482	0.4519	0.4556	0.4594	0.4632	0.4669	0.4707	0.4765	0.4823			
۳۹	0.4445	0.4476	0.4503	0.4539	0.4576	0.4614	0.4651	0.4689	0.4727	0.4785	0.4843			
۴۰	0.4476	0.4506	0.4533	0.4569	0.4606	0.4643	0.4681	0.4718	0.4756	0.4814	0.4872			
۴۱	0.4506	0.4534	0.4561	0.4598	0.4635	0.4672	0.4709	0.4746	0.4784	0.4842	0.4899			
۴۲	0.4534	0.4562	0.4589	0.4626	0.4663	0.4700	0.4737	0.4774	0.4812	0.4870	0.4928			
۴۳	0.4564	0.4591	0.4618	0.4655	0.4692	0.4729	0.4766	0.4803	0.4841	0.4899	0.4957			
۴۴	0.4592	0.4619	0.4646	0.4683	0.4720	0.4757	0.4794	0.4831	0.4869	0.4927	0.4985			
۴۵	0.4619	0.4646	0.4673	0.4710	0.4747	0.4784	0.4821	0.4858	0.4895	0.4953	0.5011			
۴۶	0.4646	0.4672	0.4700	0.4737	0.4774	0.4811	0.4848	0.4885	0.4922	0.4980	0.5038			
۴۷	0.4672	0.4697	0.4724	0.4761	0.4798	0.4835	0.4872	0.4909	0.4946	0.5004	0.5062			
۴۸	0.4697	0.4722	0.4750	0.4787	0.4824	0.4861	0.4898	0.4935	0.4972	0.5030	0.5088			
۴۹	0.4722	0.4749	0.4776	0.4813	0.4850	0.4887	0.4924	0.4961	0.4998	0.5056	0.5114			

در  $60\text{ Hz}$  بر حسب مکانیم مایل بر هادی  
 $X_d = f_{\text{fit}} \cdot d^{\alpha} \cdot 10^{\beta} \cdot \log d$   
 $d = D_{\text{eq}}$

**جدول ب-٣ ضرب فاصله گذاری ریکناتس ظرفی مجازی در  $40 \text{ Hz}$  (میگا اهم-مایل بر مادی)**

نامد

ابنج

فوت	0	1	2	3	4	5	6	7	8	9	10	11
0	-0.0737	-0.0532	-0.0411	-0.0326	-0.0290	-0.0206	-0.0160	-0.0120	-0.0085	-0.0054	-0.0026	
1	0.0024	0.0046	0.0066	0.0085	0.0103	0.0120	0.0136	0.0152	0.0166	0.0180	0.0193	
2	0.0206	0.0229	0.0241	0.0251	0.0262	0.0272	0.0282	0.0291	0.0300	0.0318	0.0330	
3	0.0326	0.0334	0.0342	0.0350	0.0357	0.0365	0.0372	0.0379	0.0385	0.0392	0.0399	
4	0.0411	0.0417	0.0423	0.0429	0.0435	0.0441	0.0446	0.0452	0.0457	0.0462	0.0473	
5	0.0478	0.0482	0.0492	0.0497	0.0501	0.0506	0.0510	0.0515	0.0519	0.0523	0.0527	
6	0.0532	0.0540	0.0544	0.0548	0.0552	0.0555	0.0559	0.0563	0.0567	0.0570	0.0574	
7	0.0577	0.0581	0.0584	0.0588	0.0591	0.0594	0.0598	0.0601	0.0604	0.0608	0.0611	
8	0.0617											
9	0.0652											
10	0.0683											
11	0.0711											
12	0.0737											
13	0.0761											
14	0.0783											
15	0.0803											
16	0.0823											
17	0.0841											
18	0.0858											
19	0.0874											
20	0.0889											
21	0.0903											
22	0.0917											
23	0.0930											
24	0.0943											
25	0.0955											
26	0.0967											
27	0.0978											
28	0.0989											
29	0.0999											
30	0.1009											
31	0.1019											
32	0.1028											
33	0.1037											
34	0.1046											
35	0.1055											
36	0.1063											
37	0.1071											
38	0.1079											
39	0.1087											
40	0.1094											
41	0.1102											
42	0.1109											
43	0.1116											
44	0.1123											
45	0.1129											
46	0.1136											
47	0.1142											
48	0.1149											
49	0.1155											

$$d = D_{eq} \cdot \log d_{40 \text{ Hz}} + 0.9483$$

جدول پ-۴ رئکتانس‌های نوعی ماشینهای سنکرون سه‌فاز\*

مقادیر بر حسب دریک‌اند. برای هر رئکتانس یک رده از مقادیر در ذیر مقدار نوعی  
نوشته شده‌اند.<sup>۰۰</sup>

ڈنراتور-توربینی						
	قطبی ۲		قطبی ۴		ڈنراتورهای تطبیق جسته	
	با خنک کنندگی معمولی	با خنک کنندگی در خنک کنندگی معمولی	با خنک کنندگی در خنک کنندگی معمولی	با خنک کنندگی در خنک کنندگی معمولی	بدون میراکن	با میراکن
$X_d$	1.76 1.7-1.82	1.95 1.72-2.17	1.38 1.21-1.55	1.87 1.6-2.13	1 0.6-1.5	1 0.6-1.5
$X_q$	1.66 1.63-1.69	1.93 1.71-2.14	1.35 1.17-1.52	1.82 1.56-2.07	0.6 0.4-0.8	0.6 0.4-0.8
$X_d'$	0.21 0.18-0.23	0.33 0.264-0.387	0.26 0.25-0.27	0.41 0.35-0.467	0.32 0.25-0.5	0.32 0.25-0.5
$X_d''$	0.13 0.11-0.14	0.28 0.23-0.323	0.19 0.184-0.197	0.29 0.269-0.32	0.2 0.13-0.32	0.30 0.2-0.5
$X_2$	$= X_d''$	$= X_d''$	$= X_d''$	$= X_d''$	0.2 0.13-0.32	0.40 0.30-0.45
$X_0\$$						

\* داده‌ها توسط Westinghouse Electric Corporation، داده شده است.

\*\* رئکتانس ماشینهای قدیمی تن معمولاً نزدیک به مقادیر مینیمم خواهد بود.

\*\*\*  $X_d$  به طورشیدیدی با  $\gamma$  گام سیم‌بیچ آدمجر تغییر می‌کند، به نحوی که به دشواری می‌توان یک مقدار میانگین برای آن بدست داد. تغییر از ارده تا ۷ ارده برای  $X_d''$  است.

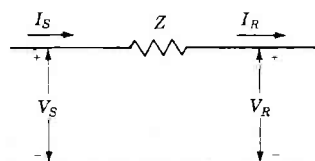
جدول پ-۵ رده نوعی رئکتانس ترانسفورماتورها\*

ترانسفورماتورهای قدرت ۲۵۰۰۰ kVA و بزرگتر.

kV ولتاژ نامی سیستم	خنک کنندگی و اداشه هوا، %	خنک کنندگی و اداشه روغن، %
34.5	5-8	9-14
69	6-10	10-16
115	6-11	10-20
138	6-13	10-22
161	6-14	11-25
230	7-16	12-27
345	8-17	13-28
500	10-20	16-34
700	11-21	19-35

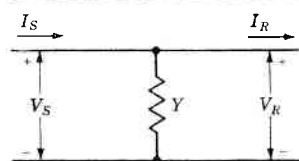
\* درصد بر مبنای کیلو ولت-آپن نامی. اکثرون ترانسفورماتورهای نوعی برای مقدار مینیمم رئکتانس نشان داده شده طراحی می‌شوند. رئکتانس ترانسفورماتورهای توزیع، بسیار کوچک‌تر است. مقاومت ترانسفورماتورها معمولاً کوچک‌تر از ۱٪ هستند.

جدول پ-۶ ثابت‌های شبکه‌های مختلف DCBA.



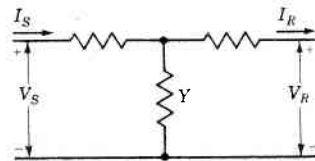
$$\begin{aligned} A &= 1 \\ B &= Z \\ C &= 0 \\ D &= 1 \end{aligned}$$

امپدانس متواالی



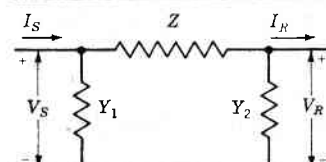
$$\begin{aligned} A &= 1 \\ B &= 0 \\ C &= Y \\ D &= 1 \end{aligned}$$

ادمیتانس موازی



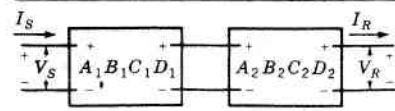
$$\begin{aligned} A &= 1 + YZ_1 \\ B &= Z_1 + Z_2 + YZ_1Z_2 \\ C &= Y \\ D &= 1 + YZ_2 \end{aligned}$$

نامتقارن T



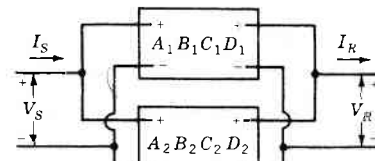
$$\begin{aligned} A &= 1 + Y_2Z \\ B &= Z \\ C &= Y_1 + Y_2 + ZY_1Y_2 \\ D &= 1 + Y_1Z \end{aligned}$$

نامتقارن π



$$\begin{aligned} A &= A_1A_2 + B_1C_2 \\ B &= A_1B_2 + B_1D_2 \\ C &= A_2C_1 + C_2D_1 \\ D &= B_2C_1 + D_1D_2 \end{aligned}$$

شبکه‌های متواالی



$$\begin{aligned} A &= (A_1B_2 + A_2B_1)/(B_1 + B_2) \\ B &= B_1B_2/(B_1 + B_2) \\ C &= C_1 + C_2 + (A_1 - A_2)(D_2 - D_1)/(B_1 + B_2) \\ D &= (B_2D_1 + B_1D_2)/(B_1 + B_2) \end{aligned}$$

شبکه‌های موازی

## واژه‌نامه

fault 1	اتصالی
fault 2	عیب
three phase fault	اتصالی سه‌فاز
hysteresis loss	اتلاف پسماند
eddy current loss	اتلاف جریان گردابی
skin effect	اثر پوستی
transfer impedance	امپدانس انتقالی
zero-sequence impedance	امپدانس ترتیب-صفر
positive-sequence impedance	امپدانس ترتیب-مثبت
negative-sequence impedance	امپدانس ترتیب-منفی
surge impedance	امپدانس ضربه‌ای
driving point impedance	امپدانس نقطه رانش
Y-connected load	بار اتصال-ستاره‌ای
$\Delta$ -connected load	بار اتصال-مثلثی
reach	برد
iteration	پسورد
matrix partitioning	پارش ماتریس
load flow	پخش بار
hyperbolic function	تابع هذلولی
ex citer	تحریک‌گر
$\Delta$ -y transformer	ترانسفورماتور مثلث-ستاره‌ای

phase sequence	ترتیب فاز
load dispatching	مه: توالی فاز
pick-up setting	تسهیم بار
complex power	تنظیم برداشت
reactive power	توان مختلط
inertia constant	توان واکنشی
	ثابت لختی
trans position	جا یگشت
reactive compensation	جریان واکنشی
charging current	جریان باردار کننده
zero-sequence current	جریان ترتیب-صفر
positive-sequence current	جریان ترتیب-مثبت
negative-sequence current	جریان ترتیب-منفی
subtransient current	جریان زیر گذرا
transient current	جریان گذرا
steady-state current	جریان مانا
magnetizing current	جریان مغناطیس
stability limit	حد پایداری
transient stability limit	حد پایداری گذرا
steady-state stability limit	حد پایداری مانا
back-up protection	حفظاًظت پشتیبان
primary protection	حفظاًظت مقدم
single phase two-wire line	خط تک‌فاز دو‌سیمه
transposed three-phase line	خط سه‌فاز جایگشت‌دار
parallel circuit three-phase lines	خط‌های سه‌فاز دوبل
subtransmission lines	خط‌های انتقال فرعی
per-unit reactance	رئکتانس در-یکی
subtransient reactance	رئکتانس زیر گذرا
transient reactance	رئکتانس گذرا

direct-axis synchronous reactance	رئکتانس سنکرون طولی
quadrature-axis synchronous reactance	رئکتانس سنکرون عرضی
leakage reactance	رئکتانس نشت
overcurrent relay	رله اضافه جریان
impedance relay	رله امپدانس
pilot relay	رله پیلوتی
differential relay	رله تفاضلی
percent differential relay	رله تفاضلی درصدی
directional relay	رله سودار
phase relay	رله فاز
distance relay	رله فاصله
magnitude relay	رله مقداری
ratio relay	رله نسبتی
Seidel iterative method	روش بساوردی زایدل
power angle	زاویه تو ان
torque angle	زاویه گشتاور
ground wire	سیم زمین
tap setting	سرک تنظیم
flux linkage	شار حلقه زن
sequence network	شبکه ترتیبی
simulation	شبیه سازی
geometric mean radius	شعاع میانگین هندسی
incremental fuel cost	شیب هزینه سوخت
bus	شینه
infinite bus	شینه بینهایت
swing bus	شینه تابخورد
surge arrester	ضریب کثیر
voltage range factor	ضریب پهنگ ولتاژ
power factor	ضریب توان
compensation factor	ضریب جبران

penalty factor	ضریب جریمه
spacing factor	ضریب فاصله‌گذاری
fault through impedance	عیب از طریق امپدنس
line-to-line fault	عیب خط به خط
line-to-ground fault	عیب خط به زمین
double line-to-ground fault	عیب دو خط به زمین
equilateral spacing	فاصله‌گذاری منتظم
unsymmetrical spacing	فاصله‌گذاری نامنتظم
geometric mean distance	فاصله میانگین هندسی
governor	فرمانده
voltage regulation	فرروافت ولتاژ
The venin theorem	قضیه توون
per-unit quantities	کمیات در-یکی
balanced three-phase circuit	مدار سه فاز متعادل
circuit breaker	مدارشکن
zero-sequence components	مؤلفه‌های تریب-صفر
positive-sequence components	مؤلفه‌های تریب-ثبت
negative-sequence components	مؤلفه‌های تریب-منفی
symmetrical	مؤلفه‌های متناظر
swing equation	معادله تابخورد
per-unit resistance	مقاومت در-یکی
over-excited motor	موتور پر تحریک
under excited motor	موتور کم تحریک
traveling waves	موجه‌ای رونده
swing curve	منحنی تابخورد
overreaching zone	ناحیه پر برد
underreaching zone	ناحیه کم برد
mismatch	ناهمخوانی

prime mover	نخست-رانه
polarity marks	نشانه‌های قطب‌داشت
phasor diagram	نمودار فاز-برداری
armature reaction	واکنش آرمچر
reflected voltage	ولتاژ بازتاب
incident voltage	ولتاژ تابنده
stranded conductors	هادیهای رشته‌ای
bundled conductors	هادیهای گروهی
synchronizing power coefficient	همگر توان همزمان‌ساز
power coefficients	همگرهای توان

## فهرست راهنمای

- ترتیب-مشبт (امپدانس ترتیب-مشبт  
را بینید) ۱۶۴
- ترتیب-منفی (امپدانس ترتیب-منفی  
را بینید) ۱۶۴
- ضربهای ۱۱۶
- مشخصه (امپدانس مشخصه را بینید) ۲۰۵
- نقطه رانش‌گرهای ۲۰۵
- اندازه‌گیری - ۲۰۷
- نمودارهای - ۱۸۵-۱۸۰
- (رئکتانس را نیز بینید)
- امپدانس ترتیب-صفر ۳۳۶-۳۳۵ ۳۳۶
- عناصر مدار ۳۴۰-۳۳۸
- ماشینهای همزمان ۳۳۹-۳۳۸
- جدول - ۴۸۴
- امپدانس ترتیب-مشبт ۳۳۵
- عناصر مدار ۳۴۰-۳۳۸
- امپدانس ترتیب-منفی ۳۳۶-۳۳۵
- عناصر مدار ۳۳۹-۳۳۸
- ماشینهای همزمان ۳۳۸
- جدول - ۴۸۴
- امپدانسهای ترتیبی عناصر مدار نا ۳۳۸
- ۳۴۰
- امپدانسهای متواالی نامتقارن ۳۳۵-۳۳۳ ۳۳۵
- امپدانس مشخصه ۱۱۵، ۱۱۴-۱۱۲ ۱۳۵
- اتلاف پسماند ۱۶۴
- اتلاف جریان گردابی ۱۶۴
- اتلافها به عنوان تابعی از تولید نیروگاه ۲۷۴-۲۷۵
- اتوترانسفورماتور ۱۶۸-۱۶۷
- اثر پوستی ۵۰
- ادمیتانس:
- خود-گرهای ۱۹۵
- اندازه‌گیری - ۲۰۵
- به عنوان داده در بررسی پخش بار ۲۲۳، ۲۲۲
- منقابل گرهای ۱۹۵
- اندازه‌گیری - ۲۰۶
- به عنوان داده در بررسی پخش بار ۲۲۳، ۲۲۲
- امپدانس:
- انتقالی گرهای ۲۰۵
- اندازه‌گیری - ۲۰۷
- اندازه‌گیری-از طریق ترانسفورماتور ۱۶۳
- ترانسفورماتور ۱۶۷-۱۶۴
- جدول - ۴۸۴
- ترتیب-صفر (امپدانس ترتیب-صفر  
را بینید)

- |   |  |
|---|--|
| موجهای رونده ۱۳۱ تا ۱۳۵   | ۱۳۶، ۱۱۴   |
| سرعت - ۱۳۴  | امواج تابنده و بازتابنده ۱۳۵، ۱۱۳                    |
| موج بازتابنده ۱۳۵ - ۱۲۹   | انتقال جریان یکسو «DC» ۱۴۲-۱۴۱، ۴                    |
| موج تابنده ۱۳۵ - ۱۳۹  | انتقال زیرزمینی ۸                                    |
| نمودار نردنی ۱۳۹  | کابلهای - ۴۷   |
| بهره برداری اقتصادی از سیستم قدرت<br>(توزیع اقتصادی بار را بینند) | اندوکتانس:   |
| بهم پیوستگی سیستمهای قدرت ۶-۵                                     | تعریف - ۵۳-۵۲  |
| به عنوان عنصری از کنترل خودکار تولید                              | جایگشت برای تعادل - ۷۰                               |
| ۲۸۳-۲۸۰   | - خط تکفاز دوسيمه ۶۰-۵۸                              |
| پارش ماتریس ۱۹۸-۱۹۹   | - خط سه‌فاز: با فاصله گذاری منتظم ۶۹-۶۸              |
| حذف گره با - ۲۰۴-۲۰۰  | با فاصله گذاری نامنظم ۷۲-۶۹                          |
| پایداری:  | - خط سه‌فاز دوبل ۷۶-۷۴                               |
| انواع - ۴۲۷-۴۲۶   | خلاصه محاسبات - ۷۷-۷۶                                |
| بررسیهای - ۱۲-۱۱  | - متقابل ۵۳  |
| انواع - ۴۲۷-۴۲۶   | محاسبه - به روش فاصله میانگین هندسی ۷۷-۶۴            |
| به دست آوردن معادله تابخورد                                       | - ناشی از شار درونی ۵۶-۵۳                            |
| ۴۳۴-۴۲۸   | (رنکتانس را نیز بینند)                               |
| دینامیک روتور ۴۳۲-۴۲۸   | انرژی جنبشی ۴۳۴                                      |
| فرضهای - مدل کلاسیک ماشین   | بار ذنش یا بارگذاری امپدانس ضربهای ۱۱۴               |
| ۴۵۸-۴۵۷   | بایاس فرکانس یا بسامد ۲۸۲                            |
| فرضهای همه - ۴۲۸  | بررسی پخش بار:                                       |
| تعریف - ۴۲۶   | - بر روی کامپیوتر رقمی، داده‌های ۲۳۴                 |
| حد - ۱۲   | اطلاعات به دست آمده - ۲۳۵                            |
| دینامیک روتور برای - ۴۳۲-۴۲۸                                      | نتیجه‌های عددی - ۲۳۷-۲۳۵                             |
| عاملهای مؤثر بر - ۴۷۷-۴۷۴   | - به روش گوس-زايدل ۲۲۶-۲۲۳                           |
| پایداری حالت گذرا ۴۲۸-۴۲۶   | - به روش نیوتن-رافسون ۲۳۰-۲۲۶                        |
| عاملهای مؤثر بر - ۴۷۷-۴۷۴   | داده‌های ۲۳۴-۲۲۲، ۲۲۳-۲۲۱                            |
| (بررسی پایداری را نیز بینند)                                      | بررسی پدیده‌های گذرا در خط انتقال: بازتابشها ۱۳۹-۱۳۵ |
| پدیده‌های گذرا در خط انتقال ۱۳۵-۱۳۰                               | ضریب بازتابش ۱۳۹، ۱۳۶، ۱۳۵                           |
| تابعهای هذلولوی ۱۱۹-۱۱۵   |  |
| تأثیر زمان هماهنگی ۴۰۷، ۴۰۴                                       |  |

- (ترانسفورماتور ولتاژ برای حفاظت سیستم  
را بینید) ۲۸۲-۲۸۱
- ترانسفورماتور مثلهای (ترانسفورماتور  
مثلهای ستاره ای را بینید) آزمون اتصال کوتاهی - ۱۶۷
- ترانسفورماتور مثلهای ستاره ای:  
امپدانس دریکی - ۱۶۶
- تغییر فاز در - ۳۲۴ ۳۳۱-۳۲۴
- حفاظت - ۴۲۲-۴۱۹
- ترانسفورماتورهای ولتاژ برای حفاظت  
سیستم ۳۹۵-۳۹۴
- ترتیب یا توالی فاز ۳۲-۲۹
- تسهیم اقتصادی (توزیع اقتصادی بار را  
بینید) ۳۳۲-۳۲۴
- تسهیم بار (توزیع اقتصادی بار را بینید)  
تغییر فاز در ترانسفورماتورهای سه فاز  
توان: ۳۳۳-۳۳۲
- با مؤلفه های متقارن ۲۸-۲۴
- جهت گذار - ۲۳-۱۸
- در مدارهای تک فاز ۳۶-۳۵
- در مدارهای سه فاز ۲۴۰-۲۳۷
- زاویه - ۱۵۸
- کترول گذار - با ترانسفورماتور ۲۵۶-۲۴۶
- گذار - در خط انتقال ۱۲۳-۱۲۷
- (توان واکنشی را نیز بینید)
- لحظه ای ۱۸
- مختلط ۲۳
- معادله های - زاویه ۴۵۹، ۴۴۴-۴۳۷
- تعریف - ۴۴۰
- مثلهای - ۴۶۵-۴۵۹، ۴۴۴-۴۴۰
- مقدار متوسط - ۲۱
- منحنی های - زاویه ۴۴۰
- در بررسی مساحت های برابر  
۴۵۴-۴۴۸
- تبدیل توان ۱۶۴-۱۵۹
- ترانسفورماتور: آزمون مدار وازی - ۱۶۹
- اتلاف پسماند در - ۱۶۴
- اتلاف جریان گردابی در - ۱۶۳
- اتوترانسفورماتور ۱۶۸-۱۶۷
- ایندیال ۲۴۶-۲۴۵
- با سرک تعویض شونده در زیر بار ۲۴۶
- با نسبت تبدیل و رای نامی ۲۵۰-۲۴۶
- تغییر فاز در ستاره مثلهای ۳۳۲-۳۲۴
- تنظیم ۲۵۶-۲۴۶
- برای تعديل اندازه ولتاژ  
۲۵۴-۲۵۰، ۲۴۸-۲۴۶
- برای تعديل زاویه فاز ۲۴۸-۲۴۶،  
۲۵۶-۲۵۴
- جدول رئکتیانس - ۴۸۴
- جریان مغناطیسی در - ۱۶۷-۱۶۴
- حفاظت - ۴۲۲-۴۱۹
- رئکتیانس نشت - ۱۶۴
- سه سیم بیچه ۱۷۸-۱۷۵
- سه فاز ۱۷۵-۱۷۲
- مدار معادل - ۱۶۷-۱۶۴
- برای جریان ترتیب - صفر ۳۴۷-۳۴۳
- نشانه گذاری قطب داشت در - ۱۶۱
- ۳۲۸-۳۲۴
- نقطه گذاری بر سر های - ۱۶۱
- ترانسفورماتور جریان ۳۹۴-۳۹۳
- تنظیم برداشت - ۳۹۷
- سرکهای تنظیم - ۳۹۷
- نسبت - ۳۹۴
- ترانسفورماتور جریان با خازن تزویج  
«CVT»

- ثابت‌های عمومی مدار (ثابت‌های DCBA)  
را بینید)  
ثابت‌های  $H$ :  
تعریف - ۴۳۲-۴۳۱  
جدول - ۴۳۳  
محاسبه - ۴۳۷-۴۳۲
- جایگشت در خط انتقال:  
- برای تعادل اندوکتانسی ۷۰  
- برای تعادل ظرفیتی ۹۴-۹۲  
جیران و اکتشی خطهای انتقال:  
- متوالی ۱۲۹-۱۲۸، ۱۲۷  
- موازی ۱۳۰-۱۲۹، ۱۲۷  
جریان:  
- زودگذر در مدارشکنها ۳۰۷  
جهت - ۱۶  
- زیرگذرا ۳۰۵-۲۹۰  
- گذرا: در ماشین هم زمان ۲۹۲-۲۸۹  
در مدار  $R-L$  ۲۸۶  
معادله‌ای: برای خط انتقال بلند ۱۱۲-۱۱۱  
برای خط انتقال کوتاه ۱۰۸-۱۰۶  
برای خط انتقال متوسط ۱۰۹-۱۰۸  
موج بازتابنده - ۱۳۷-۱۳۴، ۱۱۳، ۱۴۰-۱۳۹  
موج تابنده - ۱۳۷-۱۳۴، ۱۱۳، ۱۴۰-۱۳۹  
جریان باردار کننده ۹۲-۹۱، ۸۲  
جریان و ولتاژ تابنده ۱۳۹-۱۳۵، ۱۱۳
- حافظت:  
- پشتیبان ۴۱۱-۴۰۸، ۴۰۵-۴۰۳  
- ترانسفورماتور ۴۲۲-۴۱۹  
- خطهای انتقال HV و EHV ۴۱۷-۴۱۲

- واکنشی، علامت ۲۷-۲۲  
توان مختلف ۲۳  
توان واکنشی:  
تعریف - ۲۱  
- تولیدی خازنها ۲۳-۲۲  
جهت گذر - ۲۸-۲۴  
علامت - ۲۷، ۲۲  
کنترل گذر -  
- با تحریک ماشین ۱۵۹-۱۵۸  
- با ترانسفورماتور تنظیم ۲۵۶-۲۴۶  
ماشینهای سنکرون:  
- پر تحریک ۱۵۹-۱۵۸  
- کم تحریک ۱۵۹-۱۵۸  
توزیع اقتصادی بار:  
- بسط ریاضی - ۲۶۶-۲۶۵  
- بین نیروگاه‌ها:، بسط ریاضی ۲۷۶-۲۷۴  
صرفه‌جویی حاصل از - ۲۷۸  
مثال - ۲۷۷-۲۷۶  
- بین واحدهای یک نیروگاه ۲۷۰-۲۶۲  
دruk مستقیم - ۲۶۵  
مثال - ۲۶۹-۲۶۶  
صرفه‌جویی ناشی از - ۲۷۰-۲۶۹  
ثابت انتشار ۱۱۲  
ثابت تضعیف ۱۱۳  
ثابت فاز ۱۱۳  
ثابت لختی ۴۳۰ (ثابت‌های  $H$  را نیز بینید)  
ثابت‌های DCBA ۱۰۹  
جدول - شبکه‌های مختلف ۴۸۵  
- در معادله‌های پخش توان ۱۲۴  
- در معادله‌های نمودار دایره‌ای ۱۲۶-۱۲۵

- عناصر مدار ۳۳۹-۳۳۸
  - ماشینهای همزمان ۳۳۸
  - جدول - ۴۸۴
  - زیرگذرا ۲۹۱
  - ضریب فاصله گذاری - ۸۸
  - جدول - برای ACSR ۴۸۳
  - ظرفیتی: با فاصله گذاری ۱ فوت ۸۸
  - جدول - برای ACSR ۴۸۱
  - گذرا ۲۹۰
  - محور طولی ۱۵۸، ۲۸۹
  - نشت: در ترانسفورماتور ۱۶۴
  - در ماشینهای همزمان ۱۵۵
  - هادیهای گروهی: القایی ۷۳-۷۲
  - ظرفیتی ۹۹-۹۷
  - همزمان ۲۸۹
  - (ظرفیت و اندوکتانس را ذیز بیینید) رئکتانس در-یکی:
  - ترانسفورماتورها، جدول ۴۸۴
  - ترانسفورماتورهای سه سیم پیچه ۱۷۵
  - تا ۱۷۸
  - ماشینهای همزمان، جدول ۴۸۴
  - (کمیتهای در-یکی را ذیز بیینید) رسانایی ۴۵، ۸۱
  - رله: ۱۱
  - اضافه چریان ۳۹۶، ۳۹۹-۴۰۸، ۴۱۱-۴۰۸
  - امپدانس ۴۰۰-۴۱۲، ۴۱۷-۴۱۷
  - بر د ۳۹۰
  - پیلوتی ۴۰۳
  - تعریف - ۳۸۹
  - تفاصلی ۴۰۲-۴۰۱
  - تفاصلی درصدی ۴۰۳
  - سودار ۳۹۹
  - فاز ۴۱۲
  - فاصله ۴۰۰-۴۰۱، ۴۱۷-۴۱۲
  - با رله‌های پیلوتی ۴۱۸-۴۱۷
  - خط‌های انتقال فرعی ۴۱۱-۴۰۵
  - سیستم ۳۸۷
  - سیستمهای ۳۹۰-۳۸۸ (رله‌ها را ذیز بیینید)
  - شیوه ۴۰۳
  - مولد و موتور ۴۰۳-۴۰۱
- خازن:
- برای جبران نوع متواالی ۱۲۸-۱۲۷
  - برای کنترل ولتاژ شینه ۲۰۹-۲۰۸
  - ۲۴۶-۲۴۳
  - به عنوان مولد توان واکنشی ۲۳-۲۲
- خازن سنکرون ۲۴۵
- خط‌های کنترل ایستگاه «SCE» ۲۸۲
- خط‌های کنترل منطقه «ACE» ۲۸۲
- خط انتقال:
- با طول متوسط ۱۰۹-۱۰۸
  - بلند ۱۲۳-۱۱۰
  - پدیده‌های گذرا در ۱۴۰-۱۳۵
  - رده بندی - بر حسب طول ۱۰۶-۱۰۵
  - رئکتانس ترتیب-صفر - ۳۴۰-۳۳۴
  - کوتاه ۱۰۸-۱۰۶
- خط نامحدود ۱۳۶، ۱۱۴
- خودادمیتانس گرهها (ادمیتانس را بیینید)
- درجة دقت ۲۳۴، ۲۲۸، ۲۲۵
- رئکتانس:
- القایی: با فاصله گذاری ۱ فوت ۶۷
  - جدول - برای ACSR ۴۸۱
  - ضریب فاصله گذاری - ۶۸
  - جدول - برای ACSR ۴۸۲
  - ترتیبی (مثبت، منفی و صفر) ۳۳۵

- نقطه مرجع - ۳۶۱
- شبکه‌های ترتیب-مثبت (رئکتانس و نمودارهای شبکه‌های ترتیبی را بینید) ۳۴۶-۳۴۰، ۳۳۸-۳۳۵
- شبکه‌های ترتیب-منفی (شبکه‌های ترتیبی را بینید) ۳۸۲-۳۷۶، ۳۷۵-۳۶۳
- شبکه‌های ترتیبی شدت میدان: - الکتریکی ۸۳
- مغناطیسی ۵۶-۵۴
- شاعع میانگین هندسی «GMR»: تعریف - ۶۴
- جدول - برای ACSR ۴۸۱
- مثال: در محاسبه اندوکتانس ۷۷-۶۴ در محاسبه ظرفیت ۱۰۱-۹۶
- هادیهای گروهی ۹۹-۹۷، ۶۲-۶۱
- شبیه‌زینه سوخت ۲۶۶-۲۶۲
- شبیه‌زینهای سوخت ۱۵۸
- در بررسی پایداری ۴۳۷
- شبیه‌تابخور ۲۲۸-۲۲۳
- ضریب: سیم زمین برای حفاظت در برابر - ۱۳۰، ۱۰۳ - گیر ۱۴۰ ضریب بازنابش ۱۳۶ ضریب توان ۲۲، ۲۱ ضریب جبران: - متواالی ۱۲۷ - موازی ۱۲۹ ضریب جرمیه ۲۷۵ ضریبهای اتلاف (ضریبهای B را بینید)
- مقداری ۳۹۹-۳۹۶ منحنيهای مشخصه - IFC-۵۳» ۳۹۸
- مهو «mho» ۴۱۵، ۴۰۱ - نسبتی ۴۰۱-۴۰۵ (حفظات را نیز بینید) ۴۱۲
- رله‌های فاز روش گوم-زايدل برای بررسی پخش بار ۲۲۶-۲۲۳
- روش نیوتون-رافسون برای بررسی پخش بار ۲۳۰-۲۲۶
- زاویه بحرانی حذف ۴۵۵-۴۵۳
- زاویه گشناور (زاویه توان را بینید) ۴۵۵-۴۵۳
- زمین: اثر-بر ظرفیت ۹۷-۹۵
- ساده کردن شبکه‌ها ۲۰۵-۲۰۰
- سرعت انتشار ۱۳۴-۱۳۳، ۱۱۵
- سیم تصویر ۹۶-۹۵
- سیمهای زمین ۱۳۱-۱۳۰، ۱۰۳
- شار حلقه زن: - پیچک ۵۲ - جزوی ۵۶-۵۳ - درونی ۵۶-۵۳ - هرسیم از یک گروه ۶۲-۶۲
- شبکه‌ها: ثابت‌های ABCD -، جدول ۴۸۵ (شبکه‌های ترتیبی را نیز بینید)
- شبکه‌های ترتیب-صفر: - بارهای اتصال-ستاره‌ای ۳۴۱
- بارهای اتصال-مثلثی ۳۴۲-۳۴۲
- ترانسفورماتورهای سه‌فاز ۳۴۵-۳۴۳
- مولدات‌های بی‌بار ۳۳۸-۳۳۶

محاسبه به کمک $Z_{bus}$ ، ۳۰۰-۳۰۷	ضریبهای $B$ ۲۸۰-۲۷۵
۳۷۹-۳۷۶	محاسبه ۲۷۲-۲۷۰
و خامت افزون شونده ۴۵۶	ضریبهای لاگر انژ ۲۶۶
- یک خط به زمین ۳۵۴-۳۵۱	طول موج ۱۱۵
۳۶۶-۳۶۵	ظرفیت: اثر توزیع نایکنواخت باربر-۸۸-۸۷
عیب خط به خط (عیب را بینید)	اثر زمین بر-۹۷-۹۵
عیب خط به زمین (عیب را بینید)	اثر سیمهای رشته‌ای بر-۸۸-۸۷
عیبهای دو خط به زمین:	- به ختنا ۸۹-۸۷
- از طریق امپدانس ۳۸۲-۳۷۹	تعزیف-۸۱، ۴۵
- در سیستم قدرت ۳۶۷-۳۶۶	جایگشت برای تعادل-۹۴-۹۲
- در مولدهای بی‌بار ۳۶۲-۳۵۸	- خطهای دوسیمه ۸۹-۸۴
عیبهای سه‌فاز ۳۰۷-۲۸۶	- خطهای سه‌فاز: با فاصله گذاری منظم ۹۲-۸۹
عیبهای نامتقارن (عیبها را بینید)	با فاصله گذاری نامنظم ۹۵-۹۲
فاصله گذاری منظم معادل ۹۳، ۷۱	- خطهای سه‌فاز دوبل ۱۰۰-۹۹
فاصله میانگین هندسی «GMD»	خلاصه محاسبات-۱۰۱-۱۰۰
- خودی (شعاع میانگین هندسی را بینید)	محاسبه-به‌روش فاصله میانگین هندسی ۱۰۰-۹۷
.	اصلاح شده ۱۰۰-۹۷ (رنکننس را نیز بینید)
- سیم تا سیم ۶۴	عوامل شتاب ۲۲۵
- مقابله ۶۴	عیب:
محاسبه اندوکتانس به روش-۷۷-۶۴	- از طریق امپدانس ۳۸۲-۳۷۹
محاسبه ظرفیت به روش-۱۰۱-۹۶	انواع گوناگون-، پیش‌آمد ۱۰
فرکانس نوسان ۴۷۲، ۴۴۸-۴۴۷	تعزیف-۱۰
فرוואت ولتاژ:	- خط به خط ۳۶۶-۳۵۵، ۳۶۲-۳۵۸
تعزیف-۱۰۷	- دو خط به زمین ۳۶۷-۳۶۶
کاهش- با جبران واکنشی ۱۳۵-۱۲۹	- سه‌فاز: در سیستم قدرت ۳۰۷-۳۰۰
معادله- به کمک ثابت $A$ ۱۰۹	در ماهینهای همزمان ۲۹۴-۲۸۸
فورتسکیو، سی.ال. ۳۱۷	
قضیه توون:	
در محاسبه جریان عیب سه‌فاز ۳۰۰-۲۹۵	
۳۰۳	
در نمایش سیستمهای قدرت ۲۰۸	
۲۴۳-۲۴۰	